

UNIVERSITAS INDONESIA

**LAJU PENGUAPAN TETESAN AQUADES DAN LARUTAN
GULA 1% DENGAN VARIASI TEMPERATUR , KECEPATAN
ALIRAN UDARA DAN KELEMBABAN UDARA**

SKRIPSI

**Diajukan sebagai salah satu syarat untuk memperoleh gelar menjadi
Sarjana Teknik**

**TULUS NUGROHO
0706198884**

**FAKULTAS TEKNIK UNIVERSITAS INDONESIA
PROGRAM STUDI TEKNIK MESIN
DEPOK
JUNI 2009**

HALAMAN PERNYATAAN ORISINALITAS

**Skripsi ini adalah hasil karya saya sendiri,
dan semua sumber baik yang dikutip maupun dirujuk
telah saya nyatakan dengan benar.**

Nama : TULUS NUGROHO

NPM : 0706198884

Tanda Tangan :

Tanggal : 7 Juli 2009

HALAMAN PENGESAHAN

Skripsi ini diajukan oleh :

Nama : Tulus Nugroho

NPM : 0706198884

Program Studi : Teknik Mesin

Judul Skripsi : **LAJU PENGUAPAN TETESAN AQUADES**

**DAN LARUTAN GULA 1% DENGAN
VARIASI TEMPERATUR , KECEPATAN
ALIRAN UDARA DAN KELEMBABAN
UDARA**

**Telah berhasil dipertahankan di hadapan Dewan Pengaji dan diterima
sebagai
bagian persyaratan yang diperlukan untuk memperoleh gelar Sarjana
Teknik pada Program Studi Elektro Fakultas Teknik, Universitas Indonesia**

DEWAN PENGUJI

Pembimbing	:	Dr. Ir. Engkos A.K, MT.	(.....)
Pengaji	:	Dr. Ir. Warjito, M.Eng.	(.....)
Pengaji	:	Dr-Ing Ir. Nasrudin, M.Eng.	(.....)
Pengaji	:	Ir. Imansyah, M.Eng.	(.....)

Ditetapkan di : Depok

Tanggal : 7 Juli 2009

UCAPAN TERIMA KASIH

Puji syukur saya panjatkan kepada Allah SWT, karena atas berkat dan rahmat-Nya, saya dapat menyelesaikan skripsi ini. Penulisan skripsi ini dilakukan dalam rangka memenuhi salah satu syarat untuk mencapai gelar Sarjana Teknik Jurusan Mesin pada Fakultas Teknik Universitas Indonesia. Saya menyadari bahwa, tanpa bantuan dan bimbingan dari berbagai pihak, dari masa perkuliahan sampai pada penyusunan skripsi ini, sangatlah sulit bagi saya untuk menyelesaikan skripsi ini. Oleh karena itu, penulis mengucapkan terima kasih kepada :

Dr. Ir. Engkos A.K , MT

Selaku dosen pembimbing yang telah menyediakan waktu, tenaga, dan pikiran untuk mengarahkan saya dalam penyusunan skripsi ini.

Harapan penulis kiranya skripsi ini dapat memberikan pengetahuan yang bermanfaat bagi penulis khususnya dan pembaca pada umumnya. Semoga Allah SWT senantiasa melimpahkan rahmat dan hidayah pada kita semua. Amin.

Depok, 25 Juni 2009

Penulis

HALAMAN PERNYATAAN PERSETUJUAN PUBLIKASI TUGAS AKHIR UNTUK KEPENTINGAN AKADEMIS

Sebagai sivitas akademik Universitas Indonesia, saya yang bertanda tangan di bawah ini:

Nama : Tulus Nugroho
NPM : 0706198884
Program Studi : Teknik Mesin
Departemen : Mesin
Fakultas : Teknik
Jenis karya : Skripsi

demi pengembangan ilmu pengetahuan, menyetujui untuk memberikan kepada Universitas Indonesia **Hak Bebas Royalti Noneksklusif (Non-exclusive Royalty-Free Right)** atas karya ilmiah saya yang berjudul :

” LAJU PENGUAPAN TETESAN AQUADES DAN LARUTAN GULA 1% DENGAN VARIASI TEMPERATUR , KECEPATAN ALIRAN UDARA DAN KELEMBABAN UDARA”

beserta perangkat yang ada (jika diperlukan). Dengan Hak Bebas Royalti Noneksklusif ini Universitas Indonesia berhak menyimpan, mengalihmedia/formatkan, mengelola dalam bentuk pangkalan data (*database*), merawat, dan memublikasikan tugas akhir saya tanpa meminta izin dari saya selama tetap mencantumkan nama saya sebagai penulis/pencipta dan sebagai pemilik Hak Cipta.

Demikian pernyataan ini saya buat dengan sebenarnya.

Dibuat di : Depok

Pada tanggal : 7 Juli 2009

Yang menyatakan

(Tulus Nugroho)

ABSTRAK

Nama : Tulus Nugroho
Program Studi : Teknik Mesin
Judul : **LAJU PENGUAPAN TETESAN AQUADES DAN LARUTAN GULA 1% DENGAN VARIASI TEMPERATUR, KECEPATAN ALIRAN UDARA DAN KELEMBABAN UDARA**

Dalam proses pengeringan seperti dalam proses pengolahan industri makanan, spray drying, evaporative cooling dan pembakaran bahan bakar cair, laju penguapan tetesan mempunyai peranan penting. Sehingga diperlukan pengetahuan tentang sifat laju penguapan air yang terkandung di dalamnya akibat pengaruh temperatur, laju aliran, konsentrasi dan kelembaban terhadap laju penguapan.

Dari sini akan diperlihatkan korelasi dari bilangan Reynolds (Re), Prandtl (Pr), Schmidt (Sc), Nusselt (Nu), dan Sherwood (Sh). Penelitian ini bertujuan mengetahui adanya perpindahan kalor dan massa serta korelasi antara data pengujian dengan menggunakan metode rumus model umum, metode stagnan film, dan pendekatan model baru dari metode stagnan film oleh E. A. Kosasih.

Kata Kunci : Penguapan tetesan; Bilangan : Reynolds (Re), Rumus empiris umum; Model stagnan film; Pendekatan model baru (E. A. Kosasih, 2006)

ABSTRACT

Name : Tulus Nugroho
Study Program : Mechanical Engineering
Title : **Quick Droplet Evaporation of Aquades and 1% Sugar Solution With The Variation of Temperature, Current Velocity of Air and Humidity**

In the drying process such as in food processing industry, spray drying, evaporative cooling and combustion of liquid fuel, the quick drop of evaporation plays an important role. Therefore it takes a knowledge about the nature of the water quick evaporation along with all the contents due to the effect of temperature, quick current, concentration and humidity of quick evaporation.

Here it shows a correlation from reynold's number (Re), Prandtl's number (Pr), Schmidt's number (Sc), Nusselt's number (Nu) and Sherwood's number (Sh), This research is to find out the existing of heat and mass transfer and correlation between data experiment using the general formula method, stagnant film method and a new phenomenological stagnant film by Kosasih E.A (2006)

Key word: *Droplet evaporation: Numbers : Reynolds (Re) Prandtl (Pr), Schmidt (Sc), Nusselt (Nu), and Sherwood (Sh); Stagnant film model; phenomenological new model (Kosasih E.A, 2006)*

DAFTAR ISI

HALAMAN JUDUL.....	i
HALAMAN PERNYATAAN ORISINALITAS.....	ii
HALAMAN PENGESAHAN.....	iii
UCAPAN TERIMAKASIH.....	iv
HALAMAN PERNYATAAN PERSETUJUAN PUBLIKASI.....	v
ABSTRAK.....	vi
ABSTRACT.....	vii
DAFTAR ISI.....	viii
DAFTAR GAMBAR.....	xi
DAFTAR LAMPIRAN.....	xiii
DAFTAR NOTASI.....	xiv
BAB 1 PENDAHULUAN	1
1.1 Latar Belakang	1
1.2 Tujuan Penelitian	2
1.3 Batasan Masalah.....	2
1.4 Metodologi Penelitian	3
1.5 Sistematika Penulisan	4
BAB 2 DASAR TEORI	5
2.1 Prinsip Dasar Pengeringan	6
2.2 Perpindahan Panas	6
2.2.1 Konveksi	6
2.2.2 Konduksi	7
2.2.3 Radiasi.....	7
2.3.4 Fluks Perpindahan Panas	8
2.3 Perpindahan Massa	8
2.3.1 Koefisien Perpindahan Massa.....	8
2.3.2 Difusi Dalam Gas.....	9
2.3.3 Fluks Perpindahan Massa (R_x)	9
2.3.3 Laju Perpindahan Massa (N_{AO})	10
2.4 Bilangan Tak Berdimensi	10
2.4.1 Bilangan Reynold.....	10
2.4.2 Bilangan Prandtl.....	11
2.4.3 Bilangan Schmidt.....	12
2.4.4 Bilangan Nusselt	12
2.4.5 Bilangan Sherwood	12

2.4.6 Bilangan Lewis	12
2.5 Persamaan Ranz-Marshall.....	13
2.6 Model Analogi Stagnan Film	13
2.6.1 Bilangan Nusselt Model Stagnan Film	14
2.6.2 Bilangan Sherwood Model Stagnan Film	15
2.7 Model Analogi Pendekatan Baru Stagnan Film.....	15
2.7.1 Bilangan Sherwood Model pendekataan Baru.....	16
2.7.2 Bilangan Nusselt Model pendekataan Baru	17
2.8 Kerekteristik Udara	18
2.9 Thermodinamika Udara Basah	19
2.9.1 Kelembaban.....	20
2.9.1.1 Kelembaban Relatif.....	20
2.9.1.2 Rasio Kelembaban	20
2.10 Psychrometric Chart.....	22
2.11 Lapis Batas	24
2.11.1 Lapis Batas Hydrodynamics	25
2.11.2 Lapis Batas Thermal	25
2.11.3 Lapis Batas Konsentrasi.....	26
2.12 Termokopel	26
2.12.1 Prinsip Termokopel	26
2.12.2 Tipe-Tipe Termokopel	28
2.12.3 Penggunaan Termokopel.....	29
BAB 3 METODE PENELITIAN	30
3.1 Alat Penelitian.....	30
3.1.1 Blower	30
3.1.2 Air Conditioner	31
3.1.3 Tabung Humidifier	31
3.1.4 Heater.....	32
3.1.5 Pyrex.....	33
3.1.6 Digital controller.....	33
3.1.7 Temperature display.....	35
3.1.8 nozzle	35
3.1.9 Inverter	35
3.2 Prosedur Kalibrasi dan Pengambilan Data.....	37
3.2.1 Kalibrasi Kecepatan	37
3.2.2 Pengambilan Data Foto	37

3.2.3 Pengolahan Foto	39
3.3 Pengolahan Data.....	40
3.4.1 Pengolahan data non ac garam 5%.....	40
3.4.2 Perbandingan antara ac gula 1% dan non ac gula 1%.....	50
3.4.3 Tabel Psikometrik.....	52
BAB IV ANALISA DATA	54
4.1 Analisa Grafik	54
4.2 Analisa Perbandingan Grafik Antar Model.....	54
4.2.1 Grafik Bilangan Sherwood.....	55
4.2.2 Grafik Bilangan Nusselt	57
4.3 Analisa Perbandingan Grafik Berdasarkan Pengaruh Kelembaban.....	59
4.3.1 Grafik Bilangan Sherwood.....	59
4.3.2 Grafik Bilangan Nusselt	61
4.4 Analisa Perbandingan Grafik Berdasarkan Pengaruh Konsentrasi.....	62
4.4.1 Grafik Bilangan Sherwood.....	62
4.4.2 Grafik Bilangan Nusselt	63
BAB V KESIMPULAN DAN SARAN	66
5.1 Kesimpulan	65
5.2 Saran.....	66
DAFTAR ACUAN	67
DAFTAR PUSTAKA	69
LAMPIRAN	70

DAFTAR GAMBAR

Gambar 2.1 Model Film Stagnan	13
Gambar 2.2 Skema Pembacaan Psychrometric Chart	23
Gambar 2.3 Alat Pengukur Dry Bulb dan Wet Bulb.....	24
Gambar 2.4 Lapisan Batas.....	24
Gambar 2.5 Lapis Batas Hidrodinamik	25
Gambar 2.6 Lapisan Batas Termal	25
Gambar 2.7 Lapis Batas Konsentrasi	26
Gambar 3.1 Alat Pengambilan Data	30
Gambar 3.2 <i>Blower</i>	31
Gambar 3.3 Air Conditioner Dan Controller-nya.....	31
Gambar 3.4 Tabung Humidifier	32
Gambar 3.5 Heater.....	33
Gambar 3.6 Pyrex	33
Gambar 3.7 Digital controller.....	34
Gambar 3.8 Skema Auto Tunning.....	34
Gambar 3.9 Temperature display	35
Gambar 3.10 Nozzle	35
Gambar 3.11 Display Inverter SJ200	36
Gambar 3.12 Posisi jarum dan tetesan	38
Gambar 3.13 Panel Sistem Listrik.....	38
Gambar 3.14 Tetesan.....	39
Gambar 4.1 Grafik Sh Vs R-M Aquades pada kondisi AC.....	55
Gambar 4.2 Grafik Sh Vs R-M Aquades pada kondisi Non AC	55

Gambar 4.3 Grafik Sh Vs R-M Larutan Gula 1% pada kondisi AC	56
Gambar 4.4 Grafik Sh Vs R-M Larutan Gula 1% pada kondisi Non AC	56
Gambar 4.5 Perbandingan <i>Sh</i> Ranz-Marshall dan <i>Sh</i> Data dari Walton (2004)	57
Gambar 4.6 Grafik Nu Aquades pada kondisi AC	57
Gambar 4.7 Grafik Nu Aquades pada kondisi Non AC	58
Gambar 4.8 Grafik Sh Larutan Gula 1% pada kondisi AC	58
Gambar 4.9 Grafik Sh Larutan Gula 1% Non AC.....	59
Gambar 4.10 Grafik Sh Aquades pada AC & NAC	60
Gambar 4.11 Grafik Sh Larutan Gula 1% pada AC & NAC	60
Gambar 4.12 Grafik Nu Larutan Gula 1% AC dan Non AC.....	61
Gambar 4.13 Grafik Nu Gula 1% AC & NAC	61
Gambar 4.14 Grafik Perbandingan Sh antar Konsentrasi menggunakan AC.....	62
Gambar 4.15 Grafik Perbandingan Sh antar Konsentrasi tanpa AC	63
Gambar 4.16 Grafik Perbandingan Nu antar Konsentrasi menggunakan AC	64
Gambar 4.17 Grafik Perbandingan Nu antar Konsentrasi tanpa menggunakan AC	64

DAFTAR LAMPIRAN

Lampiran 1 PSYCHROMETRIC CHART	70
Lampiran 2 TABEL SIFAT UDARA PADA TEKANAN ATMOSFER	71
Lampiran 3 TABEL EMISSIVITAS PERMUKAAN.....	72
Lampiran 4 TABEL SIFAT AIR JENUH 1	73
Lampiran 5 TABEL SIFAT AIR JENUH 2.....	74
Lampiran 6 HASIL KALKULASI DATA Gula 1% NON AC	75
Lampiran 7 HASIL KALKULASI DATA Gula 1% AC.....	78
Lampiran 8 HASIL KALKULASI DATA AQUADES AC.....	81
Lampiran 8 HASIL KALKULASI DATA AQUADES NON AC	86

DAFTAR NOTASI

Simbol	Keterangan	Dimensi
h	Entalpi udara basah	[KJ/kg]
h_{da}	Entalpi udara kering	[KJ/kg]
h_w	Entalpi uap air	[KJ/kg]
h_f	Entalpi spesifik fasa fluida	[KJ/Kg]
h_g	Entalpi spesifik fasa uap	[KJ/Kg]
h_{fg}	Selisih entalpi spesifik fasa fluida dan uap	[KJ/Kg]
ρ	Massa jenis	[Kg/m ³]
g	Percepatan gravitasi	[m/s ²]
P	Tekanan atmosfer udara basah	[Pa]
V	Volume udara basah	[m ³]
m	Massa udara basah	[Kg]
R_a	Konstanta gas	[KJ/kg.K]
T	Temperatur udara	[K]
T_s	Temperatur permukaan	[°C]
T_∞	Temperatur ambien	[°C]
m_{da}	Massa udara kering	[Kg]
m_v	Massa uap air	[Kg]
n	Mole udara basah	[Kmole]
n_{da}	Mole udara kering	[Kmole]
n_v	Mole uap air	[Kmole]
P_t	Tekanan atmosfer = $p_a + p_s$	[Pa]
p_{da}	Tekanan parsial udara kering	[Pa]
p_w	Tekanan parsial uap air dalam keadaan jenuh	[Pa]
R_{da}	Tetapan gas untuk udara kering = 287	[J/Kg.K]
R_v	Tetapan gas untuk uap air = 461,5	[J/Kg.K]

q	Laju perpindahan kalor	[KJ/s]
k	Konduktivitas termal	[W/m.°C]
A	Luas penampang	[m ²]
σ	Konstanta stefant boltzman	[W/m ² K ⁴]
T_u	Temperatur sumber radiasi	[K]
T_d	Temperatur <i>droplet</i>	[K]
$Q_{konveksi}$	Radiasi	[Watt]
m	Fluks massa difusi komponen A	[Kg/s]
k_c	Koefisien konveksi massa	[m/s]
ρ_s	Berat jenis uap pada permukaan	[Kg/m ³]
ρ_∞	Berat jenis invinite	[Kg/m ³]
D	Difusivitas	[m ² /s]
d	Diameter dalam lapisan air	[m]
τ	Tegangan geser	[N/m ²]
μ	Viskositas dinamik	[Ns/m ²]
u	Kecepatan fluida	[m/s]
Sh	Bilangan Sherwood	
Nu	Bilangan Nusselt	
Le	Bilangan Lewis	
Pr	Bilangan Prandtl	



BAB I

PENDAHULUAN

1.1 Latar Belakang

Laju penguapan tetesan mempunyai peranan penting dalam proses pengeringan seperti dalam proses pengolahan industri makanan, spray drying, evaporative cooling dan pembakaran bahan bakar cair. Sehingga diperlukan pengetahuan tentang sifat laju penguapan air yang terkandung di dalamnya dan pengaruh temperatur, laju aliran, konsentrasi dan kelembaban terhadap laju penguapan.

Pada dasarnya proses pengeringan merupakan usaha untuk mengurangi kandungan air dalam bahan sampai batas tertentu. Prinsip dasar proses pengeringan adalah penguapan air dari bahan ke udara sekeliling karena adanya perbedaan kandungan air antara bahan dan udara. Selama pengeringan terjadi dua proses yang berjalan simultan (Pramudono, 1988), yakni :

1. Perpindahan panas dari udara ke dalam bahan sehingga air yang ada pada bahan mengalami perubahan menjadi fase uap.
2. Perpindahan massa uap air dari permukaan bahan ke udara pengering sekelilingnya.

Awalnya proses pengeringan hanya menggunakan metode alami yaitu dengan memanfaatkan sinar matahari. Namun, metode ini mempunyai beberapa keterbatasan, seperti: proses pengeringan memakan waktu yang lebih banyak, sangat tergantung pada kondisi alam (hanya dapat dilakukan pada siang hari dan pada saat cuaca cerah). Dengan keterbatasan-keterbatasan tersebut, perlu adanya pengembangan pada proses pengeringan agar lebih efisien dan efektif.

Selama 25 tahun belakangan ini, telah banyak dilakukan penelitian terhadap proses pengeringan. Salah satu metode penelitian yang digunakan adalah penguapan tetesan (*droplet evaporation*). Penguapan tetesan (*droplet evaporation*) adalah salah satu cara yang dapat dipergunakan untuk kebutuhan tersebut. Agar dapat membuat mesin pengering untuk pengawetan makanan yang efektif dan efisien, maka diperlukan penelitian untuk karakteristik laju penguapan air pada zat makanan dan minuman. Dengan memvariasikan temperatur dan kecepatan

aliran, untuk keperluan penelitian maka diperlukan alat uji penguapan tetesan. Ranz W E & Marshall W R, telah melakukan studi experimental mengenai penguapan tetesan (*droplet evaporation*) dan menyimpulkan bahwa proses penguapan tetesan merupakan analogi (hubungan) perpindahan kalor dan perpindahan massa. Inti dari analogi ini adalah memanfaatkan hubungan similaritas antara bilangan Sherwood dan bilangan Nusselt, sehingga solusi perpindahan kalor aplikatif terhadap perpindahan massa.

1.1 Tujuan Penelitian

Tujuannya adalah membandingkan hasil data pengujian yang kami lakukan dengan pers. analogi Ranz-Marshall pada pengujian tetesan dengan menggunakan metode perpindahan panas (*heat transfer*) dan perpindahan massa (*mass transfer*) pada penguapan tetesan (*droplet evaporation*) serta dilakukan pada beberapa variasi kecepatan aliran dan temperatur aliran untuk mendapatkan hasil yang beragam. Pada penelitian kali ini dilakukan penambahan *Dehumidifier* dan *Air Conditioner* untuk menurunkan kelembaban udaranya. Untuk membantu analisa mengenai perpindahan panas (*heat transfer*) dan perpindahan massa (*mass transfer*) tersebut akan digunakan metode perhitungan berupa rumus model Ranz-Marshall, *stagnant film model* dan pendekatan baru pada *stagnant film model* (E. A. Kosasih, 2006). Disamping untuk melakukan analisa, diharapkan dari ketiga metode ini didapatkan korelasi yang terdekat dengan nilai eksperimen dengan cara mem-validasi ketiga metode yakni rumus model Ranz-Marshall, *stagnant film model* dan pendekatan baru pada *stagnant film model* (E. A. Kosasih, 2006) dengan data perhitungan eksperimen.

1.2 Batasan Masalah

Dalam mendapatkan karakteristik laju penguapan tersebut, batasan masalah yang diambil adalah sebagai berikut:

1. Fluida cair yang dipakai adalah gula dengan kadar 1%
2. Asumsi tetesan (*droplet*) yang terbentuk adalah berbentuk bola
3. Diameter tetesan (*droplet*) yang digunakan berada pada nilai 1,6 mm sampai pada 2,3 mm
4. Variasi temperaturnya berkisar pada 50 °C, 75 °C, 100 °C, 150 °C

5. Sedangkan untuk variasi dari kecepatan flow alirannya berkisar antara frekwensi 7, 10, dan 15 pada inverter

1.3 Metodologi Penelitian

Metodologi penelitian yang digunakan adalah sebagai berikut:

1. Studi Literatur

Sumber literatur yang digunakan sebagai acuan dalam pembuatan tugas akhir ini adalah buku, jurnal, artikel, skripsi, catatan dan melalui pengunduhan data dari internet.

2. Modifikasi sistem kontrol serta pencitraan data.

Merakit ulang alat uji serta memodifikasinya sedemikian rupa agar dapat memenuhi kebutuhan pengujian dan diharapkan dapat meningkatkan keakuriasan data yang diambil dibandingkan dengan pengujian-pengujian yang telah dilakukan sebelumnya.

3. Pengambilan data

Proses pengambilan data seperti besar temperatur tetesan (*droplet*), pengurangan diameter tetesan (*droplet*), dan analisa gambar dilakukan pada semua variasi yang sudah disebutkan sebelumnya. Data ini akan berguna untuk menganalisa dengan menggunakan metode perpindahan panas (*heat transfer*) dan perpindahan massa (*mass transfer*) penguapan tetesan (*droplet evaporation*) yang akan dikorelasikan dengan perhitungan berupa rumus umum empiric, *stagnant film model* dan pendekatan baru pada *stagnant film model* (E. A. Kosasih, 2006) serta pendekatan secara eksperimental.

4. Pencitraan tetesan

Pencitraan dilakukan untuk mengetahui data tentang kecepatan penguapan tetesan (*droplet*) pada daerah pengamatan di *pyrex* dari penguapan tetesan. Untuk melakukan pencitraan tersebut akan digunakan alat bantu berupa kamera Nikon lensa makro.

5. Penyusunan Laporan

Laporan dari data yang sudah didapatkan harus tersusun dengan sistematis karena banyak variasi yang akan digunakan dalam pengujian sehingga akan banyak juga data yang akan dihasilkan. Dengan susunan yang sistematis tersebut diharapkan akan memudahkan dalam melakukan perhitungan dan analisanya.

1.4 Sistematika Penulisan

Dalam penulisan penelitian ini, penulis membagi dalam lima bab dan beberapa subbab dengan tujuan agar laporan penulisan menjadi lebih terstruktur dan terarah. Sistematika penulisannya adalah sebagai berikut :

- | | |
|-------|-----------------------------------------------------------------------------------------------------------------------------------------------------------------------------------------------|
| BAB 1 | PENDAHULUAN |
| | Bab ini membahas tentang latar belakang, perumusan masalah, tujuan penulisan, metodologi penulisan dan sistematika penulisan. |
| BAB 2 | DASAR TEORI |
| | Bab ini membahas tentang konsep-konsep dasar mengenai penelitian dan konsep-konsep dasar untuk perhitungan dan analisanya. |
| BAB 3 | METODE PENELITIAN |
| | Bab ini membahas mengenai prosedur pengambilan data, kalibrasi alat, pencitraan tetesan, dan langkah-langkah perhitungan. |
| BAB 4 | ANALISA DATA |
| | Bab ini membahas mengenai grafik-grafik dari hasil perhitungan data sesuai dengan variasi pengujian yang sudah disebutkan sebelumnya dan juga menyajikan analisa terhadap hasil yang terjadi. |
| BAB 5 | KESIMPULAN |
| | Bab ini membahas tentang kesimpulan terhadap semua hasil penelitian sesuai dengan tujuan dari penelitian ini. |

BAB II

DASAR TEORI

2.1 Prinsip Dasar Pengeringan

Pengeringan adalah suatu proses kompleks yang bertujuan untuk mengurangi kandungan air dalam bahan sampai batas tertentu. Proses pengeringan meliputi perpindahan panas dan massa secara transien serta beberapa laju proses, seperti transformasi fisik atau kimia. Perubahan fisik yang mungkin terjadi meliputi: pengkerutan, penggumpalan, kristalisasi, dan transisi gelas. Pada beberapa kasus, dapat terjadi reaksi kimia atau biokimia yang diinginkan atau tidak diinginkan yang menyebabkan perubahan warna, tekstur, aroma, atau sifat lain dari produk.

Prinsip pengeringan biasanya akan melibatkan dua kejadian yaitu panas harus diberikan pada bahan, dan air harus dikeluarkan dari bahan. Dua fenomena ini menyangkut pindah panas ke dalam dan pindah massa ke luar. Yang dimaksudkan dengan pindah massa adalah pemindahan air keluar dari bahan pangan. Dalam pengeringan pangan umumnya diinginkan kecepatan pengeringan yang maksimum, oleh karena itu semua usaha dibuat untuk mempercepat pindah panas dan pindah massa. Perpindahan panas dalam proses pengeringan dapat terjadi melalui dua cara yaitu pengeringan langsung dan pengeringan tidak langsung. Pengeringan langsung yaitu sumber panas berhubungan dengan bahan yang dikeringkan melalui *konveksi*, sedangkan pengeringan tidak langsung yaitu panas dari sumber panas dilewatkan secara *konduksi* melalui permukaan benda padat, *radiasi* atau secara volumetric dengan menempatkan sample uji tersebut dalam medan elektromagnetik gelombang mikro atau frekuensi radio.

Proses pengeringan suatu material terjadi melalui dua proses yaitu proses pemanasan (*heating*) dan proses pengeringan (*drying*). Proses pemanasan (*heating*) dilakukan untuk memperoleh udara panas dan untuk menurunkan kelembaban relatif dari udara sekitar. Sedangkan proses pengeringan (*drying*) dilakukan untuk menurunkan temperatur udara karena terjadi perpindahan panas

dari udara ke bahan yang akan dikeringkan (udara memberikan kalor laten untuk menguapkan kandungan air dari bahan yang dikeringkan).

Proses pengeringan diasumsikan secara adiabatik, yaitu : kalor yang diperlukan untuk menguapkan kandungan air dari bahan semata-mata berasal dari udara pengering saja (tidak ada kalor yang masuk dari lingkungan). Selama proses pengeringan adiabatik ini, akan terjadi penurunan temperatur bola kering dan kenaikan kelembaban, kelembaban relatif, tekanan uap air serta temperatur *dew point* sedangkan entalpi dan temperatur bola basah dapat dianggap konstan.

2.2 Perpindahan Panas

2.2.1 Konveksi

Konveksi adalah perpindahan panas karena adanya pergerakan fluida, fluida yang bergerak adalah udara yang dihembuskan melalui *blower* yang mengalirkan panas dari *heater* menuju obyek. Persamaan konveksi adalah sebagai berikut [1]:

$$q = hA(T_s - T_\infty) \quad (2.2)$$

$$h_L = \frac{(2 + 0,6 \times Re^{\frac{1}{2}} \times Pr^{0,333}) \times k}{diameter} \quad (2.3)$$

q = laju perpindahan kalor [kJ/s]

k = konduktivitas termal [W/m.°C]

h = koefisien konveksi [W/m².°C]

h_L = koefisien perpindahan panas menuju nol [W/m².°C]

Re = reynold

Pr = prandtl

T_s = temperatur permukaan [°C]

T_∞ = temperatur ambien [°C]

2.2.2 Konduksi

Bila suatu benda terdapat perbedaan temperatur dangan panjang x, maka energi (kalor) akan berpindah dari bagian yang bersuhu tinggi kearah bagian yang bersuhu rendah dengan cara konduksi. Laju perpindahan ini berbanding dangan gradien suhu normal.

$$\frac{q}{A} \sim \frac{\partial T}{\partial x} \quad (2.4)$$

Jika dimasukan konstanta proporsionalitas maka persamaannya menjadi :

$$q = -kA \frac{\partial T}{\partial x} \quad (2.5)$$

$$k = \rho \times cp \times \alpha \quad (2.6)$$

q = laju perpindahan kalor [kJ/s]

k = konduktivitas termal [W/m.°C]

ρ = rapat massa udara [kg/m³]

cp = panas jenis udara [kj/kg.°C]

α = difusivitas termal [m²/s]

A = luas penampang [m²]

T = temperatur [°C]

x = jarak (panjang) perpindahan kalor

Persamaan ini disebut hukum Fourier tentang konduksi kalor (ahli matematika fisika bangsa Prancis, Joseph Fourier)

2.2.3 Radiasi

Radiasi berarti transmisi gelombang, objek atau informasi dari sebuah sumber ke medium atau tujuan sekitarnya. Radiasi termal adalah radiasi elektromagnetik yang dipancarkan suatu benda karena suhu benda tersebut. Rumus radiasi yang digunakan^[2] :

$$\frac{Q}{A} = \alpha \sigma (Tu^4 - Td^4) \quad (2.7)$$

Q = radiasi

A = luas permukaan [m²]

α = absorptivitas

σ = konstanta stefant boltzman [W/m² K⁴]]

Tu = temperatur sumber radiasi [K]

Td = temperatur *droplet* [K]

2.2.4 Fluks perpindahan panas

Fluks perpindahan panas dipakai dalam model stagnan film dan pendekatan baru model stagnan film dengan rumus sebagai berikut^[3]:

$$\phi = \frac{-N \times C_{pA}}{h_l} \quad (2.8)$$

R_T	= fluks perpindahan panas
Φ	= faktor kecepatan perpindahan panas
N	= laju difusi molal [mol/s]
h_L	= koefisien perpindahan panas menuju nol
C_{pA}	= panas jenis molal udara [$J/(kmole \cdot K)$]
cp	= panas jenis udara [$kJ/kg \cdot ^\circ C$]

2.3 Perpindahan Massa

2.3.1 Koefisien Perpindahan Massa

Koefisien perpindahan massa (*mass transfer coefficient*) dapat kita definisikan seperti halnya dengan koefisien perpindahan-kalor^[4], jadi:

$$m = k_c A (\rho_s - \rho_\infty) \quad \dots \quad (2.10)$$

$$k_c = \frac{Sh.D}{d} \quad (2.11)$$

$$k_c = \frac{N(1-x_0)}{C(x_0 - x_{40})} \quad (2.12)$$

m = fluks massa difusi komponen A [kg/s]

k_c = koefisien konveksi massa [m/s]

ρ_s = berat jenis uap pada permukaan [kg/m³]

$\rho_{in} \equiv$ berat jenis *invinite* [kg/m^3]

Sh = bilangan Sherwood

D = difusivitas [m^2/s]

d = diameter dalam cm

- A = luas permukaan yang dibasahi air (πdL) [m²]
 N = laju difusi molal [mol/s]
 C = konsentrasi total udara [kmol/m³]

2.3.2 Difusi Dalam Gas

Gilliland mengusulkan rumus semi empiris untuk koefisien difusi dalam gas^[5]:

$$D_{AB} = 1.166e - 9 \exp \left[1.75 \ln \left(273 + \frac{(T_{in} + T_{out})}{2} \right)^{0.0555} \right] \quad (2.13)$$

$$D_{AB} = 0,1166 E^{-08} \times e^{1,75 \times \ln T_F} \quad (2.14)$$

Laju difusi molal :

$$N = \frac{\dot{m}}{M} \quad (2.15)$$

$$N = \frac{-dm/dt}{18 \cdot A} \quad (2.16)$$

$$\text{Dimana } \frac{-dm}{dt} = \rho \frac{-dV}{dt} \quad (2.17)$$

$$\text{Dan } \frac{-dv}{dt} = Ax \frac{-dr}{dt} \quad (2.18)$$

N = laju difusi molal [mol/s]

M = berat molekul [kg]

m = laju massa aliran (kg/s)

2.3.3 Fluks Perpindahan Massa (Rx)

Fluks perpindahan massa digunakan dalam perhitungan model stagnan film dan pendekatan baru model stagnan film dengan rumus sebagai berikut^[3]:

$$R_x = \frac{x_0 - x_{A\infty}}{1 - x_{A\infty}} \quad (2.19)$$

R_x = fluks perpindahan massa

x_0 = fraksi mol uap pada permukaan droplet

$x_{A\infty}$ = fraksi mol uap pada lingkungan

2.3.4 Laju Perpindahan Massa (N_{AO})

$$N_{AO} = k_{cL} \left[\ln \left(\frac{1 - X_{\infty}}{1 - X_0} \right) - C_1 \right] \quad (2.20)$$

N_{AO} = laju perpindahan massa

K_{cL} = koefisien perpindahan massa

C_1 = parameter perpindahan massa

2.4 Bilangan Tak Berdimensi

Bilangan tak berdimensi (*dimensionless number*) merupakan suatu parameter yang tak memiliki satuan. Berguna untuk mengetahui kondisi atau karakteristik aliran fluida. Bilangan tak berdimensi bermanfaat pada metode eksperimen suatu sistem yang sama dengan sistem lain namun dalam dimensi yang berbeda seperti pada model pesawat terbang, mobil, kapal laut, dan sebagainya.

Berikut ini adalah beberapa bilangan tak berdimensi yang lazim digunakan pada bidang perpindahan kalor.

2.4.1 Bilangan Reynolds

Diperkenalkan pertama kali oleh Osbourne Reynolds (1842-1912) pada tahun 1883. Merupakan perbandingan atau rasio antara gaya inersia dan gaya viskos dan dipakai untuk menentukan apakah suatu aliran laminar atau turbulen atau transisi, tetapi tekstur permukaan dan sifat fluida yang mengalir juga menentukan aliran fluida Bentuk persamaan^[6] tersebut adalah :

$$Re = \frac{ux}{v} \quad (2.20)$$

u = kecepatan [m/s]

x = jarak [m]

v = viskositas kinematik [m^2/s]

$$Re = \frac{\text{gaya inersia}}{\text{gaya viskos}} = \frac{\rho V^2 / L}{\mu V / L^2} = \frac{\rho VL}{\mu} \quad (2.21)$$

ρ = massa jenis fluida (kg/m^3)

V = kecepatan alir fluida (m/s)

L = panjang karakteristik, berupa diameter pipa(m)

μ = viskositas dinamik ($\text{kg}/\text{m.s}$)

Untuk nilai Re yang kecil, gaya viskos lebih dominan sehingga menciptakan jenis aliran laminar yang stabil, beraturan, dan profil kecepatan konstan. Sementara untuk nilai Re yang besar, timbul aliran turbulen yang fluktuatif, *eddies* acak, dan tak beraturan. Sedangkan aliran transisi merupakan suatu kondisi aliran peralihan yang membentuk laminar dan turbulen sehingga sulit untuk mendapatkan sifat-sifat aliran fluida.

Kondisi aliran fluida	Bidang datar (plat)	Dalam pipa
Laminar	$Re < 10^5$	$Re < 2300$
Transisi	$10^5 < Re < 3 \times 10^6$	$2300 < Re < 4000$
Turbulen	$Re > 3 \times 10^6$	$Re > 4000$

Tabel 2.1 Kondisi Aliran Fluida

Hal lain yang perlu diperhatikan mengenai kondisi fluida terhadap bilangan Reynolds adalah ketebalan lapisan batas. Semakin besar nilai Re , maka tebal lapisan kecepatan δ semakin kecil terhadap permukaan.

2.4.2 Bilangan Prandtl

Ludwig Prandtl mendefinisikan bilangan Prandtl sebagai bilangan tak berdimensi yang merupakan perbandingan antara viskositas kinematik dengan difusivitas termal. Dalam kasus perpindahan kalor, Pr menentukan ketebalan relatif dari lapisan batas hidro dinamik dan termal *boundary layer*.

Persamaannya yaitu :

$$\text{Pr} = \frac{\nu}{\alpha} \quad (2.22)$$

ν = viskositas kinematik

α = difusivitas termal

Nilai tipikal dari \Pr adalah sebagai berikut :

- 0,7 untuk udara dan gas
- 100 dan 40000 untuk oli mesin
- 4 dan 5 untuk R-12

2.4.3 Bilangan Schmidt

Bilangan Schmidt adalah bilangan tak berdimensi yang merupakan perbandingan antara viskositas kinematik dengan difusivitas massa. Digunakan untuk menentukan karakter aliran fluida bila ada momentum secara simultan dan difusi massa selama proses konveksi.

Persamaannya yaitu :

$$Sc = \frac{\nu}{D} \quad (2.23)$$

ν = viskositas kinematik

D = difusivitas massa

2.4.4 Bilangan Nusselt

Bilangan Nusselt merupakan bilangan yang menggambarkan karakteristik proses perpindahan panas^[7]

$$Nu_x = \frac{hx}{k} \quad (2.24)$$

$Nu_d = 0.023 Re_d^{0.8} \Pr^n$ Untuk aliran berkembang penuh

h = koefisien perpindahan panas [W/(m² C)]

k = konduktivitas panas udara [W/(m C)]

2.4.5 Bilangan Sherwood

Bilangan Sherwood merupakan bilangan yang menggambarkan gradien konsentrasi yang terjadi pada permukaan^[8].

$$Sh = \frac{k_c L}{D_{AB}} \quad (2.25)$$

2.4.6 Bilangan Lewis

Bilangan Lewis merupakan perbandingan antara difusivitas termal dan difusivitas massa, bermanfaat untuk menentukan karakteristik aliran fluida dimana

terjadi perpindahan kalor dan perpindahan massa secara simultan yang disebabkan oleh konveksi.

$$Le = \frac{\alpha}{D_{AB}} \quad (2.26)$$

$$= \frac{Sc}{Pr} \quad (2.27)$$

2.5 Perasamaan Ranz-Marshall

Pers. Ranz-Marshall diperkenalkan pertama kali oleh Ranz W E & Marshall W R, Jr. pada tahun 1953, merupakan analogi (hubungan) perpindahan massa dengan perpindahan kalor. Analogi ini mempunyai persyaratan^[9] bilangan Lewis $Le = \left(\frac{Sc}{Pr}\right)$ bernilai satu dan nilai $Re \leq 200$. Berikut adalah pers. Ranz-Marshall :

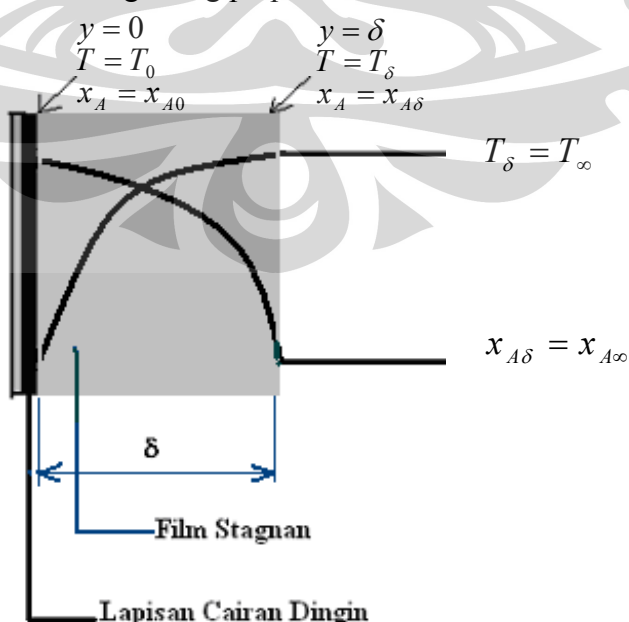
$$= 2 + 0,55 \quad / \quad / \quad (2.28)$$

Sehingga dengan analogi untuk perpindahan massa berlaku :

$$h = 2 + 0,55 \quad / \quad / \quad (2.29)$$

2.6 Model Analogi Stagnan Film

Model analitis ini diturunkan untuk perpindahan panas dan massa yang tinggi disekitar plat datar (koordinat Cartesius). Walaupun demikian model ini digunakan pula untuk menghitung perpindahan disekitar bola sferik.



Gambar 2.1. Model Film Stagnan

Pada gambar memperlihatkan lapisan cairan dingin yang menguap disekitar udara panas. Film stagnan adalah film khayal yang diasumsikan bahwa di luar film tersebut tidak terdapat beda potensial perpindahan^[3].

2.6.1 Bilangan Nusselt Model Stagnan Film Karakteristik proses perpindahan panas model analogi stagnan film mempunyai rumus sebagai berikut^[3]:

$$Nu_{StF} = \frac{h_{L-StF} \times d}{k} \quad (2.30)$$

$$h_{LStF} = \frac{h}{\theta_{T_{StF}}} \quad \dots \dots \dots \quad (2.31)$$

$$\theta_{T-SI^F} = \frac{h}{h_L} \quad \dots \quad (2.32)$$

$$\theta_{T_StF} = \frac{\ln(1 + R_T)}{R_T} \quad (2.33)$$

Nu_{StF} = bilangan nusselt stagnan film

$h_{L, StF}$ = koefisien perpindahan panas menuju nol [W/m².°C]

d = diameter droplet [m]

k = konduktivitas panas udara [W/m.°C]

h = koefisien perpindahan panas [W/m².°C]

$\theta_{T \text{ } SiF}$ = faktor koreksi perpindahan panas

R_T = fluks perpindahan panas

2.6.2 Sherwood Model Stagnan Film (Sh_StF)

Karakteristik proses perpindahan massa model stagnan film mempunyai rumus sebagai berikut^[3] :

$$Sh_{StF} = \frac{k_{cLStF} \times diameter}{D_{AB}} \quad (2.34)$$

$$k_{cL_StF} = \frac{k_c}{\theta_{StF}} \quad (2.35)$$

$$\theta_{X_StF} = \frac{k_c}{k_{cL}} \quad (2.36)$$

$$\theta_{X_StF} = \frac{\ln(1 + R_x)}{R_x} \quad (2.37)$$

Sh_{StF} = bilangan sherwood stagnan film

k_{cL_StF} = koefisien perpindahan massa menuju nol [W/m².°C]

d = diameter droplet [m]

D_{AB} = Difusivitas massa

k_c = koefisien perpindahan massa [W/m².°C]

θ_{X_StF} = faktor koreksi perpindahan massa

R_x = fluks perpindahan massa

2.7 Model Analogi Pendekatan Baru Stagnan Film

Konfirmasi analogi perpindahan panas dan massa (Ranz-Marshall) menunjukkan hasil yang negatif dan hal ini sesuai dengan hasil simulasi yang dilakukan oleh Chen et. al. (2002). Korelasi yang lemah untuk bilangan Nusselt dan bilangan Sherwood pada data Walton (2004) membuka peluang untuk membuat model ataupun pendekatan yang lain sedemikian hingga memberikan korelasi yang baik. Pengujian tetesan iso-propanol yang dijatuhkan melawan aliran udara panas menunjukkan bahwa laju penguapan yang menggunakan persamaan analogi Ranz-Marshall lebih kecil dari hasil pengujian. Keadaan ini sesuai dengan pengujian Walton (2004).

Model film stagnan perpindahan massa yang diterapkan pada model analogi Ranz-Marshall untuk tetesan air menghasilkan penyimpangan yang cukup besar dari data Walton (2004). Tetapi dengan model pendekatan baru yang diterapkan pada model analogi Ranz-Marshall, data Walton tersebut menghasilkan persamaan dengan korelasi yang baik. Berbeda dengan model film stagnan, pada model pendekatan baru, perpindahan massa bisa terjadi pada permukaan antar-fasa selama terjadi beda temperatur (terjadi perpindahan panas) meskipun tidak terjadi beda konsentrasi. Perpindahan massa pada permukaan antar-fasa ini disebabkan oleh perpindahan panas yang menimbulkan perubahan fasa (perpindahan massa penguapan / pengembunan) pada permukaan tersebut. Demikian juga perbedaan konsentrasi akan menimbulkan perubahan fasa (sebagai akibat perpindahan massa) pada permukaan antar-fasa sehingga di sini terjadi perpindahan panas, meskipun tidak terjadi perbedaan temperatur. Kedua fenomena ini tidak terjadi pada model film stagnan.^[10]

2.7.1 Sherwood model pendekatan baru (Sh_{Mod})

Karakteristik proses perpindahan massa model pendekatan baru terdapat nilai C_1 yaitu parameter perpindahan massa dengan rumus sebagai berikut.^[11]

$$Sh_{Mod} = \frac{k_{cLMod} \times d}{D_{AB}} \quad (2.38)$$

$$k_{cLMod} = \frac{k_c}{\theta_{Mod}} \quad (2.39)$$

$$\theta_{X_Mod} = \frac{k_c}{k_{cL}} \quad (2.40)$$

$$\theta_{X_Mod} = \frac{Ln(1 + R_x) - C_1}{R_x} \quad (2.41)$$

$$C_1 = -0,0011 \times (Tudara - Tdroplet) - 1,0082 \times (x_{A\infty} - x_0) \quad (2.42)$$

Sh_{Mod} = bilangan sherwood stagnan film

k_{cL_Mod}	= koefisien perpindahan massa menuju nol [W/m ² .°C]
d	= diameter droplet [m]
D_{AB}	= Difusivitas massa
kc	= koefisien perpindahan massa [W/m ² .°C]
θ_{X_Mod}	= faktor koreksi perpindahan massa
R_X	= fluks perpindahan massa
C_1	= parameter perpindahan massa

2.7.2 Bilangan Nusselt model pendekatan baru

Karakteristik proses perpindahan panas model pendekatan baru terdapat nilai C_2 yaitu parameter perpindahan panas dengan rumus sebagai berikut.^[12]

$$Nu_{Mod} = \frac{h_{LMod} \times \text{diameter}}{k} \quad (2.43)$$

$$h_{LMod} = \frac{h}{\theta_{T_Mod}} \quad (2.44)$$

$$\theta_{T_Mod} = \frac{h}{h_L} \quad (2.45)$$

$$\theta_{T_Mod} = \frac{\ln(1 + R_T)}{R_T} + \frac{C_{pA}}{k \times R_T} \cdot C_2 \quad (2.46)$$

$$C_2 = 0,4633E^{-09} \times (Tudara - Tdrop) + 0,16E^{-06} \times (x_{A\infty} - x_0) \quad (2.47)$$

Nu_{Mod}	= bilangan nusselt stagnan film
h_{LMod}	= koefisien perpindahan panas menuju nol [W/m ² .°C]
d	= diameter droplet [m]
k	= konduktivitas panas udara [W/m.°C]
h	= koefisien perpindahan panas [W/m ² .°C]
θ_{T_Mod}	= faktor koreksi perpindahan panas

- R_T = fluks perpindahan panas
 C_2 = parameter perpindahan massa

2.8 Karakteristik Udara

Dalam laju penguapan tetesan yang sangat berperan penting adalah udara. Udara berada diatas permukaan lapisan bumi disebut dengan atmosfir, atau atmosfir udara. Pada atmosfir bertekanan rendah (*lower atmosfir*) atau homosphere, terdiri dari udara basah (*moist air*), dimana terdiri dari campuran uap air dan udara kering.

Komposisi udara kering diperkirakan berdasarkan volumenya terdiri dari : 79.08 % Nitrogen, 20.95 % Oksigen, 0.93 % Argon, 0.03 % Karbon Dioksida, 0.01 % lain-lain gas (seperti neon, sulfur dioksida)^[13].

Kandungan uap air pada udara basah antara temperatur 0 – 100 °F tidak lebih dari 0.05 – 3 %. Variasi uap air pada udara basah besar pengaruhnya terhadap karakteristik dari udara basah tersebut.

Faktor yang sangat berperan dalam laju penguapan tetesan (*droplet*) adalah udara, dalam bentuk udara kering (*dry air*) yang berada dalam campuran

Udara dianggap sebagai gas ideal, sehingga hukum-hukum yang berlaku untuk gas ideal akan berlaku juga pada udara yaitu^[14]:

$$PV = mR_aT \quad (2.48)$$

- P = tekanan atmosfer udara basah [Pa]
 V = volume udara basah [m^3]
 m = massa udara basah [kg]
 R_a = konstanta gas [kJ/kg.K]
 T = temperatur udara basah [K]

2.9 Thermodinamika Udara Basah

Kelembaban, temperatur, tekanan, entalpi dan volume jenis adalah sifat termodinamika dari udara basah. Udara basah merupakan campuran biner antara udara kering dengan uap air, sehingga:

$$m = m_{da} + m_v \quad (2.49)$$

m_{da} = massa udara kering [kg]

m_v = massa uap air [kg]

Persamaan mol yang setara dengan pers.(2.53) adalah:

$$n = n_{da} + n_v \quad (2.50)$$

n = mole udara basah [kmole]

n_{da} = mole udara kering [kmole]

n_v = mole uap air [kmole]

Jika pers.(2.54) dibagi dengan jumlah mole udara basah (n) maka didapat:

$$\frac{n_{da}}{n} + \frac{n_v}{n} = 1 \quad (2.51)$$

$$x_{da} + x_v = 1 \quad (2.52)$$

$$x_o = \frac{P_v}{101325} \quad (2.53)$$

$$X = \frac{n_v}{n_a} = \frac{n_v}{n_{da}} \times \frac{n_{da}}{n_a} \quad (2.54)$$

$$pv = nRT = \frac{n}{M} RT \quad (2.55)$$

$$\frac{n}{v} = \frac{p}{RT} = \frac{101325}{8314.5 \cdot T_\infty} = C \quad (2.56)$$

$$x_o = \frac{\omega}{0.622(1+\omega)} \quad (2.57)$$

x_{da} = fraksi mole udara kering

x_v = fraksi mole uap air

2.9.1 Kelembaban

Kelembaban adalah konsentrasi uap air di udara. Angka konsentrasi ini dapat diekspresikan dalam kelembaban relatif (kelembaban spesifik).

2.9.1.1 Kelembaban relatif (*relative humidity*)

Kelembaban relatif (RH) adalah perbandingan fraksi mol uap air dalam udara basah terhadap fraksi mol uap air yang berada dalam keadaan jenuh pada temperatur dan tekanan yang sama. Kelembaban relatif dinyatakan dalam persamaan berikut^[15]:

$$RH(\phi) = \frac{x_v}{x_{ws}} \quad (2.58)$$

x_{ws} = fraksi mol uap air jenuh pada suhu dan tekanan udara.

Pada diagram psikometrik, garis kelembaban relatif ditunjukkan dengan garis lengkung parabolik yang merapat dari kiri bawah dan semakin melebar ke kanan atas dimana nilainya akan terus bertambah apabila garis kelembaban relatif mendekati garis saturasi.

2.9.1.2 Rasio kelembaban (*humidity ratio*)

Rasio kelembaban (ω) disebut juga *moisture content* atau *mixing ratio*, adalah perbandingan massa uap air terhadap massa udara kering yang terkandung dalam udara basah pada tekanan dan temperatur tertentu. Persamaan dasarnya adalah^[16]:

$$\omega = \frac{m_v}{m_{da}} \quad (2.59)$$

$$m = (1 + \omega)m_{da} \quad (2.60)$$

ω = rasio kelembaban (*humidity ratio*)

m_v = massa uap air [kg]

m_{da} = massa udara kering [kg]

Uap air dan udara dianggap juga sebagai gas ideal, maka untuk menghitung perbandingan kelembaban memakai persamaan $pV = RT$, serta kalor spesifik tetap. Udara dianggap sebagai gas ideal karena suhunya cukup tinggi dibandingkan suhu jenuhnya, dan uap air dianggap ideal karena tekanannya cukup rendah dibandingkan dengan tekanan jenuhnya (Stoecker, 1994).

$$\omega = \frac{m_v}{m_{da}} = \frac{p_v \cdot V / R_v \cdot T}{p_{da} \cdot V / R_{da} \cdot T} = \frac{p_v / R_v}{(p_t - p_v) / R_{da}} \quad (2.61)$$

ω = rasio kelembaban [kg uap air/kg udara kering]

V = volume campuran udara-uap air [m^3]

P_t = tekanan atmosfer = $p_a + p_s$ [Pa]

p_{da} = tekanan parsial udara kering [Pa]

p_w = tekanan parsial uap air dalam keadaan jenuh [Pa]

R_{da} = tetapan gas untuk udara kering = 287 [J/kg.K]

R_v = tetapan gas untuk uap air = 461,5 [J/kg.K]

T = temperatur campuran udara-uap air [K]

dengan mensubstitusi nilai Ra dan Rs ke dalam persamaan (2.61) maka diperoleh

$$\omega = \left(\frac{287}{461,5} \right) \left(\frac{p_v}{p_t - p_v} \right) = 0,622 \left(\frac{p_v}{p_t - p_v} \right) = 0,622 \frac{p_v}{p_{da}} \quad (2.62)$$

$$\rho_v = \rho \cdot \omega_v \quad (2.63)$$

$$\rho_o = \frac{m_v}{v} = \frac{m_v}{m} \cdot \frac{m}{v} \quad (2.64)$$

$$\rho_o = \omega_v \cdot \rho \quad (2.65)$$

$$C = \frac{n}{v} = \frac{m/M}{v} = \frac{\rho}{M} \quad (2.66)$$

$$n = \frac{m}{M} \quad (2.67)$$

$$\frac{P_v}{P_{da}} = \frac{n_v}{n_{da}} = \frac{m_v/18}{m_{da}/28.9} = \frac{\omega}{0.622} \quad (2.68)$$

$$\gamma = \omega = 0.622 \frac{p_v}{p_a - p_v} \quad (2.69)$$

$$\gamma p_a - \gamma p_v = 0.622 \cdot p_v \quad (2.70)$$

$$p_v = \frac{\gamma}{\gamma + 0.622} p_a \quad (2.71)$$

$$\omega_o = \frac{0.622 \cdot x_o}{1 + 0.378 \cdot x_o} \quad (2.72)$$

ω_o : Td = tabel uap Pv

Pada diagram psikometrik, garis rasio kelembaban ditunjukkan dengan garis horizontal yang semakin bertambah besar dari bawah ke atas.

2.10 Psychrometric Chart

Psychrometric chart digunakan untuk menentukan property udara. Psychrometric chart pada umumnya digambar pada tekanan 760 mmHg. Beberapa istilah yang berhubungan dengan psychrometric chart.

1. **Udara kering.** Udara kering murni merupakan campuran sejumlah gas seperti Nitrogen, Oksigen, Hidrogen, Argon, dan lain-lain. Nitrogen dan Oksigen menduduki porsi terbesar yaitu 78 % dan 21 %.

$$m = m_{da} + m_v \quad (2.73)$$

m_{da} = massa udara kering [kg]

m_v = massa uap air [kg]

2. **Udara lembab (*moist air*).** Merupakan campuran udara kering dengan uap air. Jumlah uap air yang terkandung di dalam udara sangat bergantung pada tekanan absolute dan temperature campuran.
3. **Udara saturasi.** Merupakan campuran udara kering dengan uap air dimana jumlah uap air di dalam udara sudah maksimum (udara berada dalam keadaan jenuh).
4. **Kelembaban (*Humidity/Specific humidity/Humidity ratio*).** Didefinisikan sebagai massa uap air dalam satu massa udara kering.

$$\omega = \frac{m_v}{m_{da}} \quad (2.74)$$

ω = rasio kelembaban (*humidity ratio*)

m_v = massa uap air [kg]

m_{da} = massa udara kering [kg]

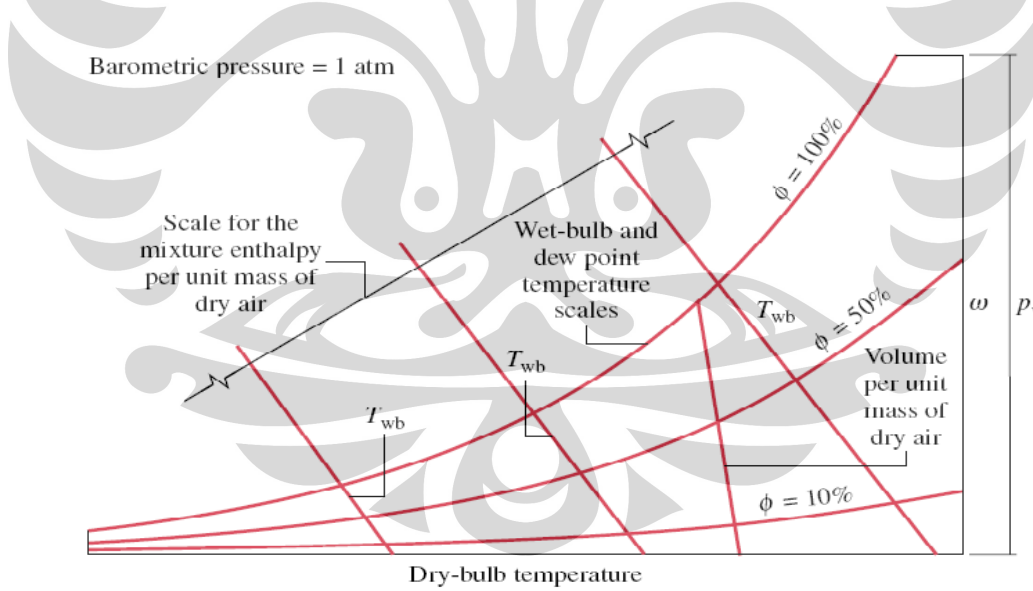
5. **Kelembaban relatif (Relative humidity).** Merupakan kebasahan dari atmosfer yang dinyatakan dalam perbandingan antara tekanan parsial uap air udara basah dan tekanan uap air udara lembab yang jenuh pada suhu bola kering yang sama.

$$RH(\phi) = \frac{x_v}{x_{ws}} \quad (2.75)$$

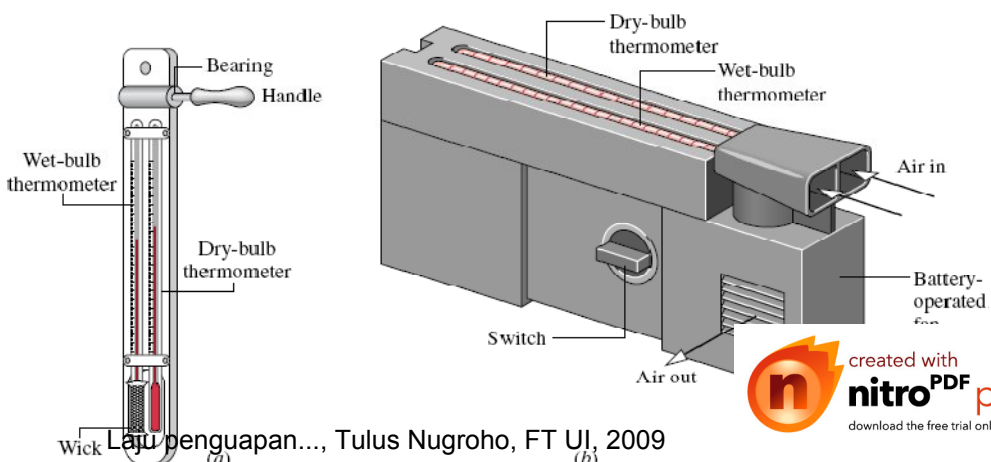
x_{ws} = fraksi mol uap air jenuh pada suhu dan tekanan udara.

x_v = fraksi mole uap air

6. **Temperatur bola kering (Dry bulb temperature).** Merupakan temperature udara yang terbaca pada termometer, ketika ia tidak dipengaruhi oleh kelembaban yang ada dalam udara.
7. **Temperatur bola basah (Wet bulb temperature).** Merupakan temperature udara yang terbaca pada termometer yang bola pengukur suhunya dibungkus dengan kain basah ketika dialiri kecepatan lebih dari 3-5 m/s.



Gambar 2.2 Skema Pembacaan Psychrometric Chart



Gambar 2.3 Alat Pengukur Dry Bulb dan Wet Bulb

8. **Temperatur pengembunan.** Merupakan temperatur dimana bagian uap air yang ada di udara mulai mengembun. Dilihat dari sisi tekanan parsial uap air dalam udara, temperatur tersebut adalah suhu jenuh (*saturasi*).
9. **Enthalpy.** Merupakan kalor yang dimiliki oleh udara setiap kg udara kering. Dinyatakan dengan^[17]:

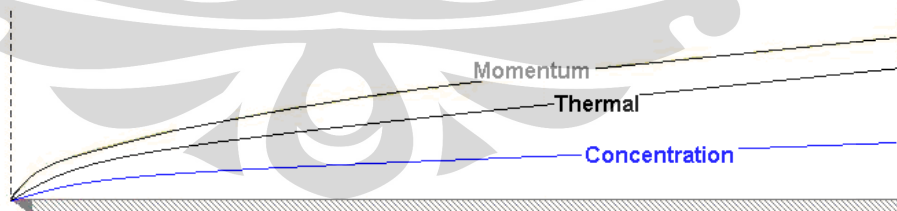
$$h = h_{da} + h_w \quad (2.76)$$

h = entalpi udara basah [kJ/kg]

h_{da} = entalpi udara kering [kJ/kg]

h_w = entalpi uap air [kJ/kg]

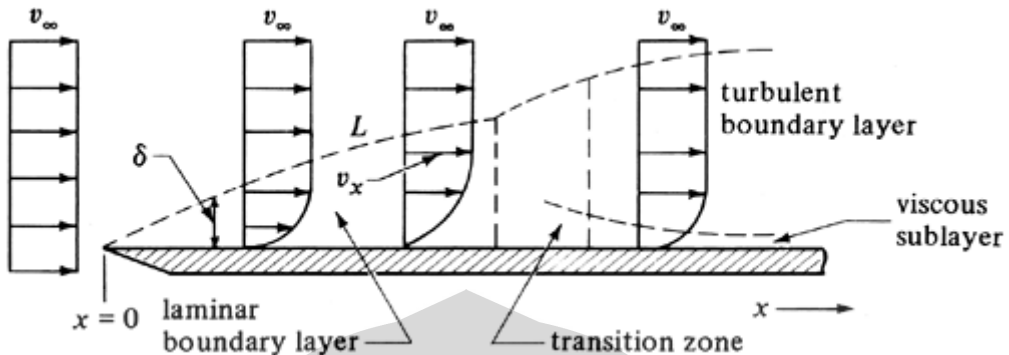
2.11 Lapis Batas



Gambar 2.4 Lapisan batas

Lapis batas (*boundary layer*) merupakan daerah (batasan) dimana masih terdapat gradien yang disebabkan pengaruh viskositas. Lapis batas terbagi menjadi tiga, yaitu lapis batas hidrodinamik, termal dan konsentrasi.

2.11.1 Lapis Batas Hidrodinamik



Gambar 2.5 Lapis batas hidrodinamik

Lapis batas pada plat rata terlihat membentuk suatu lapis batas yang dimulai dari tepi depan, yang dipengaruhi oleh gaya viskos, yang akan semakin meningkat kearah tengah dari plat rata. Gaya viskos ini dapat diterangkan dengan tegangan geser (shear stress) τ antara lapisan-lapisan fluida yang dianggap berbanding dengan gradien kecepatan normal, maka didapat persamaan^[17] :

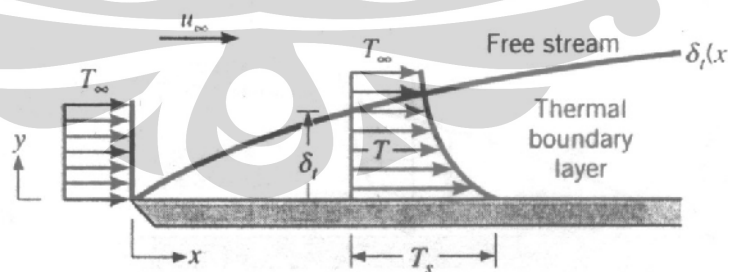
$$\tau = \mu \frac{\partial u}{\partial y} \quad (2.77)$$

τ = tegangan geser [N/m²]

μ = viskositas dinamik [Ns/m²]

u = kecepatan fluida [m/s]

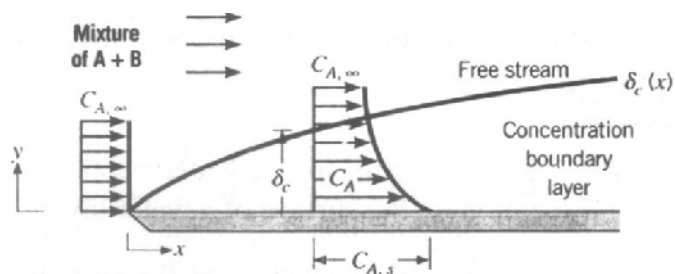
2.11.2 Lapis Batas Termal



Gambar 2.6 Lapisan batas termal

Seperti halnya lapis batas hidro dinamik, lapis batas termal didefinisikan sebagai daerah dimana terdapat gradien suhu dalam aliran. Gradien suhu tersebut akibat proses pertukaran kalor antara fluida dan dinding.

2.11.3 Lapis Batas Konsentrasi



Gambar 2.7 Lapis batas konsentrasi

Lapis batas konsentrasi terbentuk akibat adanya perbedaan konsentrasi pada zat yang bertumbuhan, yang akhirnya menyebabkan perpindahan massa.

2.12 Termokopel

Termokopel adalah sensor suhu yang banyak digunakan untuk mengubah perbedaan suhu dalam benda menjadi perubahan tegangan listrik (voltase). Termokopel yang sederhana dapat dipasang, dan memiliki jenis konektor standar yang sama, serta dapat mengukur temperatur dalam jangkauan suhu yang cukup besar dengan batas kesalahan pengukuran kurang dari 1 °C.

2.12.1 Prinsip Termokopel

Pada tahun 1821, seorang fisikawan Estonia bernama Thomas Johann Seebeck menemukan bahwa sebuah konduktor (semacam logam) yang diberi perbedaan panas secara gradien akan menghasilkan tegangan listrik. Hal ini disebut sebagai efek termoelektrik. Untuk mengukur perubahan panas ini gabungan dua macam konduktor sekaligus sering dipakai pada ujung benda panas yang diukur. Konduktor tambahan ini kemudian akan mengalami gradiasi suhu, dan mengalami perubahan tegangan secara berkebalikan dengan perbedaan temperatur benda. Menggunakan logam yang berbeda untuk melengkapi sirkuit akan menghasilkan tegangan yang berbeda, meninggalkan perbedaan kecil tegangan memungkinkan kita melakukan pengukuran, yang bertambah sesuai temperatur. Perbedaan ini umumnya berkisar antara 1 hingga 70 microvolt tiap derajat celcius untuk kisaran yang dihasilkan kombinasi logam modern. Beberapa

kombinasi menjadi populer sebagai standar industri, dilihat dari biaya, ketersediaanya, kemudahan, titik lebur, kemampuan kimia, stabilitas, dan hasil. Sangat penting diingat bahwa termokopel mengukur perbedaan temperatur di antara 2 titik, bukan temperatur absolut.

Pada banyak aplikasi, salah satu sambungan (sambungan yang dingin) dijaga sebagai temperatur referensi, sedang yang lain dihubungkan pada objek pengukuran. contoh, pada gambar di atas, hubungan dingin akan ditempatkan pada tembaga pada papan sirkuit. Sensor suhu yang lain akan mengukur suhu pada titik ini, sehingga suhu pada ujung benda yang diperiksa dapat dihitung. Termokopel dapat dihubungkan secara seri satu sama lain untuk membuat termopile, dimana tiap sambungan yang panas diarahkan ke suhu yang lebih tinggi dan semua sambungan dingin ke suhu yang lebih rendah. Dengan begitu, tegangan pada setiap termokopel menjadi naik, yang memungkinkan untuk digunakan pada tegangan yang lebih tinggi. Dengan adanya suhu tetapan pada sambungan dingin, yang berguna untuk pengukuran di laboratorium, secara sederhana termokopel tidak mudah dipakai untuk kebanyakan indikasi sambungan langsung dan instrumen kontrol. Mereka menambahkan sambungan dingin tiruan ke sirkuit mereka yaitu peralatan lain yang sensitif terhadap suhu (seperti termistor atau dioda) untuk mengukur suhu sambungan input pada peralatan, dengan tujuan khusus untuk mengurangi gradiasi suhu di antara ujung-ujungnya.

Di sini, tegangan yang berasal dari hubungan dingin yang diketahui dapat disimulasikan, dan koreksi yang baik dapat diaplikasikan. Hal ini dikenal dengan kompensasi hubungan dingin. Biasanya termokopel dihubungkan dengan alat indikasi oleh kawat yang disebut kabel ekstensi atau kompensasi. Tujuannya sudah jelas. Kabel ekstensi menggunakan kawat-kawat dengan jumlah yang sama dengan konduktur yang dipakai pada Termokopel itu sendiri. Kabel-kabel ini lebih murah daripada kabel termokopel, walaupun tidak terlalu murah, dan biasanya diproduksi pada bentuk yang tepat untuk pengangkutan jarak jauh - umumnya sebagai kawat tertutup fleksibel atau kabel multi inti. Kabel-kabel ini biasanya memiliki spesifikasi untuk rentang suhu yang lebih besar dari kabel termokopel. Kabel ini direkomendasikan untuk keakuratan tinggi. Kabel kompensasi pada sisi lain, kurang presisi, tetapi murah. Mereka memakai

perbedaan kecil, biasanya campuran material konduktor yang murah yang memiliki koefisien termoelektrik yang sama dengan termokopel (bekerja pada rentang suhu terbatas), dengan hasil yang tidak seakurat kabel ekstensi.

Kombinasi ini menghasilkan output yang mirip dengan termokopel, tetapi operasi rentang suhu pada kabel kompensasi dibatasi untuk menjaga agar kesalahan yang diperoleh kecil. Kabel ekstensi atau kompensasi harus dipilih sesuai kebutuhan termokopel. Pemilihan ini menghasilkan tegangan yang proporsional terhadap beda suhu antara sambungan panas dan dingin, dan kutub harus dihubungkan dengan benar sehingga tegangan tambahan ditambahkan pada tegangan termokopel, mengantikan perbedaan suhu antara sambungan panas dan dingin.

2.12.2 Tipe-Tipe Termokopel

Tersedia beberapa jenis termokopel, tergantung aplikasi penggunaannya^[18]

1. Tipe K (Chromel (Ni-Cr alloy) / Alumel (Ni-Al alloy))

Termokopel untuk tujuan umum. Lebih murah. Tersedia untuk rentang suhu -200°C hingga $+1200^{\circ}\text{C}$.

2. Tipe E (Chromel / Constantan (Cu-Ni alloy))

Tipe E memiliki output yang besar ($68 \mu\text{V}/^{\circ}\text{C}$) membuatnya cocok digunakan pada temperatur rendah. Properti lainnya tipe E adalah tipe non magnetik.

3. Tipe J (Iron / Constantan)

Rentangnya terbatas (-40 hingga $+750^{\circ}\text{C}$) membuatnya kurang populer dibanding tipe K

4. Tipe J memiliki sensitivitas sekitar $\sim 52 \mu\text{V}/^{\circ}\text{C}$

5. Tipe N (Nicrosil (Ni-Cr-Si alloy) / Nisil (Ni-Si alloy))

Stabil dan tahanan yang tinggi terhadap oksidasi membuat tipe N cocok untuk pengukuran suhu yang tinggi tanpa platinum. Dapat mengukur suhu di atas 1200°C . Sensitifitasnya sekitar $39 \mu\text{V}/^{\circ}\text{C}$ pada 900°C , sedikit di bawah tipe K. Tipe N merupakan perbaikan tipe K. Termokopel tipe B, R, dan S adalah termokopel logam mulia yang memiliki karakteristik yang hampir sama. Mereka adalah termokopel yang paling stabil, tetapi karena sensitifitasnya rendah (sekitar

$10 \mu\text{V}/^\circ\text{C}$) mereka biasanya hanya digunakan untuk mengukur temperatur tinggi ($>300^\circ\text{C}$).

6. Type B (Platinum-Rhodium/Pt-Rh)

Cocok mengukur suhu di atas 1800°C . Tipe B memberi output yang sama pada suhu 0°C hingga 42°C sehingga tidak dapat dipakai di bawah suhu 50°C .

7. Type R (Platinum /Platinum with 7% Rhodium)

Cocok mengukur suhu di atas 1600°C . sensitivitas rendah ($10 \mu\text{V}/^\circ\text{C}$) dan biaya tinggi membuat mereka tidak cocok dipakai untuk tujuan umum.

8. Type S (Platinum /Platinum with 10% Rhodium)

Cocok mengukur suhu di atas 1600°C . sensitivitas rendah ($10 \mu\text{V}/^\circ\text{C}$) dan biaya tinggi membuat mereka tidak cocok dipakai untuk tujuan umum. Karena stabilitasnya yang tinggi Tipe S digunakan untuk standar pengukuran titik leleh emas (1064.43°C).

9. Type T (Copper / Constantan)

Cocok untuk pengukuran antara -200 to 350°C . Konduktor positif terbuat dari tembaga, dan yang negatif terbuat dari constantan. Sering dipakai sebagai alat pengukur alternatif sejak penelitian kawat tembaga. Type T memiliki sensitifitas $\sim 43 \mu\text{V}/^\circ\text{C}$.

2.12.3 Penggunaan Termokopel

Termokopel paling cocok digunakan untuk mengukur rentangan suhu yang luas, hingga 1800°K . Sebaliknya, kurang cocok untuk pengukuran dimana perbedaan suhu yang kecil harus diukur dengan akurasi tingkat tinggi, contohnya rentang suhu 0 -- 100°C dengan keakuratan 0.1°C . Untuk aplikasi ini, Termistor dan RTD lebih cocok. Contoh Penggunaan Termokopel yang umum antara lain :

1. Industri besi dan baja
2. Pengaman pada alat-alat pemanas
3. Untuk termopile sensor radiasi
4. Pembangkit listrik tenaga panas radioisotop, salah satu aplikasi termopile.

BAB III

METODE PENELITIAN

3.1 Alat Penelitian



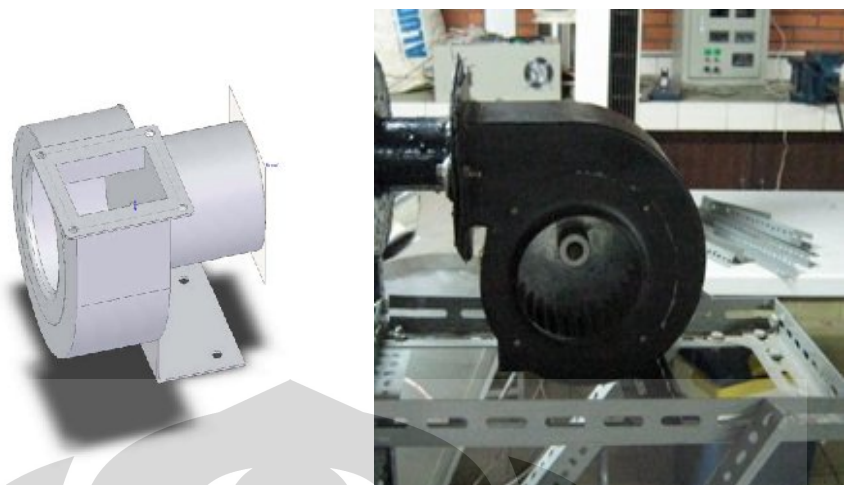
Gambar 3.1 Alat Pengambilan Data

Gambar alat diatas adalah alat yang digunakan untuk mengambil data peluruhan droplet, yang terdiri dari beberapa komponen utama seperti:

- *Blower*
- Tabung Dehumidifier
- *Heater*
- *Pyrex*
- Inverter
- *Digital Control*
- *Temperature Display*
- Alat Pembuat Droplet (Alat Suntik)

3.1.1 Blower

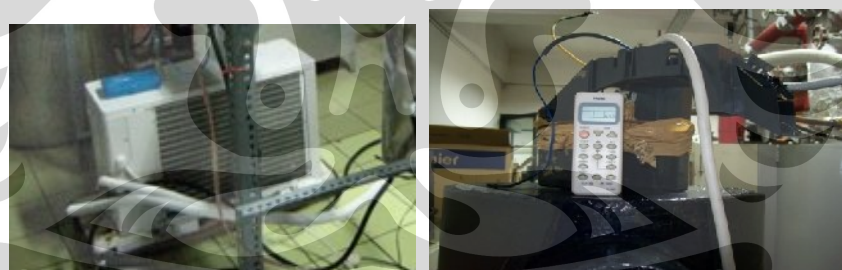
Digunakan untuk mendorong udara agar dapat masuk ke sistem. Tipe yang dipakai adalah *blower* sentrifugal, dengan debit $400 \text{ m}^3/\text{jam}$. Blower ini dipasang sebagai penghasil kecepatan aliran pada sistem, sedangkan untuk mengatur kecepatan aliran tersebut akan digunakan inverter yang akan dijelaskan di sub-bab berikutnya. Dibawah ini adalah gambaran bentuk dari blower yang akan digunakan pada sistem



Gambar 3.2 Blower

3.1.2 Air Conditioner

Air Conditioner berfungsi untuk mengkondensasikan uap yang terbentuk pada tabung reaktor selama proses throttling berlangsung. Bagian evaporator AC ini diletakkan pada tabung 2, sedangkan bagian kondensornya tetap diletakkan diluar untuk melepaskan panas ke udara luar. Kontrol temperatur untuk AC ini tetap dipasang, sehingga tetap dapat dilakukan perubahan setting suhu.



Gambar 3.3 Air Conditioner Dan Controller-nya

3.1.3 Tabung Dehumidifier

Tabung Dehumidifier berfungsi sebagai tempat pengkondensasian uap yang terbentuk selama proses ekspansi berlangsung. Sebuah evaporator AC dimasukan pada tabung kedua dengan diberikan dudukan agar tidak bergerak sekaligus mengarahkan uap yang mengalir agar hanya melalui evaporator itu saja. Lubang masuk yang dihubungkan dengan pompa vakum sengaja diletakan dibagian bawah evaporator dengan alasan agar fluida uap tidak terhisap keluar tabung, selain itu juga menjadi catatan disini bahwa diharapkan tekanan pada

tabung kedua menjadi sedikit lebih rendah dari tabung pertama agar uap pada tabung pertama dapat mengalir ke tabung kedua.

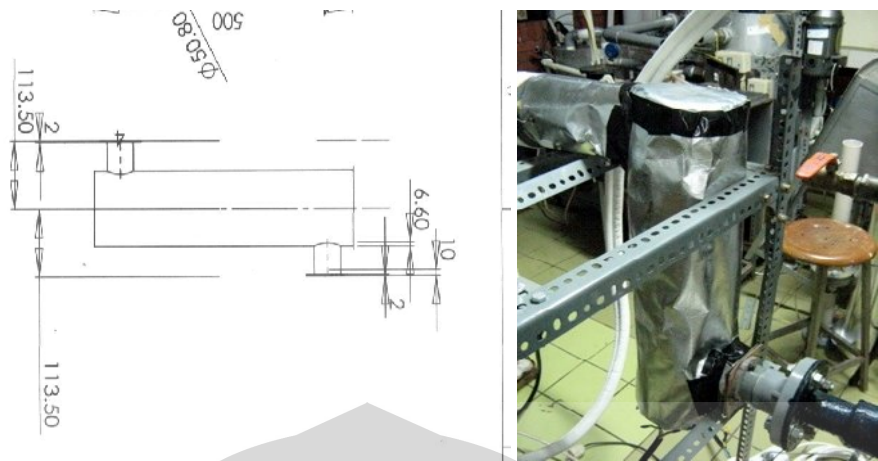
Kedua tabung dibuat dari pelat baja setebal 2 mm yang dibentuk menyerupai tabung kemudian bagian luarnya dibungkus dengan bahan "thermafleks" (biasa digunakan pada pembungkus pipa AC) agar temperatur lingkungan tidak mempengaruhi temperatur dalam tabung.



Gambar 3.3 Tabung Dehumidifier

3.1.4 Heater

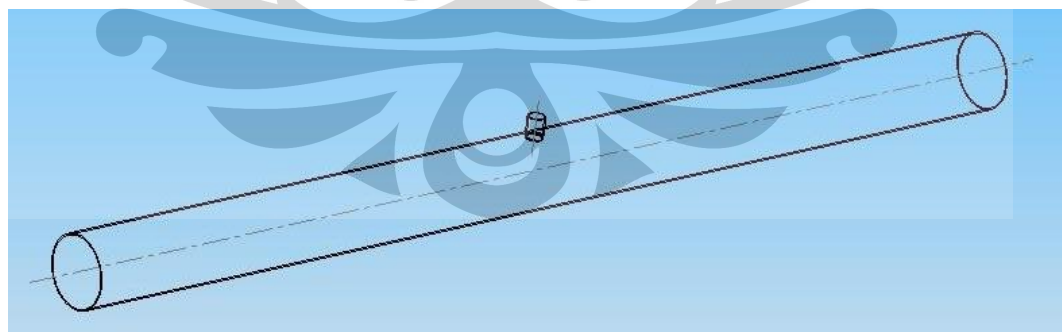
Untuk memberikan panas ke udara yang dialirkan ke tetesan maka dipasangkan *heater*. Daya maksimal yang dapat dicapai oleh heater adalah 3 kW, pada tegangan 220 VAC. Pada outlet *heater* dipasang termokopel sebagai *feedback* ke *Digital Controller* agar temperatur yang dihasilkan oleh heater dapat terukur dan dapat dilakukan penyesuaian dengan temperature yang diinginkan.



Gambar 3.5 Heater

3.1.5 Pyrex

Test Section berupa pipa pyrex. Pyrex memiliki diameter dalam 98 mm dan panjang 1500 mm. Pipa pyrex ini dipilih karena kemampuan menahan panasnya cukup tinggi sehingga pada saat dialirkan udara panas sebagai media penguapan pada pipa pyrex tersebut diharapkan tidak menimbulkan kerusakan serta tidak menimbulkan gangguan pada saat melakukan pengambilan data uji. Untuk skema pada pipa pyrex dapat terlihat pada gambar dibawah ini, pada skema tersebut telihat di tengah – tengah pyrex dibentuk lubang yang berfungsi untuk memasukkan suntikan dan *wire-probe thermocouple*. Pada lubang inilah yang dijadikan tempat untuk meletakkan sampel uji yang akan diuapkan.



Gambar 3.6 Pyrex

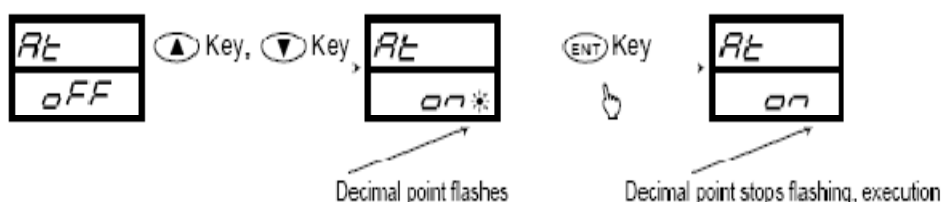
3.1.6 Digital controller.

Komponen ini akan digunakan untuk mempermudah proses menstabilkan kondisi *heater* pada kondisi temperatur yang diinginkan dengan proses *auto-tuning* yang terintegrasi. Selain untuk membantu *heater* mencapai kondisi stabil, komponen ini juga digunakan untuk mengatur kerja dari heater agar tidak *over heat* pada saat melakukan proses pengujian, sehingga heater dapat bekerja dalam jangka waktu yang lama. Dibawah ini adalah skema dari digital Controller yang digunakan dengan merk SHIMADEN SR94



Gambar 3.7 Digital controller

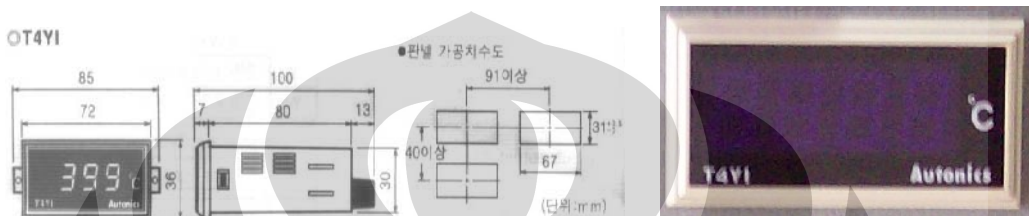
Proses penyesuaian dengan menggunakan digital controller ini dilakukan secara otomatis pada mode *auto tuning*, yakni controller itu akan bekerja menstabilkan temperature sesuai dengan kondisi yang diinginkan, dengan menyesuaikan input tegangan yang diatur menggunakan sistem PID controller sehingga penyesuaian akan dilakukan secara perlahan. Oleh karena itu, prosesnya akan membutuhkan waktu yang lebih lama karena harus menyesuaikan dengan suhu yang diinginkan. Berikut ini skema pengaturan dengan mode *auto tuning*



Gambar 3.8 Skema Auto Tunning

3.1.7 Temperature display.

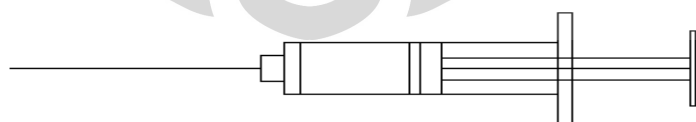
Komponen ini akan dihubungkan dengan *Wire probe thermocouple*, sehingga temperatur tetesan pada setiap aliran panas yang melaluinya dapat terukur. Untuk komponen ini akan menggunakan merk Autonics T4YI 220 VAC. *Display* ini hanya menampilkan pembacaan suhu dari *wire probe thermocouple*, tidak bisa mengatur suhu seperti *digital controller*.



Gambar 3.9 Temperature display

3.1.8 Nozzle

Untuk membentuk tetesan maka diperlukan alat bantu berupa suntikan dan *wire-probe thermocouple*. Suntikan yang digunakan adalah jenis *spinal needle* 23, yang memiliki dimensi dengan panjang 90 mm dan diameter nozzle 0.6 mm. Jenis suntikan ini dipilih karena mempunyai panjang yang mencukupi untuk diletakan di pyrex yang mempunyai diameter 98 mm. Alat suntikan ini berfungsi untuk memasukkan fluida cair yang akan diukur dimensi dan suhunya. Saat suntikan yang sudah diisi fluida cair ditekan, maka pada ujung jarum akan membentuk tetesan, sehingga tetesan ini akan jatuh pada *wire-probe thermocouple* kemudian temperatur tetesan dapat terukur dan bentuk tetesan dapat terlihat.

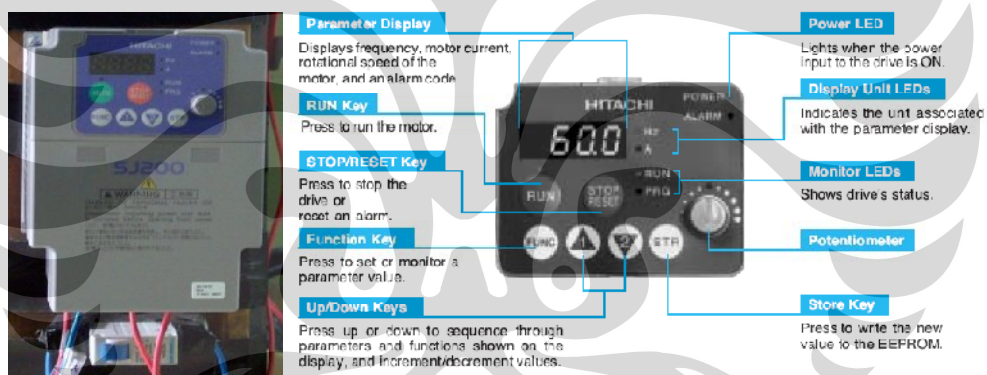


Gambar 3.10 Nozzel

3.1.9 Inverter

Komponen inverter ini digunakan untuk mendapatkan variasi kecepatan udara dari blower. Proses untuk mendapatkan variasinya adalah dengan cara mengatur frekuensi listrik yang masuk ke *blower* dari frekuensi tegangan rendah sampai batas frekuensi tegangan PLN yang ditampilkan dengan pengaturan frekuensi (hertz), sehingga putaran *blower* bisa diatur. Sebagai batas pengaturan dari inverter ini berkisar antara nilai 0 s/d 50 Hz. Tetapi yang harus diperhatikan pada saat melakukan pengaturan adalah *inverter* ini membutuhkan waktu pada saat menetapkan suatu frekuensi pengaturan, jadi setelah menetapkan frekuensi pengaturan jangan langsung digunakan untuk melakukan pengujian tapi harus ditunggu beberapa saat agar kondisnya mencapai stabil.

Untuk lebih jelasnya menganai inverter ini, dapat terlihat pada gambar berikut ini



Gambar 3.11 Display Inverter SJ200

Spesifikasi Inverter :

- Tipe : AC Drivers
- Merk : Hitachi, SJ200
- Range : 0.75 kW (220 VAC)

Inverter tersebut bisa mengatur frekwensi tegangan input ke *blower* dengan ketelitian 0.1 Hz pada temperatur kerja ($25^{\circ}\text{C} \pm 10^{\circ}\text{C}$).

3.2 Prosedur Kalibrasi Dan Pengambilan Data

Data yang diperoleh adalah dimensi tetesan yang dimasukkan ke *pyrex* melalui suntikan. Ada beberapa tahapan sebelum akhirnya memperoleh dimensi tetesan. Penjelasannya dapat dilihat pada sub-bab berikut.

3.2.1 Kalibrasi Kecepatan

Langkah awal sebelum melakukan pengambilan data adalah melakukan kalibrasi kecepatan pada posisi tetesan. Tahapan - tahapannya sebagai berikut :

1. Mengukur diameter dalam *pyrex*, dari pengukuran tersebut didapat diameter *pyrex* sebesar 96 mm, kemudian ditentukan titik tengah dari *pyrex* tersebut (pada posisi tetesan / lubang pada *pyrex*).
2. *Blower* dihidupkan dengan mengatur frekuensi pada *inverter*. Frekuensi untuk pengambilan data adalah 7 Hz, 10 Hz, dan 15 Hz.
3. *Heater* dihidupkan lalu diatur temperaturnya. Temperatur untuk pengambilan data adalah 50°C, 75°C, 100°C, dan 150°C. Untuk setiap pengaturan suhu, hidupkan mode auto tuning pada posisi on.
4. Meletakkan *hot wire anemometer* pada saluran setelah Dehumidifier tetapi sebelum Heater, untuk mencapai keadaan yang tepat biasanya memakan waktu 10-15 menit (temperatur display menunjukkan angka yang stabil). Hal ini dilakukan karena kita tidak dapat mengambil data kecepatan secara langsung pada posisi droplet
5. Setelah keadaan menjadi stabil, pengambilan data yang terbaca pada hotwire dapat dilakukan.
6. Dalam melakukan pengambilan data usahakan mengatur temperatur dan frekuensi dimulai dari yang terkecil sampai terbesar.

3.2.2 Pengambilan Data Foto

Pengambilan data dimensi tetesan dengan melakukan mengambil foto tetesan pada selang waktu tertentu. Langkah – langkahnya sebagai berikut :

1. Temperatur bola basah (twb) dan bola kering (tdb) dicatat sebelum melakukan penelitian.
2. Meletakkan kamera digital berikut *tripod* di depan *test section*, lalu posisi kamera diatur dengan sudut pencahayaan lampu dan menetapkan agar didapatkan gambar yang lebih jelas, kemudian mengatur *zoom* dan fokus

yang diupayakan sampai pada kemampuan maksimalnya agar gambar tersebut dapat terlihat pada pixel yang besar sehingga diharapkan kesalahan pada pixelnya lebih kecil. Kemudian layar kamera digital dihidupkan, sehingga terlihat gambar ujung jarum dan *wire probe thermocouple*.



Gambar 3.12 Posisi jarum dan tetesan

3. Menghidupkan *blower* yang langsung dihubungkan dengan *inverter* dan mengatur kecepatan putarannya melalui frekuensi pada *inverter*, kecepatan blower yang menghasilkan aliran diatur dengan menetapkan frekuensi pada *inverter*.



Gambar 3.13 Panel Sistem Listrik

4. *Heater* dihidupkan dan dengan mode *auto tuning setup* melalui *digital controller* temperatur *heater* akan diatur mencapai kondisi yang diinginkan. Range temperatur yang akan dicapai untuk proses pengambilan data adalah : 50, 75, 100 dan 150°C.

5. Setelah temperatur *digital controller* menunjukkan angka yang relatif konstan sesuai dengan temperatur yang diinginkan, maka suntikan ditekan sampai terbentuk tetesan yang baik.



Gambar 3.14 Tetesan

6. Menekan *shutter* kamera digital pada interval waktu setiap 2 detik selama 60 detik untuk mengamati saat tetesan mulai mengecil, catat penunjukan suhu pada *wire probe-thermocouple display* sebagai temperatur tetesan pada saat pengujian dan kemudian catat juga waktu pengambilan foto yang ada di kamera digital.
7. Mengulangi langkah nomor 2 sampai dengan 6 untuk variasi frekuensi 7; 10; dan 15 Hz.
8. Mengulangi langkah nomor 2 sampai dengan 7 untuk variasi temperatur 50, 75, 100 dan 150 °C.

3.2.3 Pengolahan Foto

Setelah diperoleh data dalam bentuk foto digital, maka selanjutnya dilakukan pengolahan data untuk memperoleh dimensi tetesan. Pengolahan data menggunakan *software paint* untuk mengukur panjang, lebar dan diameter dari tetesan (*droplet*). Langkah kerja sebagai berikut :

- Tahapan kalibrasi

1. Melakukan proses foto pada "mata bor" dengan ukuran 3 mm
2. Proses foto dilakukan dengan memaksimalkan kemampuan dari kamera digital (pada kondisi *zoom* maksimal)
3. Setelah mendapatkan gambar, kemudian dilakukan *image processing* dengan *software paint* untuk mendapatkan besaran *pixel* dari gambar "mata bor" tersebut.
4. Setelah didapatkan besaran *pixel*, selanjutnya tinggal membagi ukuran nyata dari "mata bor" dalam satuan milimeter (mm) dengan besaran *pixel* dari hasil *image processing* dan dicari nilai rata – ratanya dari keempat variasi tersebut. Sehingga akan didapatkan konversi $1 \text{ pixel} = 5,6 \times 10^{-5} \text{ m}$
 - Tahapan pengolahan foto tetesan (*droplet*)
 1. Membuka file gambar dengan menggunakan *software Paint*.
 2. Setelah file terbuka, dilakukan pembesaran bidang droplet. Kemudian dilakukan pengaturan skala untuk memperjelas batas yang akan dipilih.
 3. Setelah ditentukan batasnya, pada *software* tersebut akan dapat terlihat besaran pixel dari gambar tetesan (*droplet*) yang sedang diolah
 4. Kemudian tinggal mencatat besaran *pixel* untuk lebar dan panjang dari gambar tetesan (*droplet*) tersebut dan langsung dikonversikan dengan hasil kalibrasi dari "mata bor" untuk mendapatkan ukurannya dalam satuan millimeter (mm).
 5. Menyimpan hasil pencatatan data dalam bentuk tabel excel agar dapat diolah dengan sistematik.

3.3 Pengolahan Data

3.4.1 Pengolahan data non ac gula 1%

Dalam melakukan proses analisa tentang fenomena yang terjadi untuk perpindahan massa (*mass transfer*) dan perpindahan panas (*heat transfer*) pada data yang telah diambil akan menggunakan empat metode perhitungan yakni rumus model umum, *stagnant film model* dan pendekatan baru pada *stagnant film model* (E. A. Kosasih, 2006) serta pendekatan secara eksperimental. Dari keempat metode diatas mempunyai ciri khasnya masing – masing sesuai dengan faktor –

faktor apa saja yang dapat berpengaruh pada masing – masing metode perhitungan. Untuk lebih jelasnya dapat terlihat pada penjelasan berikut ini:

1. Mengambil satu contoh perhitungan data : Frekuensi *inverter* = 7 Hz
2. Waktu pengambilan foto pada detik ke-60
3. Pada kondisi non ac, $T_{db} = 29^{\circ}\text{C}$, $T_{wb} = 26^{\circ}\text{C}$.
4. T_{udara} pada termokopel = 48°C , $T_{droplet} = 31^{\circ}\text{C}$
5. Dari hasil pengukuran diperoleh dimensi droplet :
 - o Lebar = $379.5 \text{ pixel} \times \text{Faktor Kalibrasi Mata Bor } 3\text{mm}$
 = $379.5 \text{ pixel} \times (0.003\text{m} \div 500 \text{ pixel})$
 = $0.002277 [\text{m}]$
 - o Tinggi = $390 \text{ pixel} \times \text{Faktor Kalibrasi Mata Bor } 3\text{mm}$
 = $390 \text{ pixel} \times (0.003\text{m} \div 500 \text{ pixel})$
 = $0.00234 [\text{m}]$
 - o Selisih : Lebar = $17 \text{ pixel} \times (0.003\text{m} \div 500 \text{ pixel})$
 = $0.000102 [\text{m}]$
 Tinggi = $20 \text{ pixel} \times (0.003\text{m} \div 500 \text{ pixel})$
 = $0.00012 [\text{m}]$

Selanjutnya bisa dilakukan langkah-langkah analisa perhitungan sebagai berikut :

1. Menghitung d (diameter rata-rata tetesan)

$$d = \left(\frac{d_{lebar} + d_{tinggi}}{2} \right)$$

$$d = \left(\frac{0.002685 + 0.00273}{2} \right)$$

$$d = 0,002709[\text{m}]$$

2. Menghitung $\frac{dd}{dt}$

$$\frac{dd}{dt} = \frac{\text{Peluruhan}}{\text{Waktu}}$$

$$\frac{dd}{dt} = \frac{\left(\frac{0.000102 + 0.00012}{2} \right)}{60 \det ik}$$

$$\frac{dd}{dt} = 1,66 E^{-06} \text{ [m/s]}$$

3. Menghitung laju difusi molal (N)

$$\frac{-dm/dt}{A} = \rho \cdot \frac{dv/dt}{A}$$

$$\frac{dv/dt}{A} = \frac{dr}{dt}$$

$$\frac{dr}{dt} = \frac{dd/dt}{2}$$

$$\frac{dr}{dt} = \frac{1,66E^{-06}}{2}$$

$$\frac{dr}{dt} = 8,30E^{-07}$$

$$N = \frac{-dm / dt}{18.A}$$

$$N = \frac{\rho_{air} \cdot 8,35E^{-07}}{18}$$

$$N = \frac{998,4 \times 8,30E^{-07}}{18}$$

$$N = 4,63067E^{-05} [\text{kmole / s.m}^2]$$

4. Menghitung fraksi mol uap pada permukaan droplet (x_0)

Tekanan uap (P_v) pada temperatur droplet 31°C adalah 4491,3 Pa (interpolasi) dari tabel H₂O jenuh pada lampiran 4.

$$x_{gulal} = \frac{n_v}{n_a} = \frac{n_v}{n_{da} + n_v}$$

$$x_{gula} = \frac{1}{\frac{180}{\frac{1}{180} + \frac{99}{18}}}$$

$$x_{gula} = \frac{1}{1 + \left(\frac{99}{18} \times \frac{180}{1} \right)}$$

$$x_{gula} = 6,1776 E^{-03}$$

$$x_{gulal} + X_{0A} = 1$$

$$x_{0A} = 1 - X_{gula}$$

$$x_{0A} = 1 - 6,1776 E^{-03}$$

$$x_{0A} = 0,9938$$

$$p_{0A} = x_{0A} \times p_v$$

$$p_{0A} = 0,9938 \times 4491,3$$

$$p_{0A} = 4486,55 [Pa]$$

Sehingga :

$$x_0 = \frac{p_{0A}}{P_{udara}}$$

$$x_0 = \frac{4486,5}{101325}$$

$$x_0 = 0,04427$$

5. Menghitung fraksi mol uap pada lingkungan ($X_{A\infty}$)

Diperlukan komponen rasio kelembaban (ω) yakni perbandingan antara massa uap dengan massa udara kering, nilai ini didapatkan dari table psikometri. Untuk temperature Tdb = 30°C dan Twb = 26°C akan didapatkan nilai $\omega = 0,002$

$$x_{A\infty} = \frac{\omega}{\omega + 0,632} = \frac{0,02}{0,02 + 0,623} = 0,0311 [Kmole/m^3]$$

6. Menghitung konsentrasi total udara (C)

T_{film} adalah temperature udara pada termokopel saat belum di berikan tetesan ditambah temperature sesudah diberikan tetesan.

$$T_f = t_u + t_d$$

$$T_f = 273 + \left(\frac{48 + 31}{2} \right)$$

$$T_f = 312,5K$$

C diperoleh dari :

$$C = \frac{n}{V} = \frac{P}{\mathfrak{R}T}$$

$$C = \frac{101325}{8314,5 \times 312,5}$$

$$C = 0,03899 \text{ [kmole/m}^3\text{]}$$

7. Menghitung fluks perpindahan massa (Rx)

$$R_x = \frac{x_0 - x_{A\infty}}{1 - x_{A\infty}}$$

$$R_x = \frac{0,04405 - 0,03899}{1 - 0,03899}$$

$$R_x = 0,01378$$

8. Menghitung koefisien perpindahan massa (k_c)

$$k_c = \frac{Nx(1-x_0)}{Cx(x_0 - x_{A0})}$$

$$k_c = \frac{5,3067 E^{-05} (1 - 0,04405)}{0,03899 (0,04405 - 0,0311)}$$

$$k_c = 0,090043 \text{ [kmol / m}^2 \cdot s\text{]}$$

9. Menghitung faktor koreksi perpindahan massa untuk model analogi stagnan film (θ_{StF})

$$\theta x_{StF} = \frac{k_c}{k_{cL}} = \frac{\ln(1 + R_x)}{R_x}$$

$$\theta x_{StF} = \frac{\ln(1 + 0,01378)}{0,01378}$$

$$\theta x_{StF} = 1$$

10. Menghitung koefisien laju perpindahan massa model stagnan film k_c menuju k_{cLSF} ketika N_{A0} menuju nol

$$k_{cLSF} = \frac{k_c}{\theta_{StF}}$$

$$k_{cLSF} = \frac{0,090043}{1}$$

$$k_{cLSF} = 0,09 [kmole / m^2 s]$$

11. Menghitung difusivitas massa A dalam B (D_{AB})

$$D_{AB} = 0,1166 E^{-08} \times e^{1,75 \times \ln T_F}$$

$$D_{AB} = 2,71 E^{-05} [m^2 / s]$$

12. Menghitung Sherwood model stagnan film (Sh_{StF})

$$Sh_{StF} = \frac{k_{cLSF} \times diameter}{D_{AB}}$$

$$Sh_{StF} = \frac{0,1 \times 0,0027}{2,71 E^{-05}}$$

$$Sh_{StF} = 9,077$$

13. Menentukan parameter perpindahan massa (C_1)

$$C_1 = -0,0011 \times (Tudara - Tdrop) - 1,0082 \times (x_{A\infty} - x_0)$$

$$C_1 = -0,0011 \times (48 - 31) - 1,0082 \times (0,0311 - 0,04405)$$

$$C_1 = -5,644 E^{-03}$$

14. Menghitung faktor koreksi perpindahan massa untuk model analogi pendekatan baru (θ_{Mod})

$$\theta_{x_{Mod}} = \frac{k_c}{k_{cL}} = \frac{\ln(1 + R_x) - C_1}{R_x}$$

$$\theta_{x_{Mod}} = \frac{\ln(1 + 0,013365) - (-5,6 E^{-03})}{0,013365}$$

$$\theta_{x_{Mod}} = 1,433$$

15. Menghitung koefisien laju perpindahan massa model pendekatan baru k_c menuju k_{cLMod} ketika N_{A0} menuju nol

$$k_{cLMod} = \frac{k_c}{\theta_{Mod}}$$

$$k_{cLMod} = \frac{0,090047}{1,43}$$

$$k_{cLMod} = 0,062 [kmol / m^2.s]$$

16. Menghitung Menghitung Sherwood model pendekatan baru (Sh_{Mod})

$$Sh_{Mod} = \frac{k_{cLMod} \times diameter}{D_{AB}}$$

$$Sh_{Mod} = \frac{0,07 \times 0,0023085}{2,71E^{-05}}$$

$$Sh_{Mod} = 6,15$$

17. Mencari angka reynold (Re) pada droplet

$$Re = \frac{\rho u_{max} d_{rata-rata}}{\mu}$$

$$Re = \frac{u_{Max} \cdot d_{rata-rata}}{\nu}$$

Dimana :

ρ = massa jenis udara(kg/m^3)

U_{max} = kecepatan pada droplet (m/s)

$d_{rata-rata}$ = diameter rata – rata (m)

μ = viskositas dinamik ($kg/m.s$)

ν = difusivitas momentum atau viskositas kinematik (m^2/s)

Asumsi Kecepatan di droplet ialah kecepatan maksimum, droplet berada di tengah dengan $U_{max} = 0,4013$ m/s dan $\nu = 1,691E-05$ m^2/s

$$Re = \frac{u_{Max} \cdot d_{rata-rata}}{\nu}$$

$$Re = \frac{0,4013 \times 0,0027085}{1,691E - 05}$$

$$Re = 63,7$$

18. Menghitung bilangan Schmidt

$$Sc = \frac{\nu}{D_{AB}}$$

$$Sc = \frac{1,691E^{-05}}{2,71E^{-05}}$$

$$Sc = 0,624$$

19. Menghitung bilangan Sherwood (pers. Ranz - Marshall)

$$Sh = 2 + (0,55x Re^{1/2} . Sc^{1/3})$$

$$Sh = 2 + (0,55x 7,403 \times 0,85)$$

$$Sh = 5,75$$

Langkah-langkah Mencari Perpindahan Panas

20. Menghitung nilai konduktivitas campuran (K) dengan $T_f = 312,5$ K sehingga dapat dicari nilai rapat massa udara (ρ), panas jenis udara (cp) dan difusivitas termal (α) dari table sifat-sifat udara pada lampiran 2

$$k = \rho \times cp \times \alpha$$

$$k = 1,1270 \times 10008,3 \times 2,4E^{-05}$$

$$k = 0,0271[W / m.K]$$

21. Menghitung q_{radiasi} / A

$$\frac{q_{\text{radiasi}}}{A} = 0,96 \times 0,566959 E^{-07} \times ((273 + T_{\text{udara}})^4 - (273 + T_{\text{droplet}})^4)$$

$$\frac{q_{\text{radiasi}}}{A} = 0,96 \times 0,566959 E^{-07} \times ((273 + 48)^4 - (273 + 31)^4)$$

$$\frac{q_{\text{radiasi}}}{A} = 113,03[W / m^2]$$

22. Menghitung q_o / A , dengan konduksi dari termokopel $Q_{\text{koduksi}} = 212,129$ dan kalor laten pada temperature droplet 31°C sebesar $h_{fg} = 2428319$ J/kg dari table sifat air jenuh

$$\frac{q_o}{A} = -N \times 18 \times h_{fg} + q_{\text{koduksi}} + \frac{q_{\text{radiasi}}}{A}$$

$$\frac{q_o}{A} = -5,13E^{-05} \times 18 \times 2428319 + 212,129 + 113,03$$

$$\frac{q_o}{A} = -1917,44[W / m^2]$$

23. Menghitung koefisien perpindahan panas h

$$h = \frac{\frac{q_o}{A}}{(T_{droplet} - T_{udara})}$$

$$h = \frac{-1917,44}{(31 - 48)}$$

$$h = 112,76[W / m^2]$$

24. Menghitung koefisien perpindahan panas h menuju h_L ketika N_{A0} menuju nol

$$h_L = \frac{(2 + 0,55 \times Re^{\frac{1}{2}} \times Pr^{0,333}) \times k}{diameter}$$

$$h_L = \frac{(2 + 0,55 \times 63,7^{\frac{1}{2}} \times 0,71^{0,333}) \times 0,0271}{0,0023085}$$

$$h_L = 62,80[W / m^2]$$

25. Menghitung panas jenis molal udara C_{pA} dengan cp dari table sifat udara pada lampiran 2

$$C_{pA} = cp \times 28,9$$

$$C_{pA} = 10008,3 \times 28,9$$

$$C_{pA} = 0,289E^{-06}[J/(kmoleK)]$$

26. Menghitung factor kecepatan perpindahan panas (ϕ)

$$\phi = \frac{-N \times C_{pA}}{h_L}$$

$$\phi = \frac{-5,13E^{-05} \times 0,289E^{-06}}{69,88}$$

$$\phi = -0,0212$$

27. Menghitung fluks perpindahan panas (R_T)

$$R_T = e^\phi - 1$$

$$R_T = e^{-0,02112} - 1$$

$$R_T = -0,0209$$

28. Menghitung faktor koreksi perpindahan panas untuk model analogi stagnan film (θ_{StF})

$$\theta_{T_StF} = \frac{h}{h_L} = \frac{\ln(1 + R_T)}{R_T}$$

$$\theta_{T_StF} = \frac{\ln(1 + (-0,0209))}{-0,0209}$$

$$\theta_{T_StF} = 1,01$$

29. Menghitung parameter perpindahan panas (C_2)

$$C_2 = 0,4633E^{-09} \times (Tudara - Tdroplet) + 0,16E^{-06} \times (x_{A\infty} - x_0)$$

$$C_2 = 0,4633E^{-09} \times (48 - 31) + 0,16E^{-06} \times (0,0311 - 0,04405)$$

$$C_2 = -1,045E^{-08}$$

30. Menghitung faktor koreksi perpindahan panas untuk model analogi pendekatan baru (θ_{Mod})

$$\theta_{T_Mod} = \frac{h}{h_L} = \frac{\ln(1 + R_T)}{R_T} + \frac{C_{pA}}{k \times R_T} \cdot C_2$$

$$\theta_{T_Mod} = \frac{\ln(1 + (-0,0209))}{-0,0209} + \frac{0,289 E^{-6} \times (-9,948 E^{-09})}{0,0271 \times (-0,0209)}$$

$$\theta_{T_Mod} = 1,523$$

31. Menghitung koefisien laju perpindahan panas model stagnan film h menuju h_{LStF} ketika N_{A0} menuju nol

$$h_{L_StF} = \frac{h}{\theta t_{StF}}$$

$$h_{L_StF} = \frac{112,76}{1,01}$$

$$h_{L_StF} = 101,64 [W / m^2 \cdot K]$$

32. Menghitung koefisien laju perpindahan panas model pendekatan baru h menuju h_{L_Mod} ketika N_{A0} menuju nol

$$h_{L_Mod} = \frac{h}{\theta t_{Mod}}$$

$$h_{L_Mod} = \frac{112,76}{1,523}$$

$$h_{L_Mod} = 66 [W / m^2 \cdot K]$$

33. Menghitung bilangan Prandtl (Pr)

Dengan $T_f = 312,5K$ dapat dicari nilai Pr dari table sifat-sifat udara tekanan atmosfer pada lampiran 5

$$Pr = \frac{\nu}{\alpha}$$

$$Pr = \frac{1,691E^{-05}}{2,4E^{-05}}$$

$$Pr = 0,7103$$

34. Menghitung bilangan Nusselt (pers. Ranz - Marshall)

$$Nu = 2 + (0,6x Re^{1/2} \cdot Pr^{1/3})$$

$$Nu = 2 + (0,6x 54,8^{0,5} \times 0,704^{0,333})$$

$$Nu = 5,95$$

35. Menghitung bilangan Nusselt model analogi stagnan film

$$Nu_{StF} = \frac{h_{LSf} \times diameter}{k}$$

$$Nu_{StF} = \frac{116,4 \times 0,0023085}{0,0271}$$

$$Nu_{StF} = 10,16$$

36. Menghitung bilangan Nusselt model pendekatan baru

$$Nu_{Mod} = \frac{h_{LMod} \times diameter}{k}$$

$$Nu_{Mod} = \frac{74 \times 0,0023085}{0,0271}$$

$$Nu_{Mod} = 6,6$$

Dari langkah langkah diatas, maka dapat dibuat tabel dan grafik pada lampiran.

3.4.2 Perbandingan antara ac gula 1% dan non ac gula 1%

Berikut merupakan perhitungan untuk laju perpindahan panas dan perpindahan massa untuk ac dan non ac gula 1% berdasarkan tabel lampiran :

1. Perpindahan massa non ac gula 1%

$$N_{AO} = k_{cL} \left[\ln \left(\frac{1 - X_{\infty}}{1 - X_o} \right) - C_1 \right]$$

$$N_{AO} = 0,05495 \left[\ln \left(\frac{1 - 0,0311}{1 - 0,04293} \right) - (-0,00787) \right]$$

$$N_{AO} = 1,1083415 \cdot 10^{-3} [kmole / m^2 s]$$

2. Perpindahan panas non ac gula 1%

$$q_o = \frac{N_{AO} \cdot C_{PA} \cdot (T_0 - T_\infty)}{\exp\left(-\frac{N_{AO} \cdot C_{PA}}{h_L} - \frac{C_{PA}}{k} C_2\right) - 1}$$

$$q_o = \frac{1,1083415 \cdot 10^{-3} \cdot 1007,665 (31 - 49)}{\exp\left(-\frac{1,1083415 \cdot 10^{-3} \cdot 1007,665}{56,3} - \frac{1007,665}{0,0271} \cdot -1,023 \cdot 10^{-8}\right) - 1}$$

$$q_o = 1043,15 \text{ [W/m}^2]$$

3. perpindahan massa untuk ac gula 1% berdasarkan tabel lampiran :

$$N_{AO} = k_{cL} \left[\ln\left(\frac{1 - X_\infty}{1 - X_o}\right) - C_1 \right]$$

$$N_{AO} = 0,0551 \left[\ln\left(\frac{1 - 0,017634}{1 - 0,036116}\right) - (-0,00557) \right]$$

$$N_{AO} = 1,3534 \cdot 10^{-3}$$

$$N_{AO} = 1,3534 \cdot 10^{-3} \text{ [kmole/m}^2\text{s]}$$

4. Perpindahan panas ac gula 1%

$$q_o = \frac{N_{AO} \cdot C_{PA} \cdot (T_0 - T_\infty)}{\exp\left(-\frac{N_{AO} \cdot C_{PA}}{h_L} - \frac{C_{PA}}{k} C_2\right) - 1}$$

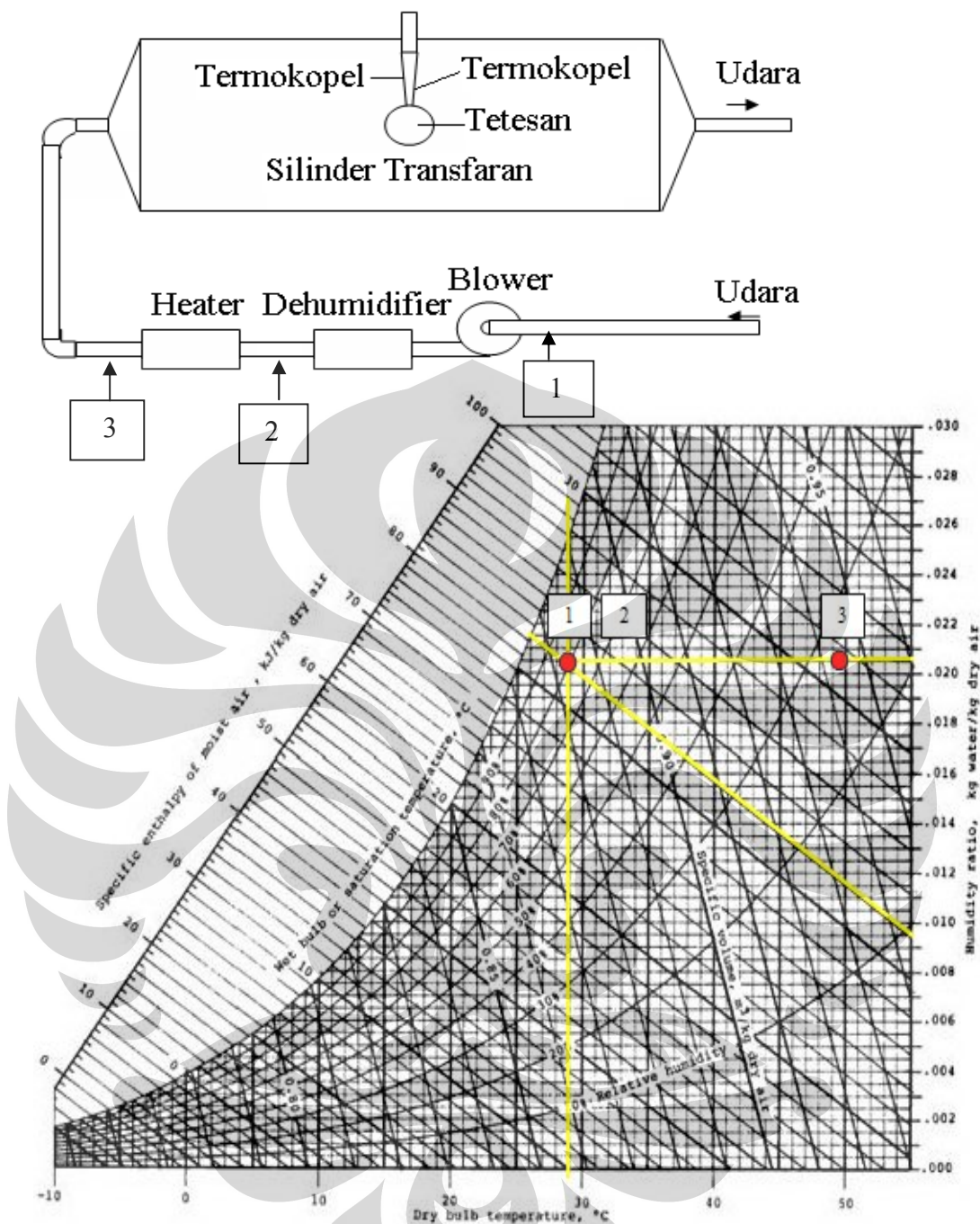
$$q_o = \frac{1,3534 \cdot 10^{-3} \cdot 1007,612 (28 - 50)}{\exp\left(-\frac{1,3534 \cdot 10^{-3} \cdot 1007,612}{56,67} - \frac{1007,612}{0,0271} \cdot -1,31498 \cdot 10^{-8}\right) - 1}$$

$$q_o = 1285,747 \text{ [W/m}^2]$$

Perhitungan diatas adalah perbandingan perhitungan perpindahan masa dan pepindahan panas dengan kondisi ac dan non ac . Dari data terlihat bahwa Dengan memakai ac maka laju penguapannya akan lebih cepat daripada non ac. Sehingga dapat disimpulkan bahwa kelembaban berpengaruh dengan laju penguapan.

3.4.3 Tabel psikometrik

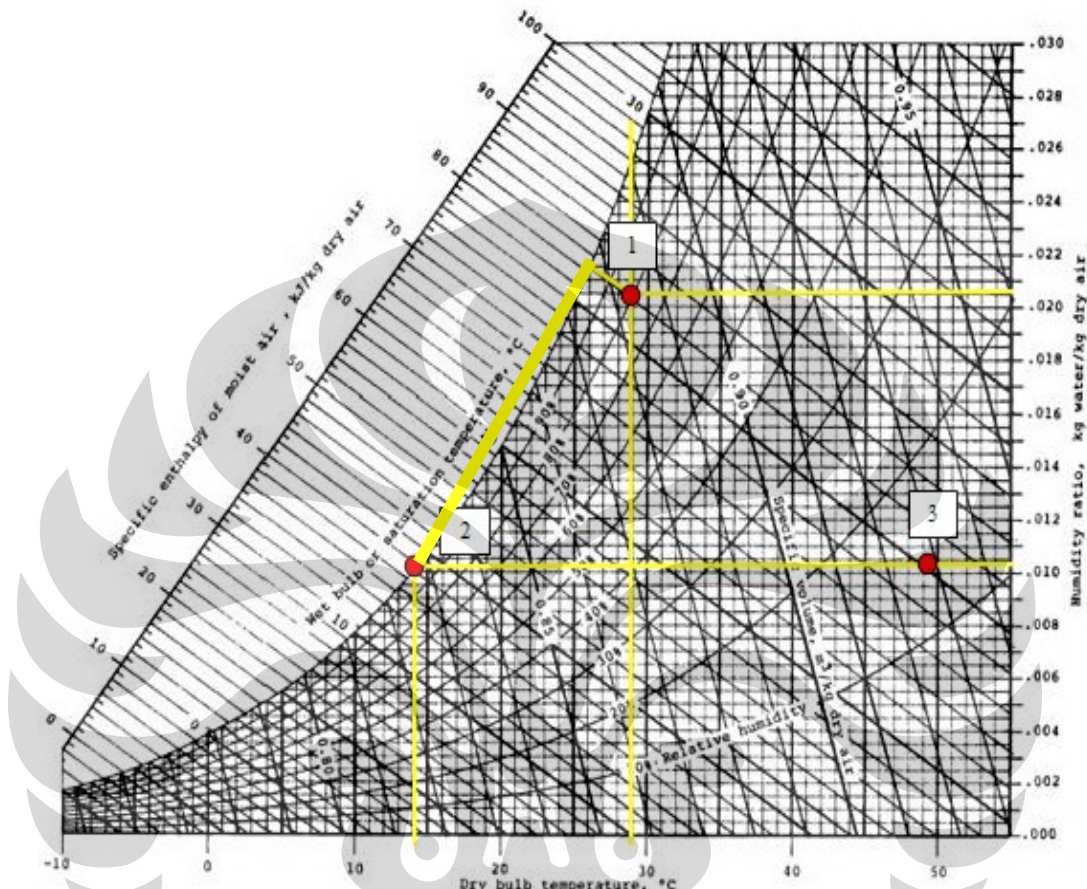
Kondisi pengujian tanpa menggunakan air conditioner dapat di gambarkan dalam psychrometric sebagai berikut:



Gambar 3.17 Psychrometric Chart Kondisi Tanpa AC

- Titik 1 merupakan kondisi udara sebelum blower yaitu temperature dry bulb 29°C dan wet bulb 26°C.
- Titik 2 merupakan kondisi udara saat keluar dari dehumidifier ,pada gambar terlihat titik 1 = titik 2 artinya temperature setelah dehumidifier sama dengan temperature lingkungan yaitu 29°C.
- Titik 3 merupakan kondisi udara saat keluar dari heater yaitu pada temperature 49°C dengan rasio kelembaban yang sama.

Kondisi udara pada pengujian dengan menggunakan air conditioner dapat digambarkan dalam psychrometric sebagai berikut:



Gambar 3.18 Psychrometric Chart Kondisi Dengan AC

- Titik 1 merupakan kondisi udara sebelum blower yaitu temperature dry bulb 29°C dan wet bulb 26°C.
- Titik 2 merupakan kondisi udara saat keluar dari dehumidifier , pada gambar terlihat titik 2 terletak pada RH 100% artinya $T_{DB} = T_{WB}$ ditandai dengan adanya embun atau air pada dehumidifier dimana sudah terjadinya pengurangan kelembaban dengan cara didinginkan temperature setelah dehumidifier yaitu 14°C.

Titik 3 merupakan kondisi udara saat keluar dari heater yaitu pada temperature 49°C dengan rasio kelembaban yang sama.

BAB IV

ANALISA DATA

4.1 Analisa Grafik

Setelah perhitungan diselesaikan sesuai langkah perhitungan pada bab 3, maka akan didapatkan hasil pada tabel lampiran sehingga dapat dibuat grafik hubungan antara bilangan Sherwood Stagnan Film dengan bilangan Sherwood analogi Ranz-Marshall dan Sherwood model analogi pendekatan baru. Sama halnya dalam mencari hubungan antara bilangan Nusselt Stagnan Film dengan analogi Ranz-Marshall dan model analogi pendekatan baru.

Untuk mengetahui pengaruh konsentrasi larutan terhadap laju penguapan dalam pengujian menggunakan media larutan gula kadar 1 % yang akan di bandingkan terhadap air murni aquades sehingga dapat diperlihatkan grafik pengaruh konsentrasi dalam laju penguapan. Pengujian dilakukan dalam kondisi yang berbeda yaitu dengan menggunakan AC dan tanpa menggunakan AC. Sehingga dalam grafik dapat diketahui pengaruh kelembaban udara terhadap laju penguapan. Pengaruh laju aliran terhadap penguapan dapat diketahui dalam grafik perbandingan antara laju aliran pada berbagai kecepatan udara.

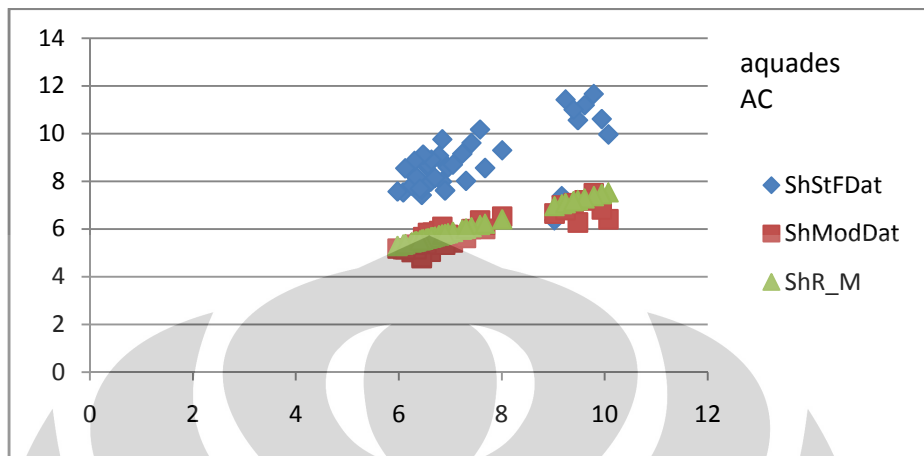
4.2 Analisa Perbandingan Grafik Antar Model

Berikut ini adalah hasil dalam bentuk grafik nilai bilangan Sherwood dan Nusselt berdasarkan antar model yang di teliti yaitu :

- Aquades AC
- Aquades Non-AC
- Larutan Gula 1% AC
- Larutan Gula 1% Non AC

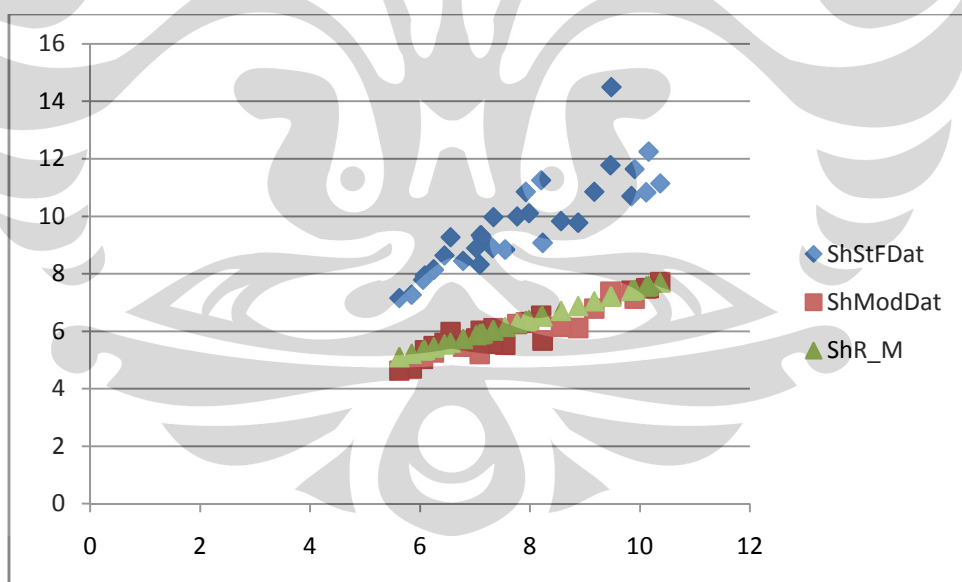
4.2.1 Grafik Bilangan Sherwood

1. Aquades pada kondisi AC



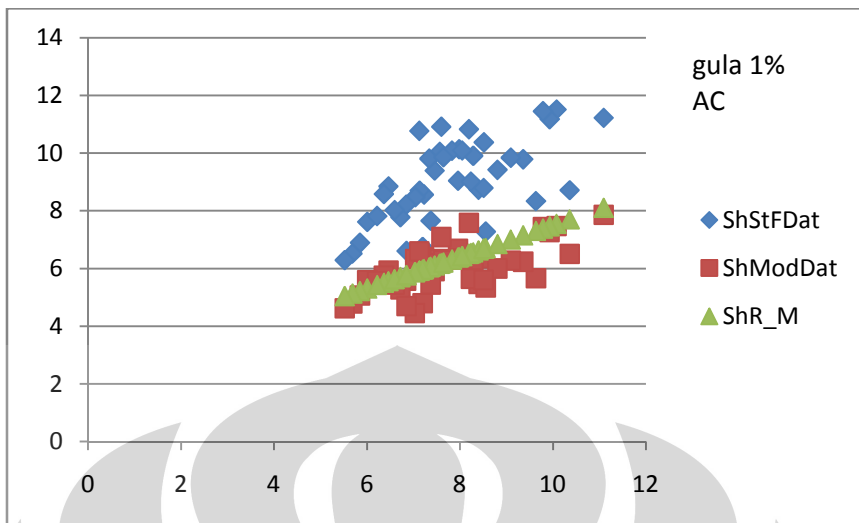
Gambar 4.1 Grafik Sh vs R-M Aquades pada kondisi AC

2. Aquades pada kondisi Non AC



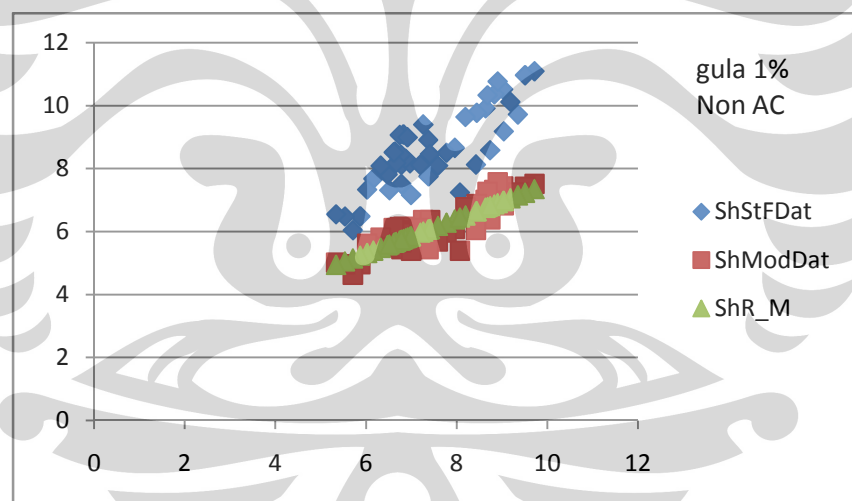
Gambar 4.2 Grafik Sh vs R-M Aquades pada kondisi Non AC

3. Larutan Gula 1% pada kondisi AC



Gambar 4.3 Grafik Sh vs R-M Larutan Gula 1% pada kondisi AC

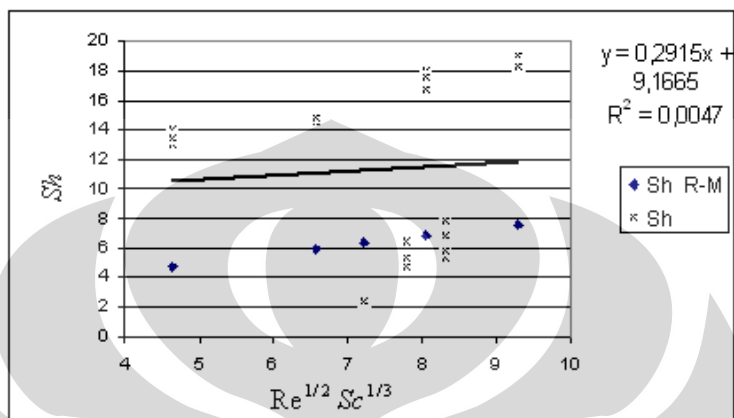
4. Larutan Gula1% pada kondisi Non AC



Gambar 4.4 Grafik Sh vs R-M Larutan Gula1% pada kondisi Non AC

Dari keseluruhan Grafik Bilangan Sherwood antar model yaitu Aquades dan larutan gula 1% bahwa nilai Sherwood stagnan film berada di atas dari Sherwood pers. Ranz-Marshall. Sebaliknya grafik hasil dari pendekatan baru berdekatan dengan persamaan Ranz_Marshall. Mengacu pada (Kosasih.EA, 2006) mempunyai korelasi yang kuat dengan persamaan Ranz_Marshall. Hal ini

membuktikan bahwa pendekatan yang dibuat oleh Kosasih E.A (2006) lebih baik dibandingkan dengan metode stagnan film. Namun tidak dapat dipungkiri bahwa nilai Sherwood modified tidak rapat dengan Sherwood ranz marshal. Hal ini mungkin diakibatkan kekurangan dari alat uji dan pengolahan data.

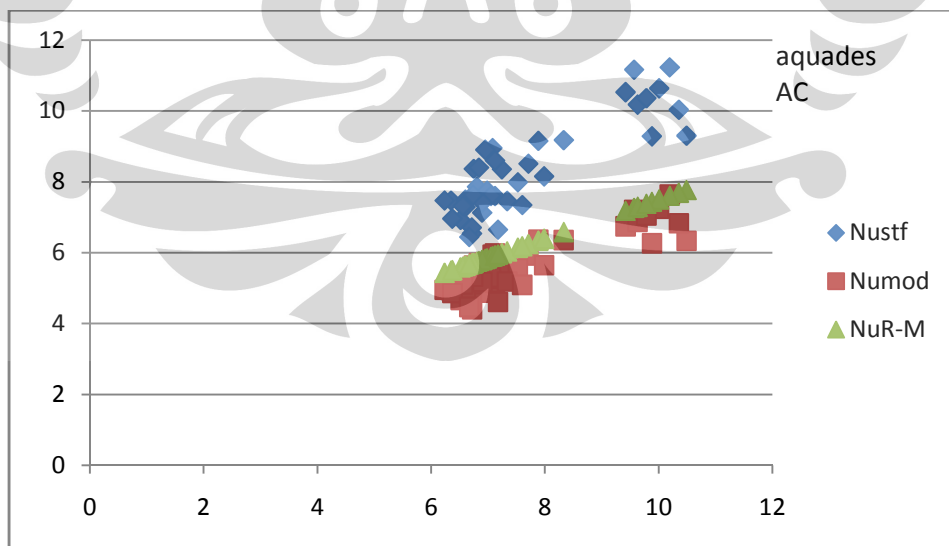


Gambar 4.5 Perbandingan Sh Ranz-Marshall dan Sh Data dari Walton (2004)
Terlihat juga bahwa data dari Walton juga berada di bawah garis, dan juga memperlihatkan korelasi yang sangat lemah.

4.2.2 Grafik Bilangan Nusselt

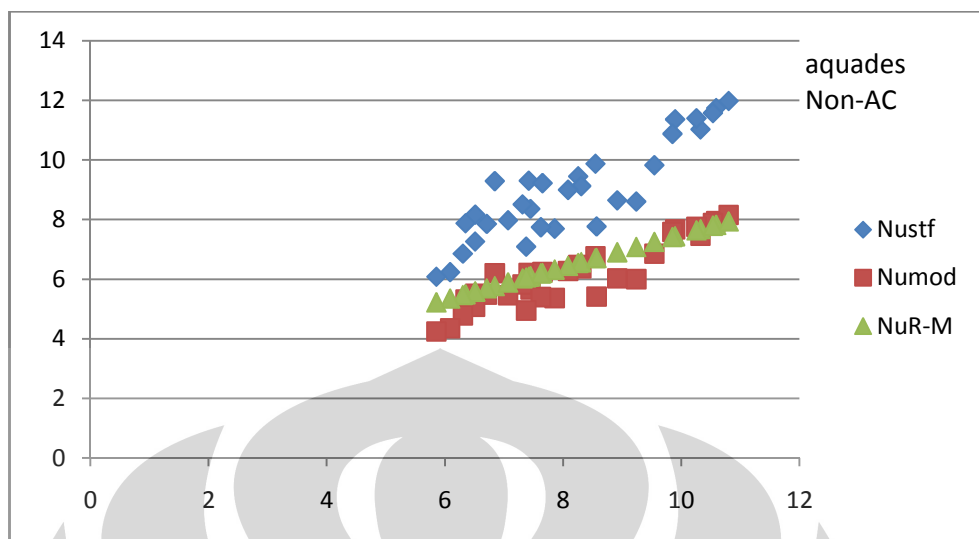
Untuk Bilangan Nusselt dari berbagai model diperoleh grafik sebagai berikut :

1. Aquades pada kondisi AC



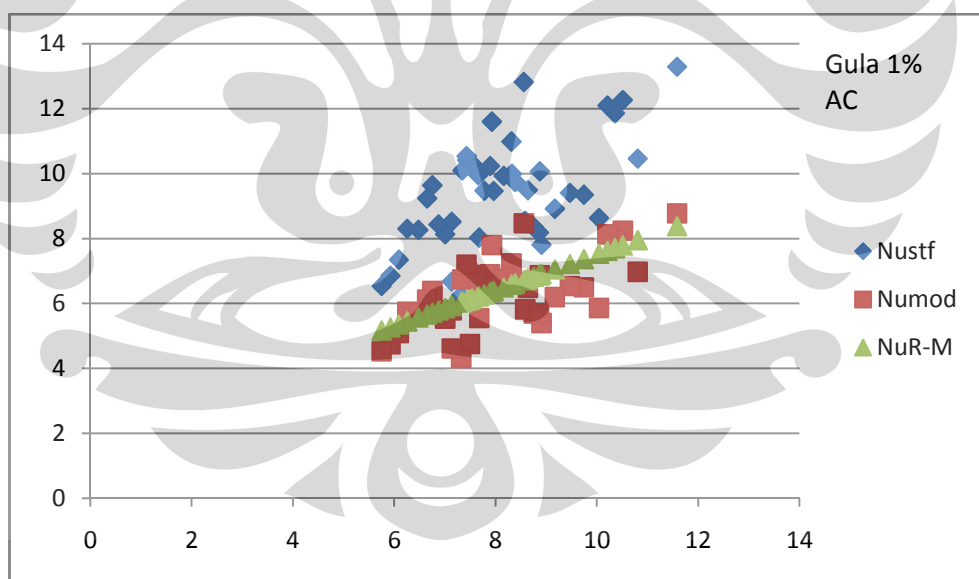
Gambar 4.6 Grafik Nu vs R-M Aquades pada kondisi AC

1. Aquades pada kondisi Non AC



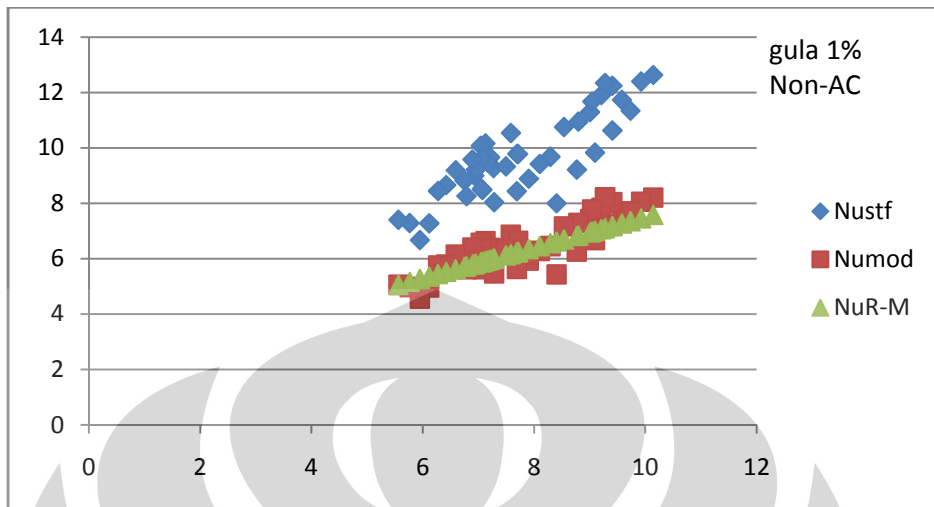
Gambar 4.7 Grafik Sh vs Nu Aquades pada kondisi Non AC

2. Larutan Gula 1% pada kondisi AC



Gambar 4.8 Grafik Sh vs Nu Larutan Gula 1% pada kondisi AC

3. Larutan Gula 1% pada kondisi Non AC



Gambar 4.9 Grafik Sh vs Nu Larutan Gula 1% pada kondisi Non AC

Terlihat pada grafik Aquades dan larutan gula 1% pada berbagai macam kondisi bahwa Nusselt stagnan film berada di atas dari Nusselt pers. Ranz-Marshall. Sebaliknya grafik Nusselt pendekatan baru mempunyai korelasi yang kuat dengan persamaan Ranz_Marshall. Hal ini membuktikan bahwa pendekatan yang dibuat oleh Kosasih E.A (2006) lebih baik dibandingkan dengan metode stagnan film

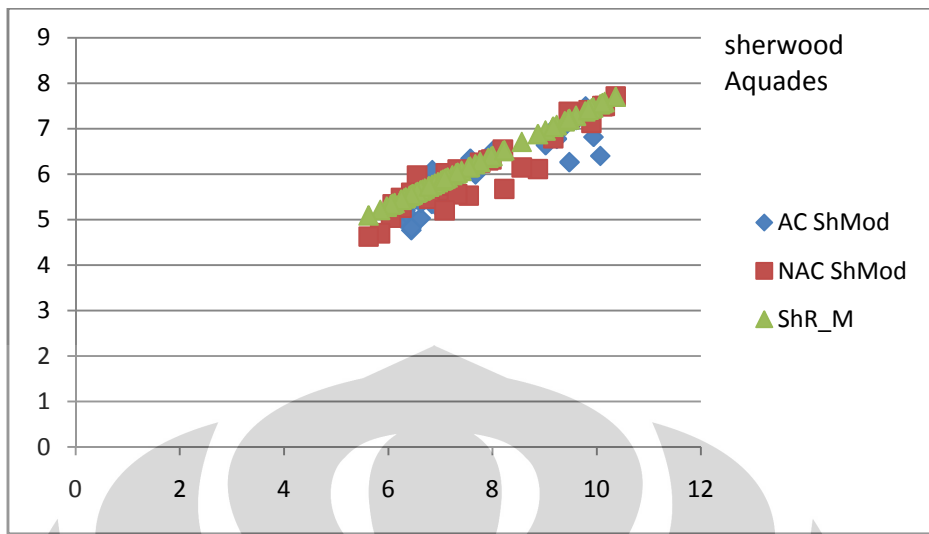
4.3 Analisa Perbandingan Grafik Berdasarkan Pengaruh kelembaban

Pada sub bab ini kami akan menampilkan grafik bilangan sherwood dan bilangan nusselt pada kondisi kelembaban yang divariasikan berdasarkan pendekatan stagnan film modified yang dilakukan oleh Kosasih E.A (2006).

4.3.1 Grafik Bilangan Sherwood

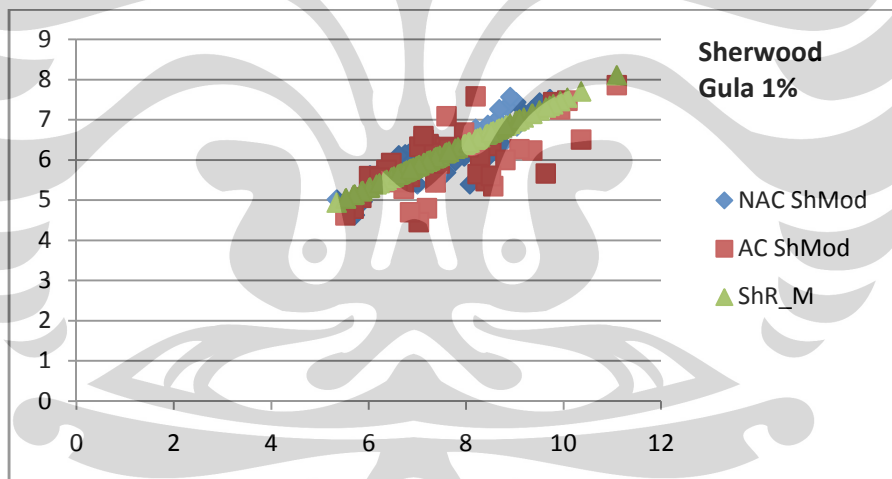
Berikut adalah grafik perbandingan nilai bilangan Sherwood pada kondisi kelembaban yang divariasikan :

1 Aquades



Gambar 4.10 Grafik Sh aquades ac &nac

2. Larutan Gula 1%



Gambar 4.11 Grafik Sh larutan gula 1% ac &nac

Dari keseluruhan grafik bilangan Sherwood diatas baik aquades maupun larutan gula 1% terlihat tidak ada perbedaan yang cukup signifikan, sehingga dapat disimpulkan bahwa kelembaban udara tidak memiliki pengaruh yang sangat signifikan pada peluruhan droplet.

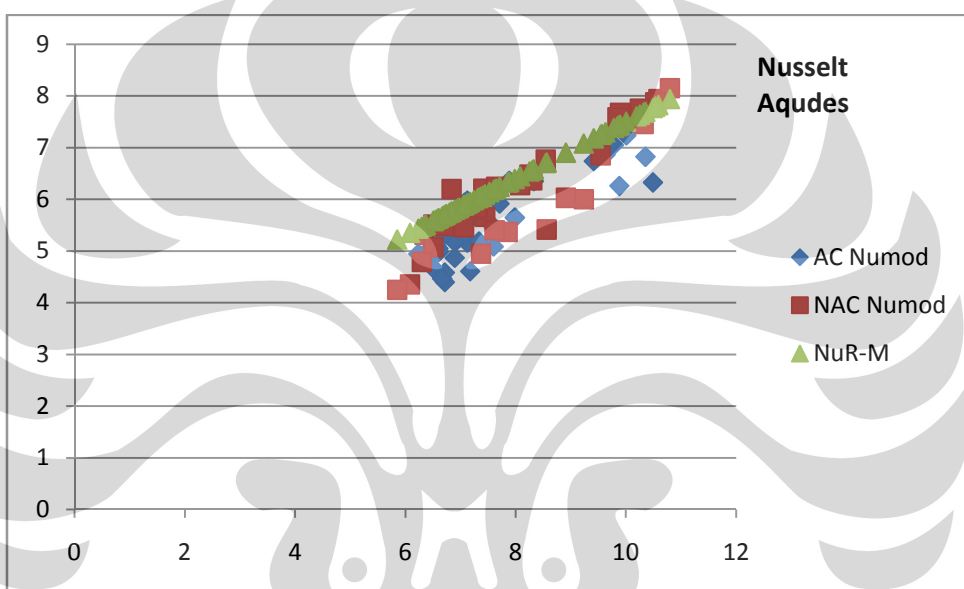
Pengaruh dari penurunan kelembaban udara pada penelitian akan berpengaruh kepada penurunan nilai perpindahan massanya (x_{∞}). Nilai x_{∞} ini akan berpengaruh untuk menghitung nilai koefisien perpindahan massa (kc).

Hubungan korelasinya adalah sebagai berikut, makin tinggi nilai k_c maka nilai Sherwood nya akan meningkat pula.

4.3.2 Grafik Bilangan Nusselt

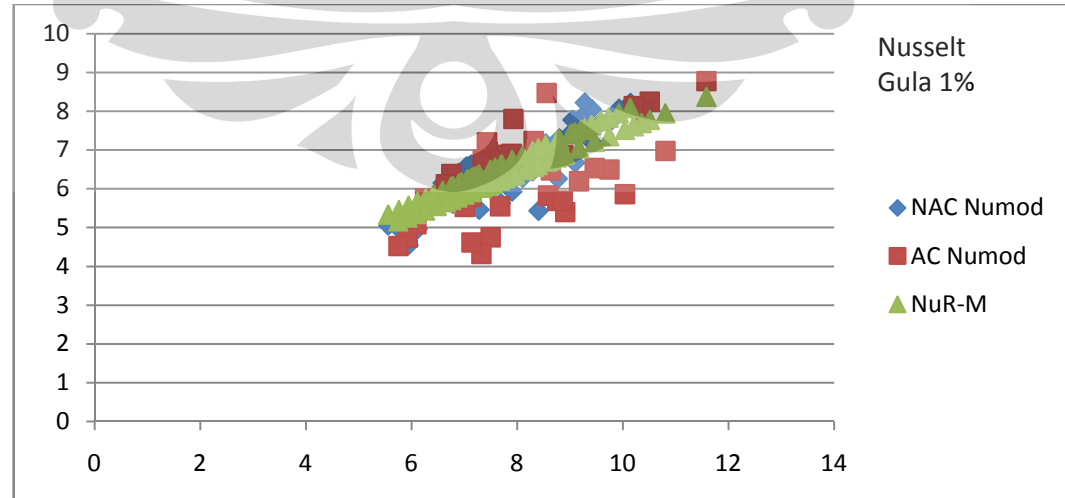
Berikut adalah grafik perbandingan nilai bilangan Nusselt pada kondisi kelembaban yang divariasikan.:

1. Aquades



Gambar 4.12 Grafik Nu larutan gula 1% ac &nac

2. Larutan Gula 1%



Gambar 4.13 Grafik Nu larutan gula 1% ac & nac

Dari keseluruhan grafik bilangan nusselt diatas baik aquades maupun larutan gula 1% terlihat tidak ada perbedaan yang cukup signifikan, sehingga dapat disimpulkan bahwa kelembaban udara tidak memiliki pengaruh yang sangat signifikan pada peluruhan droplet.

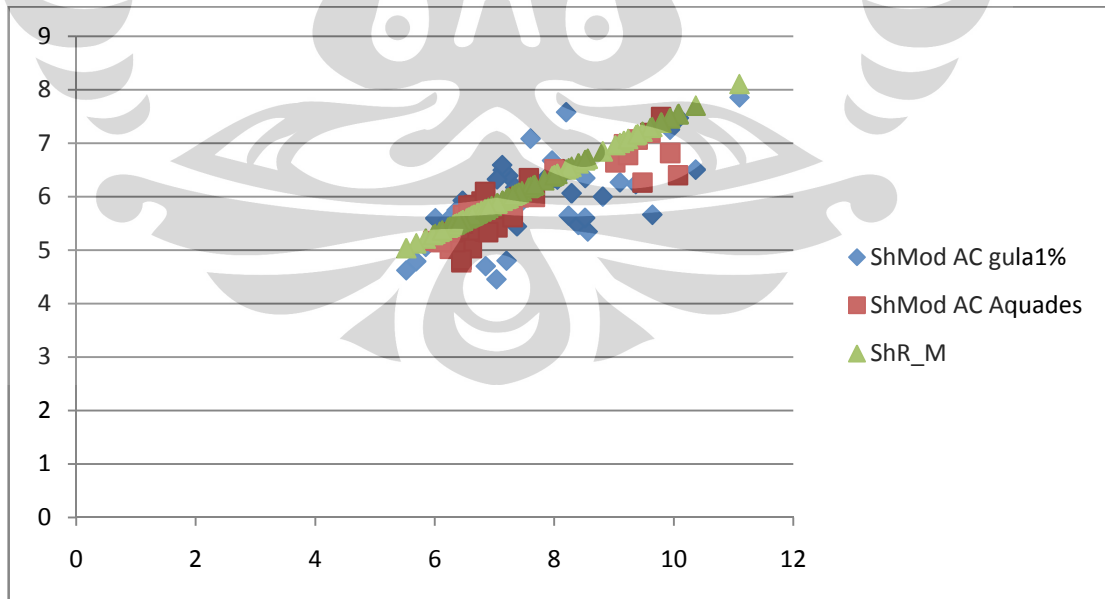
4.4 Analisa Perbandingan Grafik Berdasarkan Pengaruh konsentrasi

Pada sub bab ini kami akan menampilkan grafik bilangan sherwood dan bilangan nusselt pada kondisi konsentrasi yang divariasikan berdasarkan pendekatan stagnan film modified yang dilakukan oleh EngkosE.A (2006).

4.4.1 Grafik Bilangan Sherwood

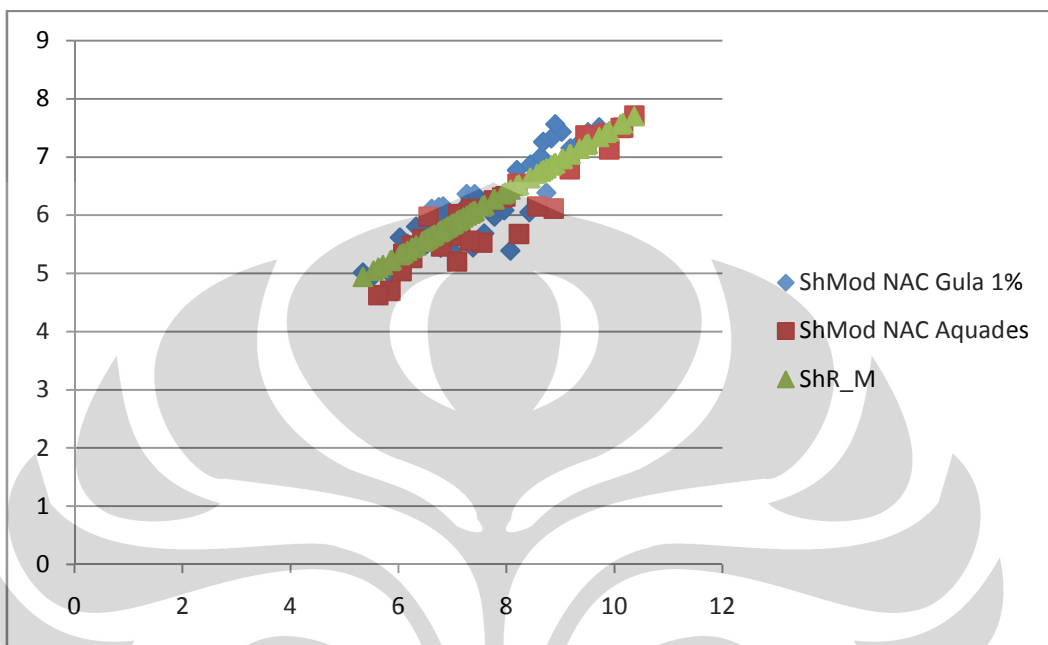
Berikut adalah grafik perbandingan nilai bilangan Sherwood pada kondisi konsentrasi yang divariasikan :

1. Aquades dan Larutan gula 1% pada kondisi AC



Gambar 4.14 Grafik Perbandingan Sh antar konsentrasi menggunakan ac

2. Aquades dan larutan gula 1% pada kondisi Non Ac



Gambar 4.15 Grafik Perbandingan Sh antar konsentrasi tanpa ac

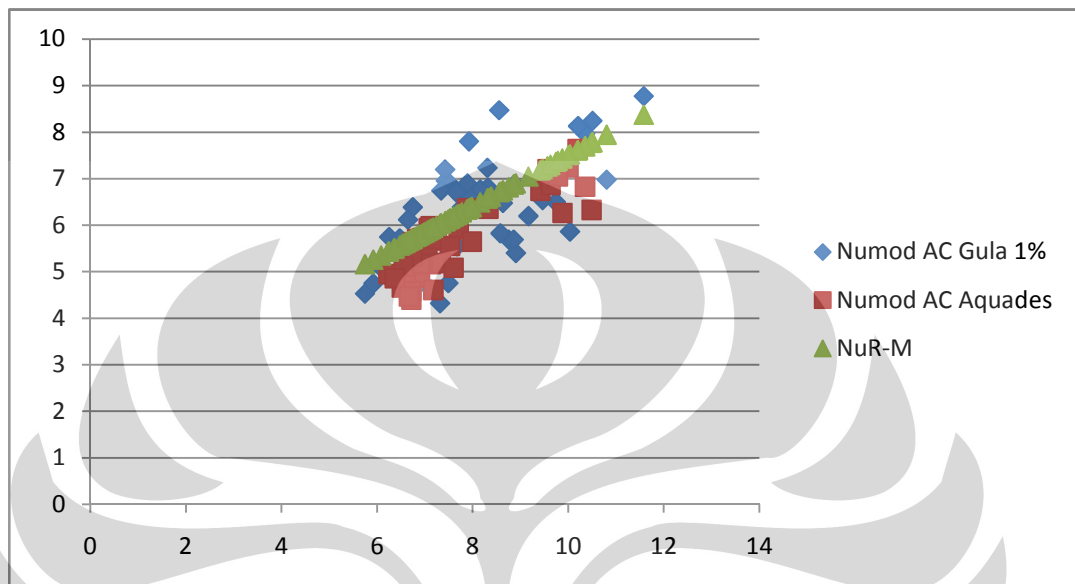
Dari kedua grafik diatas baik yang menggunakan Ac maupun Non Ac menampilkan nilai sherwood modified berada pada posisi yang sama, yaitu disekitar sherwood ranz-marshall. Hal ini juga membuktikan bahwa konsentrasi zat terlarut tidak mempengaruhi secara signifikan dari peluruhan droplet.

Pengaruh dari konsentrasi larutan pada penelitian akan berpengaruh kepada penurunan nilai tekanan uap jenuh yang akan mempengaruhi nilai fraksi mol uap pada tetesan (x_o). Nilai x_o ini akan berpengaruh untuk menghitung nilai koefisien konveksi massa (Kc). Hubungan korelasinya adalah sebagai berikut, makin tinggi nilai Kc maka nilai Sherwood nya akan meningkat pula

4.3.2 Grafik bilangan Nusselt

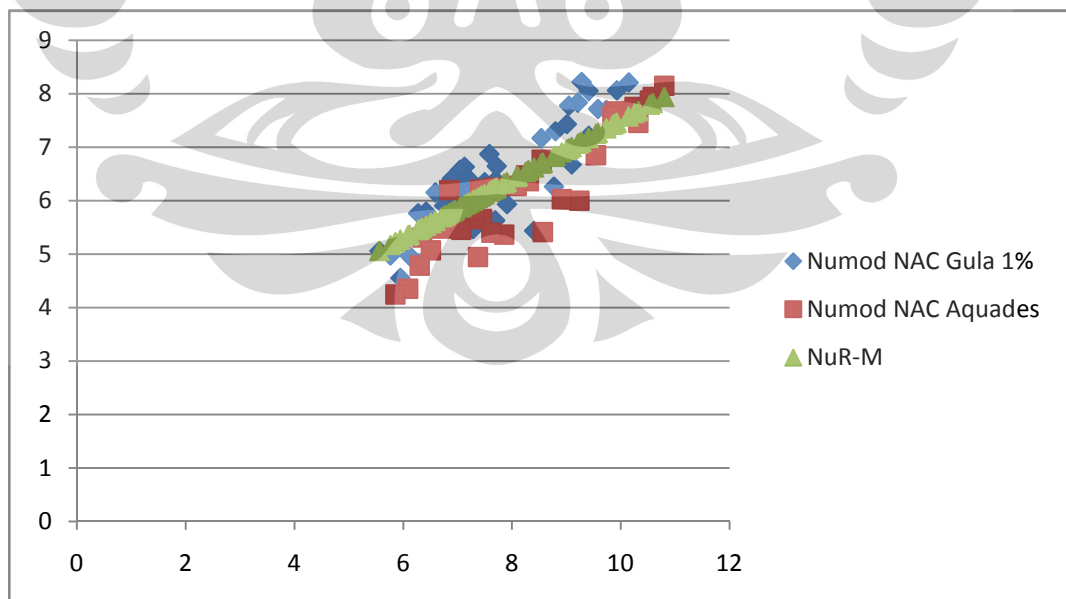
Berikut adalah grafik perbandingan nilai bilangan Nusselt pada kondisi konsentrasi yang divariasikan :

1. Aquades dan Gula 1% pada kondisi AC



Gambar 4.16 Grafik Perbandingan Nu antar konsentrasi menggunakan ac

2. Aquades dan Gula 1% pada kondisi Non AC



Gambar 4.17 Grafik Perbandingan Nu antar konsentrasi tanpa menggunakan ac

Dari kedua grafik diatas baik yang menggunakan Ac maupun Non Ac menampilkan nilai sherwood modified berada pada posisi yang sama, yaitu disekitar sherwood ranz-marshall. Hal ini juga membuktikan bahwa konsentrasi zat terlarut tidak mempengaruhi secara signifikan dari peluruhan droplet.

Konsentrasi tidak akan berpengaruh banyak terhadap perubahan nilai perpindahan panas (*heat transfer*). Kadar gula hanya berpengaruh pada penurunan tekanan uap jenuh.



BAB V

KESIMPULAN DAN SARAN

5.1 Kesimpulan

1. Model modifikasi lebih dekat dibanding dengan metode stagnan film terhadap Ranz-Marshall
2. Model modifikasi lebih kuat korelasinya dibanding dengan metode stagnan film
3. Konsentrasi dan kelembaban tidak berpengaruh terhadap nilai Sherwood dan Nusselt
4. Konsentrasi dan kelembaban berpengaruh terhadap laju penguapan.

5.2 Saran

1. Proses pengambilan gambar tetesan sebaiknya dilakukan dengan menggunakan remote atau dalam format video agar didapat gambar yang akurat, jelas dan tidak bergetar.
2. Dalam menentukan kecepatan aliran sangat berpengaruh pada alat ukurnya sehingga dibutuhkan alat ukur yang sangat mendukung yaitu alat ukur yang mampu bekerja pada temperature tinggi.
3. Ujung Termokopel sebaiknya tidak dililit terlalu banyak

DAFTAR ACUAN

- [1] J.P.Holman, *Perpindahan Kalor*, terj.E.Jasjfi (Jakarta: Erlangga, 1991) hal 11.
- [2] J.P.Holman, *Perpindahan Kalor*, terj.E.Jasjfi (Jakarta: Erlangga, 1991) hal 13.
- [3] Engkos A Kosasih, “Perpindahan Panas dan Massa Dalam Proses Penguapan Tetesan : Suatu Pendekatan Baru pada Model Film Stagnan”, *Disertasi*, Program Pasca Sarjana Bidang Ilmu Teknik, Fakultas Teknik UI, Depok, 2006, hal 50.
- [4] J.P.Holman, *Perpindahan Kalor*, terj.E.Jasjfi (Jakarta: Erlangga, 1991) hal 539.
- [5] J.P.Holman, *Perpindahan Kalor*, terj.E.Jasjfi (Jakarta: Erlangga, 1991) hal 534
- [6] J.P.Holman, *Perpindahan Kalor*, terj.E.Jasjfi (Jakarta: Erlangga, 1991) hal 194.
- [7] J.P.Holman, *Perpindahan Kalor*, terj.E.Jasjfi (Jakarta: Erlangga, 1991) hal 213.
- [8] J.P.Holman, *Perpindahan Kalor*, terj.E.Jasjfi (Jakarta: Erlangga, 1991) hal 541.
- [9] Engkos A Kosasih, “Perpindahan Panas dan Massa Dalam Proses Penguapan Tetesan : Suatu Pendekatan Baru pada Model Film Stagnan”, *Disertasi*, Program Pasca Sarjana Bidang Ilmu Teknik, Fakultas Teknik UI, Depok, 2006, hal 2.
- [10] Engkos A Kosasih, “Perpindahan Panas dan Massa Dalam Proses Penguapan Tetesan : Suatu Pendekatan Baru pada Model Film Stagnan”, *Disertasi*, Program Pasca Sarjana Bidang Ilmu Teknik, Fakultas Teknik UI, Depok, 2006, hal 12.

- [11] Engkos A Kosasih, “Perpindahan Panas dan Massa Dalam Proses Penguapan Tetesan : Suatu Pendekatan Baru pada Model Film Stagnan”, *Disertasi*, Program Pasca Sarjana Bidang Ilmu Teknik, Fakultas Teknik UI, Depok, 2006, hal 40.
- [12] Engkos A Kosasih, “Perpindahan Panas dan Massa Dalam Proses Penguapan Tetesan : Suatu Pendekatan Baru pada Model Film Stagnan”, *Disertasi*, Program Pasca Sarjana Bidang Ilmu Teknik, Fakultas Teknik UI, Depok, 2006, hal 52.
- [13] Henry Nasution, *Bab II Psikometrik*, hal 1. Diakses 21 Mei 2007, dari www.he4si.com/Pendingin/BAB2.pdf.
- [14] William C. Reynolds, Henry Perkins, *Termodinamika Teknik*, terj. Filino Harahap (Jakarta: Erlangga, 1991) hal 40.
- [15] William C. Reynolds, Henry Perkins, *Termodinamika Teknik*, terj. Filino Harahap (Jakarta: Erlangga, 1991) hal 356.
- [16] William C. Reynolds, Henry Perkins, *Termodinamika Teknik*, terj. Filino Harahap (Jakarta: Erlangga, 1991) hal 86.
- [17] J.P.Holman, *Perpindahan Kalor*, terj. E.Jasjfi (Jakarta: Erlangga, 1991) hal 201.
- [18] Temokopel. Diakses tanggal 1 Juni 2009, dari <http://id.wikipedia.org/wiki/Termokopel>

DAFTAR PUSTAKA

Bennett C.O., Myers J.E. *Momentum, Heat and Mass Transfer*, (New York: McGraw Hill, 1982)

Cengel, Yunus A., Michael A.Boles, *Thermodynamics An Engineering Approach*, (New York : McGraw Hill, 1994)

“Garam (kimia)”. [http://id.wikipedia.org/wiki/Garam_\(kimia\)](http://id.wikipedia.org/wiki/Garam_(kimia)). Diakses tanggal 5 Juni 2009.

Henry Nasution, *Bab II Psikometrik*, hal 1. Diakses 1 Juni 2009, dari www.he4si.com/Pendingin/BAB2.pdf

Holman, J.P., *Experimental Methods for Engineers*, (Singapore : McGraw Hill, 2001)

Holman , J.P., *Perpindahan Kalor*, terj.E.Jasjfi (Jakarta: Erlangga, 1991).

Incropera, Frank P., David P. De Witt, *Fundamentals of Heat and Mass Transfer*, (New York: John Wiley & Sons, 1996).

Kosasih, EA., “Perpindahan Panas dan Massa Dalam Proses Penguapan Tetesan : Suatu Pendekatan Baru pada Model Film Stagnan”, Sinopsis Disertasi, Program Pasca Sarjana Bidang Ilmu Teknik, Fakultas Teknik UI, Depok, 2006

Reynolds, William C., Henry Perkins, *Termodinamika Teknik*, terj.Filino Harahap (Jakarta: Erlangga, 1991).

LAMPIRAN 1 PSYCHROMETRIC CHART

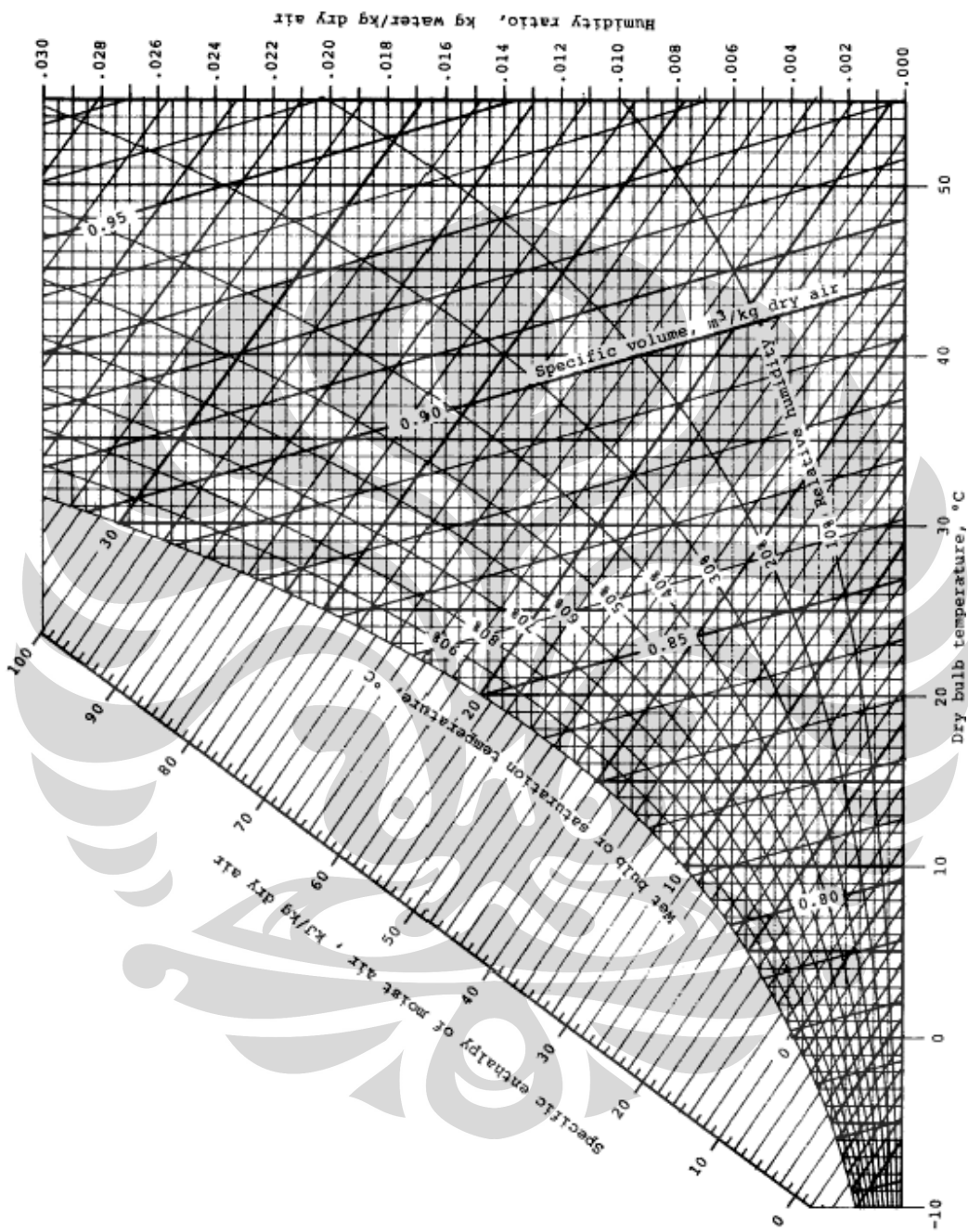


Figure A-9 Psychrometric chart for 1 atm (SI units). *Source:* Z. Zhang and M. B. Pate, "A Methodology for Implementing a Psychrometric Chart in a Computer Graphics System," *ASHRAE Transactions*, Vol. 94, Pt. 1, 1988.

LAMPIRAN 2

TABEL SIFAT UDARA PADA TEKANAN ATMOSFER

Sifat-sifat Udara pada Tekanan Atmosfer[†]

Nilai μ , k , c_p , dan \Pr tidak terlalu bergantung pada tekanan dan dapat digunakan untuk rentang tekanan yang cukup luas.

$T, \text{ K}$	ρ kg/m^3	$c_p,$ $\text{kJ/kg} \cdot {}^\circ\text{C}$	$\mu,$ $\text{kg/m} \cdot \text{s}$ $\times 10^5$	$\nu,$ m^2/s $\times 10^6$	$k,$ $\text{W/m} \cdot {}^\circ\text{C}$	$\alpha,$ m^2/s $\times 10^4$	\Pr
100	3.6010	1.0266	0.6924	1.923	0.009246	0.02501	0.770
150	2.3675	1.0099	1.0283	4.343	0.013735	0.05745	0.753
200	1.7684	1.0061	1.3289	7.490	0.01809	0.10165	0.739
250	1.4128	1.0053	1.5990	11.31	0.02227	0.15675	0.722
300	1.1774	1.0057	1.8462	15.69	0.02624	0.22160	0.708
350	0.9980	1.0090	2.075	20.76	0.03003	0.2983	0.697
400	0.8826	1.0140	2.286	25.90	0.03365	0.3760	0.689
450	0.7833	1.0207	2.484	31.71	0.03707	0.4222	0.683
500	0.7048	1.0295	2.671	37.90	0.04038	0.5564	0.680
550	0.6423	1.0392	2.848	44.34	0.04360	0.6532	0.680
600	0.5879	1.0551	3.018	51.34	0.04659	0.7512	0.680
650	0.5430	1.0635	3.177	58.51	0.04953	0.8578	0.682
700	0.5030	1.0752	3.332	66.25	0.05230	0.9672	0.684
750	0.4709	1.0856	3.481	73.91	0.05509	1.0774	0.686
800	0.4405	1.0978	3.625	82.29	0.05779	1.1951	0.689
850	0.4149	1.1095	3.765	90.75	0.06028	1.3097	0.692
900	0.3925	1.1212	3.899	99.3	0.06279	1.4271	0.696
950	0.3716	1.1321	4.023	108.2	0.06525	1.5510	0.699
1000	0.3524	1.1417	4.152	117.8	0.06752	1.6779	0.702
1100	0.3204	1.160	4.44	138.6	0.0732	1.969	0.704
1200	0.2947	1.179	4.69	159.1	0.0782	2.251	0.707
1300	0.2707	1.197	4.93	182.1	0.0837	2.583	0.705
1400	0.2515	1.214	5.17	205.5	0.0891	2.920	0.705
1500	0.2355	1.230	5.40	229.1	0.0946	3.262	0.705
1600	0.2211	1.248	5.63	254.5	0.100	3.609	0.705
1700	0.2082	1.267	5.85	280.5	0.105	3.977	0.705
1800	0.1970	1.287	6.07	308.1	0.111	4.379	0.704
1900	0.1858	1.309	6.29	338.5	0.117	4.811	0.704
2000	0.1762	1.338	6.50	369.0	0.124	5.260	0.702
2100	0.1682	1.372	6.72	399.6	0.131	5.715	0.700
2200	0.1602	1.419	6.93	432.6	0.139	6.120	0.707
2300	0.1538	1.482	7.14	464.0	0.149	6.540	0.710
2400	0.1458	1.574	7.35	504.0	0.161	7.020	0.718
2500	0.1394	1.688	7.57	543.5	0.175	7.441	0.730

[†] Dari Natl. Bur. Stand (U. S.) Circ. 564, 1965

LAMPIRAN 3

TABEL EMISSIVITAS PERMUKAAN

Surface	Temperature, °F	Emissivity
Polished aluminum	73	0.040
Polished copper	242	0.023
Polished iron	800–1800	0.144–0.377
Cast iron, newly turned	72	0.435
Oxidized iron	212	0.736
Asbestos board	74	0.96
Red brick	70	0.93
Sixteen different oil paints, all colors	212	0.92–0.96
Water	32–212	0.95–0.963

LAMPIRAN 4

TABEL SIFAT AIR JENUH - 1

Temp. °C <i>T</i>	Sat. Specific volume m ³ /kg			Internal energy kJ/kg			Enthalpy kJ/kg			Entropy kJ/(kg · K)		
	Sat. Temp. °C <i>T</i>	press. kPa <i>P_{sat}</i>	Sat. liquid <i>v_f</i>	Sat. vapor <i>v_g</i>	Sat. liquid <i>u_f</i>	Evap. <i>u_{f2}</i>	Sat. vapor <i>u_g</i>	Sat. liquid <i>h_f</i>	Evap. <i>h_{f2}</i>	Sat. vapor <i>h_g</i>	Sat. liquid <i>s_f</i>	Evap. <i>s_{f2}</i>
0.01	0.6113	0.001000	205.14	0.0	2375.3	2375.3	0.01	2501.3	2501.4	0.000	9.1562	9.1562
5	0.6721	0.001003	147.12	20.97	2361.3	2382.3	20.98	2489.6	2510.6	0.0761	8.9496	9.0257
10	1.2276	0.001000	108.00	42.00	2347.2	2389.2	42.01	2477.7	2510.8	0.1510	8.7495	8.0038
15	1.7061	0.001001	77.93	62.99	2333.1	2390.1	62.99	2465.9	2528.9	0.2248	8.5500	8.7814
20	2.339	0.001002	57.79	83.05	2319.0	2402.9	83.05	2454.1	2538.1	0.2900	8.3706	8.6672
25	3.109	0.001003	43.36	104.85	2304.8	2409.0	104.85	2442.3	2547.2	0.3674	8.1905	8.8580
30	4.246	0.001004	32.89	125.78	2290.8	2416.6	125.79	2430.5	2566.3	0.4363	8.0164	8.4533
35	5.626	0.001000	25.22	146.67	2276.7	2423.4	146.68	2410.6	2565.3	0.5053	7.8478	8.2531
40	7.364	0.001008	19.52	167.56	2262.6	2430.1	167.57	2406.7	2574.3	0.5725	7.6045	8.2370
45	9.593	0.001010	15.26	188.44	2248.4	2436.8	188.45	2394.6	2583.2	0.6387	7.5261	8.1048
50	12.349	0.001012	12.03	208.32	2244.2	2443.5	208.33	2382.7	2502.1	0.7038	7.3725	8.0763
55	16.756	0.001015	9.568	230.21	2219.9	2450.1	230.23	2370.7	2600.9	0.7879	7.2234	7.0913
60	19.940	0.001017	7.671	251.11	2206.6	2486.6	251.13	2355.5	2609.6	0.8812	7.0784	7.9090
65	25.03	0.001020	6.197	272.02	2191.1	2463.1	272.06	2346.2	2610.3	0.8935	6.9375	7.8310
70	31.10	0.001023	5.042	292.95	2176.6	2469.6	292.99	2333.8	2626.8	0.9549	6.8004	7.7553
75	38.58	0.001026	4.131	313.90	2162.0	2475.9	313.93	2321.4	2635.3	1.0155	6.6669	7.6824
80	47.39	0.001029	3.407	334.85	2147.4	2482.2	334.91	2308.8	2643.7	1.0753	6.5369	7.6122
85	57.63	0.001033	2.825	355.84	2132.6	2498.4	355.90	2296.0	2651.9	1.1343	6.4102	7.5445
90	70.14	0.001036	2.361	376.85	2117.7	2494.6	376.92	2289.2	2660.1	1.1925	6.2866	7.4701
95	84.55	0.001040	1.962	397.88	2102.7	2500.6	397.95	2270.2	2669.1	1.2500	6.1659	7.4153
	Sat. pres. MPa											
100	0.10155	0.001044	1.6729	418.94	2057.6	2500.6	419.04	2257.0	2676.1	1.3069	6.0480	7.3549
105	0.12082	0.001045	1.4194	440.02	2072.3	2512.4	440.15	2243.7	2683.8	1.3830	5.9328	7.2958
110	0.14327	0.001052	1.2102	461.14	2057.0	2518.1	461.30	2230.2	2691.5	1.4155	5.8202	7.2387
115	0.16906	0.001056	1.0360	482.30	2041.4	2523.7	482.48	2216.5	2699.0	1.4734	5.7100	7.1833
120	0.19853	0.001060	0.8919	503.50	2025.8	2529.3	503.71	2202.5	2700.3	1.5276	5.6020	7.1295
125	0.23021	0.001065	0.7706	524.74	2008.9	2534.6	524.99	2185.5	2713.5	1.5813	5.4962	7.0775
130	0.27001	0.001070	0.6685	546.02	1993.9	2539.9	546.31	2174.2	2720.5	1.6344	5.3925	7.0269
135	0.31330	0.001075	0.5822	567.35	1977.2	2545.0	567.69	2169.6	2727.3	1.6870	5.2907	6.9777
140	0.36113	0.001080	0.5089	588.74	1961.3	2550.0	589.13	2144.7	2733.0	1.7391	5.1908	6.9299
145	0.41545	0.001085	0.4463	610.18	1944.7	2554.0	610.63	2129.6	2740.3	1.7907	5.0025	6.8683
150	0.47558	0.001091	0.3928	631.68	1927.9	2559.5	632.20	2114.3	2746.6	1.8418	4.9960	6.8379
155	0.54311	0.001096	0.3465	653.24	1910.8	2564.1	653.84	2096.6	2752.4	1.8925	4.9010	6.7935
160	0.61766	0.001102	0.3071	674.87	1893.5	2569.4	675.55	2082.6	2758.1	1.9427	4.8075	6.7502
165	0.70053	0.001108	0.2727	695.56	1876.0	2572.5	697.34	2066.2	2763.5	1.9925	4.7153	6.7078
170	0.79177	0.001114	0.2428	716.33	1858.1	2576.5	716.21	2049.5	2760.7	2.0119	4.6244	6.6563
175	0.89200	0.001121	0.2168	740.17	1840.0	2580.2	741.17	2032.4	2773.0	2.0909	4.5347	6.6256
180	1.00211	0.001127	0.19405	762.09	1821.6	2593.7	763.22	2015.0	2776.2	2.1306	4.4461	6.5857
185	1.12227	0.001134	0.17409	784.10	1802.9	2597.0	785.37	1997.1	2772.4	2.1879	4.3566	6.5465
190	1.25444	0.001141	0.15654	806.19	1783.8	2599.0	807.62	1978.6	2786.4	2.2359	4.2720	6.5079
195	1.3978	0.001149	0.14105	828.37	1764.4	2592.0	829.98	1960.0	2790.0	2.2835	4.1663	6.4688

LAMPIRAN 5

TABEL SIFAT AIR JENUH - 2

Table A.8 Properties of water [saturated liquid] (SI units)[†]

°F	°C	c_p , kJ/kg · °C	ρ , kg/m ³	μ , kg/m · s	k , W/m · °C	Pr	$g\beta\rho^2c_p/\mu k$ 1/m ³ · °C
32	0	4.225	999.8	1.79×10^{-3}	0.566	13.25	
40	4.44	4.208	999.8	1.55	0.575	11.35	1.91×10^9
50	10	4.195	999.2	1.31	0.585	9.40	6.34×10^9
60	15.56	4.186	998.6	1.12	0.595	7.88	1.08×10^{10}
70	21.11	4.179	997.4	9.8×10^{-4}	0.604	6.78	1.46×10^{10}
80	26.67	4.179	995.8	8.6	0.614	5.85	1.91×10^{10}
90	32.22	4.174	994.9	7.65	0.623	5.12	2.48×10^{10}
100	37.78	4.174	993.0	6.82	0.630	4.53	3.3×10^{10}
110	43.33	4.174	990.6	6.16	0.637	4.04	4.19×10^{10}
120	48.89	4.174	988.8	5.62	0.644	3.64	4.89×10^{10}
130	54.44	4.179	985.7	5.13	0.649	3.30	5.66×10^{10}
140	60	4.179	983.3	4.71	0.654	3.01	6.48×10^{10}
150	65.55	4.183	980.3	4.3	0.659	2.73	7.62×10^{10}
160	71.11	4.186	977.3	4.01	0.665	2.53	8.84×10^{10}
170	76.67	4.191	973.7	3.72	0.668	2.33	9.85×10^{10}
180	82.22	4.195	970.2	3.47	0.673	2.16	1.09×10^{11}
190	87.78	4.199	966.7	3.27	0.675	2.03	
200	93.33	4.204	963.2	3.06	0.678	1.90	
220	104.4	4.216	955.1	2.67	0.684	1.66	
240	115.6	4.229	946.7	2.44	0.685	1.51	
260	126.7	4.250	937.2	2.19	0.685	1.36	
280	137.8	4.271	928.1	1.98	0.685	1.24	
300	148.9	4.296	918.0	1.86	0.684	1.17	
350	176.7	4.371	890.4	1.57	0.677	1.02	
400	204.4	4.467	859.4	1.36	0.665	1.00	
450	232.2	4.585	825.7	1.20	0.646	0.85	
500	260	4.731	785.2	1.07	0.616	0.83	
550	287.7	5.024	735.5	9.51×10^{-3}			
600	315.6	5.703	678.7	8.68			

[†]Converted from A. I. Brown and S. M. Marco, *Introduction to Heat Transfer*, 3d ed., McGraw-Hill, New York, 1958.



LAMPIRAN 6

HASIL KALKULASI DATA Gula 1% NAC

Suhu	Frekuenzi (Hz)	Diameter Rata2 (Pixel) (meter)	Peluruan dd/dt [px/s]	tu [C]	td [C]	T ^o	v [m/s]	p0	p0A	nfg	x0	Xirf	Rx	C1	tct=kc/kcL	rud	alfa	dva	rhol	cp	k	Pr	Sc
50-7	7	399 0.002394	0.4	49	26	310.5	0.395460323	3359.77	3356.3797	2440154	0.033125	0.016419	0.017278	-0.00846	1.430954	1.6719E-05	2.35E-05	2.678E-05	1.1342707	1003.2024	0.02691	0.7106	0.6243
	7	367 0.002122	0.4	49	26	310.5	0.395460323	3179.77	3176.3797	2440154	0.033125	0.016419	0.017278	-0.00846	1.430954	1.6719E-05	2.35E-05	2.678E-05	1.1342707	1003.2024	0.02691	0.7106	0.6243
50-10	10	466 0.002796	0.3/0.03/0.3	49	27	311	0.520151565	3553.7	3560.1039	2437/89	0.035125	0.0171505	0.0182/2	-0.00642	1.342601	1.6767E-05	2.35E-05	2.686E-05	1.1324471	1003.2301	0.02694	0.7105	0.6244
50-15	15	194 0.002954	0.395651724	49	27	311	0.520151565	3653.7	3560.1039	2437/89	0.036133	0.01843/	0.01731	-0.00736	1.416721	1.6767E-05	2.35E-05	2.686E-05	1.1324471	1003.2301	0.02694	0.7105	0.6244
	15	431.25 0.002888	0.421875	49	27	311	0.978213673	3553.7	3560.1039	2437/89	0.035135	0.01843/	0.01731	-0.00736	1.416721	1.6767E-05	2.35E-05	2.686E-05	1.1324471	1003.2301	0.02694	0.7105	0.6244
75-5	7	407.5 0.002745	0.714205714	74	32	326.5	0.978213673	5020.97	5020.8954	2423/75	0.049502	0.016419	0.00403/	-0.01157	1.317271	1.8206E-05	2.30E-05	2.924E-05	1.0793062	1003.1733	0.02600	0.7089	0.6254
	7	446.76 0.002687	0.71876	74	32	326.5	0.487465207	5020.97	5023.8954	2423/75	0.049502	0.016419	0.00403/	-0.01157	1.317271	1.8286E-05	2.30E-05	2.924E-05	1.0793062	1003.1733	0.02600	0.7089	0.6254
	136	0.002631	0.76	74	32	326.5	0.487465207	5020.97	5023.8954	2423/75	0.049502	0.016419	0.00403/	-0.01157	1.317271	1.8286E-05	2.30E-05	2.924E-05	1.0793062	1003.1733	0.02600	0.7089	0.6254
75-10	10	456.25 0.002738	0.675	72	32	326	0.518833951	4753.5	4748.7033	2425/48	0.046366	0.01967	0.028634	0.01658	1.557082	1.8138E-05	2.36E-05	2.901E-05	1.0836648	1003.0749	0.02797	0.7091	0.6253
	10	443 0.002658	0.66	72	32	326	0.518833951	4753.5	4748.7033	2425/48	0.046366	0.01967	0.028634	0.01658	1.557082	1.8138E-05	2.36E-05	2.901E-05	1.0836648	1003.0749	0.02797	0.7091	0.6253
	129.5	0.002577	0.7	72	32	326	0.518833951	4753.6	4748.7033	2425/48	0.046366	0.01967	0.028634	0.01658	1.557082	1.8138E-05	2.36E-05	2.901E-05	1.0836648	1003.0749	0.02797	0.7091	0.6253
75-15	15	407.25 0.002752	0.75	72	32	326	0.518833951	4753.5	4748.7033	2425/48	0.046366	0.01967	0.028634	0.01658	1.516301	1.8107E-05	2.36E-05	2.901E-05	1.0793064	1003.0749	0.02797	0.7091	0.6253
	148	0.002638	0.8125	72	32	326	0.937543037	4753.5	4748.7033	2425/48	0.046366	0.01967	0.028634	0.01658	1.516301	1.8138E-05	2.36E-05	2.901E-05	1.0836648	1003.0749	0.02797	0.7091	0.6253
	143	0.002651	0.8125	72	32	326	0.937543037	4753.5	4748.7033	2425/48	0.046366	0.01967	0.028634	0.01658	1.516301	1.8138E-05	2.36E-05	2.901E-05	1.0836648	1003.0749	0.02797	0.7091	0.6253
	142.25	0.002535	0.857142857	72	32	326	0.937543037	4753.5	4748.7033	2425/48	0.046366	0.01967	0.028634	0.01658	1.516301	1.8138E-05	2.36E-05	2.901E-05	1.0836648	1003.0749	0.02797	0.7091	0.6253
100-7	7	445.5 0.002673	1	99	77	341	0.937143037	6274.09	6267.7509	2414/66	0.061700	0.016419	0.040476	-0.02216	1.416703	1.9742E-05	2.79E-05	3.17E-05	1.0207103	1010.2032	0.02512	0.7074	0.6257
	431	0.002536	1.01/85/743	99	37	341	0.430075081	6274.09	6267.5889	2414/66	0.061700	0.016419	0.040476	-0.02216	1.436783	1.9712E-05	2.79E-05	3.15E-05	1.0326183	1010.2032	0.02512	0.7074	0.6257
	416.5	0.002493	1	99	37	341	0.430075081	6274.09	6267.7589	2414/66	0.061700	0.016419	0.040476	-0.02216	1.436783	1.9742E-05	2.79E-05	3.15E-05	1.0326183	1010.2032	0.02512	0.7074	0.6257
100-10	10	401 0.002756	1.0265	95	30	330.5	0.430570581	5940.15	5934.1609	2415/44	0.050506	0.01967	0.04316	-0.02500	1.601500	1.9400E-05	2.75E-05	3.11E-05	1.0404642	1010.0155	0.02094	0.7077	0.6257
	444	0.002654	1.0626	95	36	338.5	0.725195315	5940.15	5934.1659	2415/44	0.058566	0.01967	0.04316	-0.02500	1.601568	1.9488E-05	2.76E-05	3.11E-05	1.0404462	1010.0165	0.02694	0.7077	0.6257
	420.5	0.002623	1.071128571	95	36	338.5	0.725195315	5910.15	5934.1659	2415/44	0.058566	0.01967	0.04316	-0.02500	1.601568	1.9488E-05	2.76E-05	3.11E-05	1.0404462	1010.0165	0.02694	0.7077	0.6257
100-15	15	390.25 0.002342	1.203333333	95	36	338.5	0.775195315	5940.15	5934.1659	2415/44	0.058566	0.019743	0.0423	-0.02475	1.554568	1.9488E-05	2.75E-05	3.11E-05	1.0404462	1010.0155	0.02694	0.7077	0.6257
	375.5	0.002253	1.25	95	36	338.5	0.725195315	5940.15	5934.1659	2415/44	0.058566	0.019743	0.0423	-0.02475	1.554568	1.9488E-05	2.75E-05	3.11E-05	1.0404462	1010.0155	0.02694	0.7077	0.6257
	351.25	0.002158	1.125	95	36	338.5	0.857723219	5940.15	5934.1659	2415/44	0.058566	0.019743	0.0423	-0.02475	1.554568	1.9488E-05	2.75E-05	3.11E-05	1.0404462	1010.0155	0.02694	0.7077	0.6257
	347.25	0.002084	1.203333333	95	36	338.5	0.857723219	5940.15	5934.1659	2415/44	0.058566	0.019743	0.0423	-0.02475	1.554568	1.9488E-05	2.75E-05	3.11E-05	1.0404462	1010.0155	0.02694	0.7077	0.6257
	331.5	0.002019	1.413666667	95	36	338.5	0.857723219	5940.15	5934.1659	2415/44	0.058566	0.019743	0.0423	-0.02475	1.554568	1.9488E-05	2.75E-05	3.11E-05	1.0404462	1010.0155	0.02694	0.7077	0.6257
150-7	7	432.5 0.002535	1.665666666	144	45	351.5	0.857723219	5952.23	5952.6101	2394/45	0.054444	0.016217	0.086422	-0.03	1.30628	2.2486E-05	3.19E-05	3.597E-05	0.956343	1012.4539	0.03096	0.7048	0.6252
	411.5	0.002459	1.833333333	144	45	351.5	0.415611503	5952.23	5952.6101	2394/45	0.054444	0.016217	0.086422	-0.03	1.30628	2.2486E-05	3.19E-05	3.597E-05	0.956343	1012.4539	0.03096	0.7048	0.6252
	390	0.002324	1.75	144	45	351.5	0.44961509	5952.23	5952.6101	2394/45	0.054444	0.016217	0.086422	-0.03	1.30628	2.2486E-05	3.19E-05	3.597E-05	0.956343	1012.4539	0.03096	0.7048	0.6252
	379	0.002214	1.75	144	45	351.5	0.44961509	5972.23	5972.6101	2394/45	0.054444	0.016217	0.086422	-0.03	1.30628	2.2486E-05	3.19E-05	3.597E-05	0.956343	1012.4539	0.03096	0.7048	0.6252
	347.75	0.002083	1.791666666	144	45	351.5	0.44961509	5952.23	5952.6101	2394/45	0.054444	0.016217	0.086422	-0.03	1.30628	2.2486E-05	3.19E-05	3.597E-05	0.956343	1012.4539	0.03096	0.7048	0.6252
150-10	10	432.76 0.002603	1.626	138	44	36	0.41961509	5910.33	5951.147	2397/44	0.069723	0.01786	0.078946	-0.03096	1.354562	2.2117E-05	3.14E-05	3.637E-05	0.9676578	1012.1293	0.03072	0.7052	0.6253
	414	0.002484	1.665666667	138	44	364	0.661780392	5910.33	5951.147	2397/44	0.069723	0.01786	0.078946	-0.03096	1.354562	2.2117E-05	3.14E-05	3.637E-05	0.9676578	1012.1293	0.03072	0.7052	0.6253
	394.75	0.002339	1.541066667	130	44	364	0.661780392	5910.33	5951.147	2397/44	0.069723	0.01786	0.078946	-0.03096	1.354562	2.2117E-05	3.14E-05	3.637E-05	0.9676578	1012.1293	0.03072	0.7052	0.6253
	376.6	0.002259	1.5	138	44	364	0.661780392	5910.33	5951.147	2397/44	0.069723	0.01786	0.078946	-0.03096	1.354562	2.2117E-05	3.14E-05	3.637E-05	0.9676578	1012.1293	0.03072	0.7052	0.6253
	367.6	0.002116	1.665666667	138	44	364	0.661780392	5910.33	5951.147	2397/44	0.069723	0.01786	0.078946	-0.03096	1.354562	2.2117E-05	3.14E-05	3.637E-05	0.9676578	1012.1293	0.03072	0.7052	0.6253
150-15	15	446.5 0.002679	1.833333333	140	45	354.5	0.661780392																

Lo	Rc	kcl[m/s]	Nvcl	Nvc	totStF	totMod	NvcDat	kclDat	kclStF	kclMod	RoSc	ShSt=Dat	ShModDat	ShR_M	kcl[mcl]	C1	C1'	rho_air	nL	fT	RT	c2_rumus	tctoTsf	tctoTmod	Qkend
0.8766	57.15935	0.06214	4.21436e-05	5.24129e-05	0.951	1.480954	0.00016656	0.098153	0.093995	0.066277	6.46494	8.850055	8.924882	5.55517	0.002439	-0.03555	-0.01035	958.4	64.20143	-0.02333	-0.02793	-1.33289E-08	1.01423	1.531053	247.5867
0.8766	55.49195	J.063453	4.3C2J1'E-05	5.37247E-05	0.951	1.480954	0.00016656	0.098153	0.093995	0.066277	6.356981	8.582818	5.74693	5.501839	0.002439	-0.03555	-0.00935	958.4	65.54336	-0.02333	-0.02793	-1.33289E-08	1.14232	1.533979	277.3540
0.8767	86.7373	J.061265	4.35671'E-05	5.83995E-05	0.951	1.34263	6.16236E-05	0.086074	0.085888	0.06411	7.36127	9.04215	6.67475	5.378638	0.002439	-0.03555	-0.00935	958.4	63.32462	-0.0211	-0.02514	-1.30135E-08	1.11611	1.533985	199.0581
0.8767	51.94957	J.053963	3.90942E-05	5.66552E-05	0.951	1.41672	5.50832E-05	0.09734	0.098368	0.068368	8.136961	10.82935	7.579	5.508328	0.002311	-0.01442	-0.0114	958.4	60.56559	-0.02708	-0.02572	-1.28541E-08	1.01612	1.534299	153.0101
0.8767	163.4613	J.075355	5.11122E-05	0.951	1.41672	0.00016702	0.103436	0.103438	0.073054	11.39501	11.22407	7.854778	8.102256	0.002953	-0.01442	-0.009361	958.4	73.10326	-0.02701	-0.02365	-1.28541E-08	1.11557	1.535559	171.7521	
0.8822	145.8424	J.082028	0.00010583	0.00010414	0.983	1.3121/	0.0001118857	0.091253	0.092846	0.069282	10.36425	8.15852	6.503797	7.70336	0.002052	-0.01332	-0.00452	958.4	81.25794	-0.05051	-0.04025	-2.43J1'E-08	1.02457	1.53791	374.0076
0.8822	71455	J.065796	8.45105E-05	0.00011184	0.983	1.3121/	0.0001156	0.093942	0.095795	0.06975	7.239842	8.584258	6.390659	5.976413	0.002433	-0.01332	-0.01485	958.4	64.3837	-0.05067	-0.04049	-2.43J1'E-08	1.02554	1.535443	360.2663
0.8822	69.77565	J.065367	8.64339E-05	0.000113687	0.983	1.31727	0.0001248	0.098626	0.097488	0.072746	7.134132	6.701574	6.493125	8.922773	0.002477	-0.01332	-0.01503	958.4	65.63238	0.05067	0.04941	-2.43J1'E-08	1.02655	1.535384	421.2725
0.8822	67.77629	J.067542	8.76536E-05	0.000115872	0.983	1.31727	0.0001248	0.098626	0.097488	0.072746	7.042726	8.476533	6.326193	8.872702	0.002621	-0.01332	-0.01521	958.4	65.68408	0.05068	0.04942	-2.43J1'E-08	1.02653	1.535327	443.9379
0.8819	78.3C779	J.065298	6.96649E-05	0.000109484	0.966	1.567082	0.00011232	0.104979	0.105468	0.06599	7.558326	10.408	6.32221	6.162679	0.002448	0.02443	0.01774	958.4	64.78749	0.04328	0.04309	-2.28334E-08	1.024843	1.520977	318.6159
0.8819	76.03356	J.0C65587	7.12436E-05	0.000111645	0.966	1.567082	0.00010816	0.10193	0.102526	0.064509	7.46762	9.39495	6.91125	6.01691	0.002437	0.02443	0.0153	958.4	65.6571	0.04329	0.04309	-2.28334E-08	1.024846	1.523915	327.9597
0.8819	73.7156	J.067971	7.27245E-05	0.000113965	0.966	1.567082	0.00011648	0.106857	0.113413	0.069471	7.343109	9.809314	6.717955	6.0387	0.002649	0.02443	0.01757	958.4	67.42356	0.04329	0.0481	-2.28334E-08	1.02458	1.52080	335.5339
0.8819	78.59453	J.064922	7.1710'E-05	0.000108873	0.966	1.51830	0.0001248	0.112987	0.114643	0.074746	7.621429	10.91433	7.084763	6.80736	0.002434	0.02433	0.02223	958.4	64.41573	0.04329	0.0481	-2.30243E-08	1.024848	1.52394	354.1905
0.8819	139.9442	J.081416	8.95238E-05	0.000135633	0.966	1.61830	0.0001362	0.12402	0.124196	0.080578	7.08132	11.50916	7.470733	7.544727	0.003053	0.02493	0.01525	958.4	80.87827	0.0497	0.04798	-2.30243E-08	1.024787	1.520507	373.3048
0.8819	134.9123	J.082948	9.16209E-05	0.00013978	0.966	1.51830	0.0001362	0.12402	0.124196	0.080578	9.933976	11.17618	7.263937	7.463687	0.0031	0.02433	0.0144	958.4	82.49266	0.04978	0.04799	-2.30243E-08	1.025012	1.525350	318.6159
0.8819	131.0356	J.084498	9.33322E-05	0.000141705	0.966	1.61830	0.000142629	0.125128	0.13'02	0.065047	9.79026	11.40403	7.432657	7.384613	0.003158	0.02493	0.01598	958.4	84.02346	0.04978	0.04799	-2.30243E-08	1.024793	1.524957	458.0462
0.8816	125.9434	J.08579	0.000191171	0.000216425	0.977	1.38733	0.0001664	0.096133	0.098492	0.066635	6.93819	6.66369	8.33959	6.663659	0.003038	-0.02493	-0.00873	958.4	81.53738	-0.0757	-0.07362	-3.5995E-08	1.03723	1.528969	558.5333
0.8816	61.0652	J.070318	0.000121769	0.000175799	0.977	1.38733	0.000169371	0.097819	0.10102	0.068308	6.847	8.21265	6.574051	5.765636	0.00251	-0.02193	-0.02007	958.4	65.68828	-0.0767	-0.07383	-3.5995E-08	1.0388	1.527681	541.5169
0.8816	61.76123	J.072708	0.000124134	0.000176581	0.977	1.38733	0.00016933	0.098133	0.098493	0.066315	6.727274	7.776309	6.778328	6.697516	0.002577	-0.02193	-0.01727	958.4	68.31461	-0.07571	-0.07384	-3.5995E-08	1.035816	1.527609	575.8508
0.8816	59.4E726	J.073987	0.000128367	0.0001B125	0.977	1.38733	0.000178269	0.0299	0.10574	0.071588	6.636168	8.0230	E.4E413	6.627892	0.00264	-0.03132	-0.02313	958.4	70.1131	-0.07573	-0.07386	-3.5995E-08	1.038583	1.527633	521.3139
0.8811	69.411496	J.0696663	9.91575E-05	0.000165807	0.98	1.601558	0.0001768	0.118852	0.121301	0.074216	7.127067	10.77187	8.919837	0.002	-0.03132	-0.0331	958.4	63.65101	-0.07282	-0.07023	-3.56581E-08	1.03858	1.518778	445.167	
0.8811	59.13239	J.078155	0.00011826	0.000181882	0.98	1.601558	0.0001768	0.118852	0.121301	0.074216	6.81784	8.517094	10.3749	8.347553	0.002814	-0.03132	-0.02235	958.4	71.74395	-0.07271	-0.07013	-3.56581E-08	1.036796	1.519751	499.7246
0.8811	53.88523	J.083971	0.000120139	0.000192892	0.98	1.601558	0.000178265	0.118852	0.122821	0.071784	8.288634	10.1885	6.062117	6.558719	0.002915	-0.03132	-0.02367	958.4	77.11917	-0.07273	-0.07014	-3.558581E-08	1.03880	1.519361	555.8281
0.8811	87.1313	J.083026	0.000129482	0.00012682	0.979	1.681558	0.000202067	0.132032	0.131806	0.064389	7.93'956	10.13386	8.31389	8.391716	0.003051	-0.0332	-0.02128	958.4	81.26974	-0.07276	-0.07018	-3.57063E-08	1.038822	1.521276	691.7799
0.8811	63.83806	J.087207	0.000132304	0.000220773	0.979	1.561558	0.0002028	0.136656	0.139564	0.067299	7.832562	10.06706	8.3146	8.30792	0.0031	-0.0332	-0.02182	958.4	83.31071	-0.07277	-0.07019	-3.57063E-08	1.038828	1.521202	747.1938
0.8811	96.56032	J.035165	0.000144947	0.000226773	0.979	1.564558	0.0001872	0.122926	0.1255008	0.078569	8.434362	8.73384	5.647488	5.621994	0.005426	-0.0332	-0.01321	958.4	90.5971	-0.07273	-0.07015	-3.57063E-08	1.038805	1.521465	821.8925
0.8811	92.76821	J.097645	0.0001487	0.000232643	0.979	1.564558	0.00020167	0.132032	0.134808	0.064389	8.239178	9.017245	5.644833	5.531548	0.005315	-0.0332	-0.01577	958.4	93.355895	-0.07274	-0.07016	-3.57063E-08	1.038812	1.521392	884.7958
0.8811	88.56058	J.0106565	0.000153285	0.000239824	0.979	1.564558	0.0002573	0.154736	0.153047	0.065399	8.05161	10.05244	8.171954	8.427538	0.005624	-0.0401	-0.02362	958.4	95.21555	-0.07276	-0.07017	-3.57063E-08	1.038819	1.521305	1080.5897
0.8811	100.1334	J.092958	0.000263698	0.000347993	0.959	1.3C628	0.000277333	0.096774	0.103089	0.074083	8.558062	7.275792	5.345143	5.706934	0.003083	-0.0401	-0.00703	958.4	82.29228	-0.12373	-0.11538	-5.83373E-08	1.063141	1.537352	1065.364
0.8811	49.36734	J.077278	0.0002021462	0.000282992	0.959	1.3C628	0.000305067	0.10645	0.110987	0.061492	6.0389C	7.616956	5.594171	5.304898	0.002583	-0.0401	-0.0385	958.4	68.19791	-0.12412	-0.11573	-5.83373E-08	1.063343	1.53816	1111.41
0.8811	46.76857	J.0803'93	0.000229317	0.000302005	0.959	1.3C628	0.0002912	0.101612	0.105942	0.077788	5.849823	8.892659	5.068933	5.217403	0.002659	0.05994	-0.02561	958.4	70.75295	-0.11575	-0.11375	-5.83373E-08	1.063359	1.535069	1237.327
0.8811	87.442619	J.093333	0.000253808	0.000315915	0.959	1.3C628	0.000292102	0.101612	0.105942	0.062058	5.630149	5.621516	4.788383	5.206532											

Qrad/A	Qodat/A	hdat	hLst ^t	hLmod	RePr	Nusf	Numod	NuR-M
150.1035	-2525.71	109.8135	108.2728	71.72412	6.749696	9.633589	6.381635	5.712333
150.1035	-2495.54	108.5018	106.9793	70.37087	6.647422	9.23223	6.116101	5.656082
144.2546	-2360.11	107.2776	105.8371	69.56146	8.311522	10.98295	7.228925	6.571337
144.2546	-2598.22	118.1011	116.5162	76.37395	8.557582	12.81765	8.46771	6.70667
144.2546	-2764.38	125.6538	123.918	81.82711	11.58313	13.28584	8.76933	8.30722
311.9069	-4408.22	109.7127	106.988	71.33884	10.80613	10.45362	6.97373	7.943372
311.9069	-4537.3	110.6658	107.9091	72.02731	7.538088	10.30179	6.875537	6.145949
311.9069	-4711.14	114.9058	112.0431	74.78977	7.433298	10.41412	6.951515	6.091064
311.9069	-4688.47	114.353	111.5038	74.43274	7.341483	10.09595	6.739408	6.037816
300.0782	-4285.99	107.1498	104.5524	70.44801	7.891855	10.23217	6.894495	6.34052
300.0782	-4084.99	102.1248	99.64888	67.14695	7.775416	9.469063	6.38059	6.277029
300.0782	-4426.72	110.6681	107.9847	72.76726	7.65701	9.948465	6.703939	6.211365
300.0782	-4815.38	120.3845	117.4658	78.39536	7.925374	11.59574	7.798772	6.359505
300.0782	-5230.4	130.7601	127.5974	85.74057	10.51228	12.2317	8.239393	7.781752
300.0782	-5207.76	130.194	127.0445	85.37244	10.35863	11.85431	7.965954	7.697247
300.0782	-5470.05	136.7512	133.4427	89.57545	10.20872	12.09351	8.127016	7.614794
539.65	-6052.33	97.61818	93.97899	63.34619	10.04032	8.627345	5.861334	7.522177
539.65	-6175.43	99.60371	95.8798	66.19929	7.132698	8.515567	5.790738	5.922981
539.65	-6115.11	98.6308	94.94264	64.5655	7.003268	8.129168	5.52822	5.851797
539.65	-6586.09	106.2272	102.2543	69.54172	6.3714	8.428501	5.732172	5.77927
501.9921	-6742.96	114.2874	110.2252	75.24954	7.425417	10.5352	7.192235	6.083979
501.9921	-6688.38	113.3623	109.3392	74.50743	8.873633	10.06514	6.86793	6.880493
501.9921	-6656.9	112.8288	108.8237	74.26114	8.635609	9.487464	6.474235	6.749585
501.9921	-7551.83	127.9971	123.4511	84.13802	8.319197	9.988187	6.807632	6.575559
501.9921	-7797.98	132.1692	127.4746	86.38472	8.160466	9.924175	6.764155	6.488255
501.9921	-6818.57	115.569	111.4664	75.35899	8.755415	8.348583	5.689157	6.815473
501.9921	-7258.81	123.0307	118.6625	80.36717	8.584083	8.543124	5.822043	6.721245
501.9921	-8670.87	146.9639	141.745	96.50381	8.387153	9.74209	6.63955	6.612934
1009.177	-9001.02	59.00025	53.1205	64.39600	0.906590	7.006367	5.390410	6.090629
1089.177	-10950.5	110.6115	104.0224	72.00498	6.253625	8.296369	5.743147	5.439494
1089.177	-10226.8	103.3014	97.1463	67.25051	6.083064	7.34359	5.083675	5.348435
1089.177	-10082	101.8384	95.76891	66.30232	5.921887	6.849551	4.742121	5.257038
1089.177	-10206.8	103.099	96.95279	67.12775	5.743843	6.534992	4.524639	5.161864
1003.45	-9715.12	103.3524	97.50878	67.43636	6.4748	8.261764	5.713776	5.561114
1003.45	-9886.57	105.1763	99.23834	68.50999	7.674411	8.02545	5.547713	6.220295
1003.45	-8881.35	94.48246	89.14718	61.52833	7.493866	6.874156	4.752172	6.121627
1003.45	-8464.48	90.04767	84.96179	58.73874	7.313589	6.248535	4.319955	6.025224
1003.45	-9519.07	101.2667	95.54589	66.06084	7.131533	6.672332	4.613279	5.922343
1040.804	-11180.7	115.265	108.5908	75.49117	7.960315	9.460525	6.576928	6.378173
1040.804	-11630.8	119.9047	112.973	78.49725	9.744755	9.346432	6.494202	7.359615
1040.804	12394.2	127.7753	120.387	83.55464	9.4679	9.401913	6.533213	7.207345
1040.804	-12524.9	129.1222	121.6542	84.54191	9.173499	8.913379	6.194232	7.043774
1040.804	-12316.7	126.9766	119.6306	83.14291	8.859965	8.181556	5.686155	6.872981

LAMPIRAN 7

HASIL KALKULASI DATA Gula 1% AC

Suhu	Frekuensi (Hz)	Diameter Rata2 (Pxel)	Peluruhan (m/s)	tu [C]	td [C]	Tf	v [m/s]	pc	pOA	h/g	x0	Xinf	Rx	C1	tet=kcl/kcl	nua	alfa	dva	rhoa	cp	k	Pr	Sc	
50_7	7	451.25	0.032708	0.25'666567	49	31	313	0.339460323	4491	4486 4682	2428319	0.044278	0.031104	0.013784	-0.00552	1.466048	1.6961E-05	2.39E-05	2.716E-05	1.125211	1008 3426	0.02709	0.7103	0.6245
	/	440.5	0.032643	0.258246514	49	31	313	0.339460323	4491	4486 4682	2428319	0.044278	0.031104	0.013784	0.00552	1.466048	1.6961E-05	2.39E-05	2.716E-05	1.125211	1008 3426	0.02709	0.7103	0.6245
50_10	10	404.25	0.032426	0.32	49	31	313	0.520151565	4491	4486 4682	2428319	0.044278	0.031104	0.013784	-0.00552	1.466048	1.6961E-05	2.39E-05	2.716E-05	1.125211	1008 3426	0.02709	0.7103	0.6245
	10	399.25	0.032352	0.35	49	31	313	0.520151565	4491	4486 4682	2428319	0.044278	0.031104	0.013784	0.00552	1.466048	1.6961E-05	2.39E-05	2.716E-05	1.125211	1008 3426	0.02709	0.7103	0.6245
50_15	15	373.25	0.032224	0.130565556	49	31	313	0.948218678	1191	4486 4682	2428319	0.044278	0.031104	0.013784	-0.00552	1.466048	1.6961E-05	2.39E-05	2.716E-05	1.125211	1008 3426	0.02709	0.7103	0.6245
	15	357.5	0.032145	0.44444444	49	31	313	0.978218673	4491	4486 4682	2428319	0.044278	0.031104	0.013784	0.00552	1.466048	1.6961E-05	2.39E-05	2.716E-05	1.125211	1008 3426	0.02709	0.7103	0.6245
75_7	7	412.25	0.032474	0.6875	74	36	328	0.437466207	5940	5934 0061	241646	0.056564	0.031104	0.029163	-0.01411	1.469611	1.843FF-05	2.6E-05	2.948E-05	1.0737532	1009 2732	0.02819	0.7087	0.6254
	7	395.25	0.032378	0.646833333	74	36	328	0.437466207	5940	5934 0061	241646	0.056564	0.031104	0.029163	-0.01411	1.469611	1.843EE-05	2.6E-05	2.948E-05	1.0737532	1009 2732	0.02819	0.7087	0.6254
75_10	10	381.25	0.032228	0.708333333	74	36	328	0.437466207	5940	5934 0061	241646	0.056564	0.031104	0.029163	-0.01411	1.469611	1.843EE-05	2.6E-05	2.948E-05	1.0737532	1009 2732	0.02819	0.7087	0.6254
	10	380.5	0.032283	0.69	72	36	327	0.518839851	5940	5934 0061	241646	0.056564	0.031104	0.029163	-0.01411	1.469611	1.843EE-05	2.59E-05	2.932E-05	1.0770369	1009 2065	0.02812	0.7080	0.6254
75_15	10	369.25	0.032214	0.72	72	36	327	0.518839851	5940	5934 0061	241646	0.056564	0.031104	0.029163	-0.01411	1.469611	1.843EE-05	2.59E-05	2.932E-05	1.0770369	1009 2065	0.02812	0.7080	0.6254
	10	357.75	0.032147	0.72	72	36	327	0.518839851	5940	5934 0061	241646	0.056564	0.031104	0.029163	-0.01411	1.469611	1.843EE-05	2.59E-05	2.932E-05	1.0770369	1009 2065	0.02812	0.7080	0.6254
75_15	15	376	0.032256	0.846153346	72	36	327	0.937548037	5940	5934 0061	241646	0.056564	0.031104	0.029163	-0.01411	1.469611	1.843EE-05	2.59E-05	2.932E-05	1.0770369	1009 2065	0.02812	0.7080	0.6254
	15	362.75	0.032177	0.91764706	72	36	327	0.937548037	5940	5934 0061	241646	0.056564	0.031104	0.029163	-0.01411	1.469611	1.843EE-05	2.59E-05	2.932E-05	1.0770369	1009 2065	0.02812	0.7080	0.6254
15	347.5	0.032085	0.9375	72	36	327	0.937548037	5940	5934 0061	241646	0.056564	0.031104	0.029163	-0.01411	1.469611	1.843EE-05	2.59E-05	2.932E-05	1.0770369	1009 2065	0.02812	0.7080	0.6254	
	15	332.5	0.031995	0.9375	72	36	327	0.937548037	5940	5934 0061	241646	0.056564	0.031104	0.029163	-0.01411	1.469611	1.843EE-05	2.59E-05	2.932E-05	1.0770369	1009 2065	0.02812	0.7080	0.6254
100_7	7	407.6	0.032445	1.124867113	100	41	313.5	0.199U/6081	7778	7770 1611	2404521	0.076685	0.031104	0.049367	-0.0189E	1.369889	1.999EE-05	2.83E-05	3.19E-05	1.0253C-6	1010 3952	0.02929	0.7072	0.6257
	7	390.75	0.032345	1.09375	100	41	343.5	0.4300760081	7778	7770 1514	2404524	0.076685	0.031104	0.049367	-0.0189E	1.369889	1.999EE-05	2.83E-05	3.19E-05	1.0253C-5	1010 3952	0.02929	0.7072	0.6257
7	372.5	0.032205	1.1075	100	41	343.5	0.4300760081	7778	7770 1514	2404524	0.076685	0.031104	0.049367	-0.0189E	1.369889	1.999EE-05	2.83E-05	3.19E-05	1.0253C-5	1010 3952	0.02929	0.7072	0.6257	
	7	353.5	0.032121	1.1875	100	41	343.5	0.4300760081	7778	7770 1514	2404524	0.076685	0.031104	0.049367	-0.0189E	1.369889	1.999EE-05	2.83E-05	3.19E-05	1.0253C-5	1010 3952	0.02929	0.7072	0.6257
100_10	10	391.75	0.032261	1.09375	96	40	340.5	0.725156315	7376	7357 556	2406913	0.072712	0.031104	0.044871	0.0186E	1.391645	1.9591E-06	2.78E-05	3.147E-05	1.034335	1010 1653	0.02908	0.705	0.6257
	10	374	0.032244	1.125	95	40	340.5	0.725156315	7376	7357 556	2406913	0.072712	0.031104	0.044871	-0.0130E	1.391645	1.9591E-06	2.78E-05	3.147E-05	1.034335	1010 1653	0.02908	0.705	0.6257
10	356	0.032136	1.125	95	40	340.5	0.725156315	7376	7357 556	2406913	0.072712	0.031104	0.044871	-0.0130E	1.391645	1.9591E-06	2.78E-05	3.147E-05	1.034335	1010 1653	0.02908	0.705	0.6257	
	10	335.75	0.032021	1.128888389	95	40	310.5	0.725156315	7376	7357 556	2406913	0.072712	0.031104	0.044871	-0.0130E	1.391645	1.9591E-06	2.78E-05	3.147E-05	1.034335	1010 1653	0.02908	0.705	0.6257
100_15	15	409.75	0.032459	1.30	95	40	340.5	0.057723219	7375	7357 556	2406913	0.072712	0.031104	0.044871	-0.0135E	1.391645	1.9591E-06	2.78E-05	3.147E-05	1.034335	1010 1653	0.02908	0.705	0.6257
	15	389.5	0.032337	1.31	95	40	340.5	0.057723219	7375	7357 556	2406913	0.072712	0.031104	0.044871	-0.0135E	1.391645	1.9591E-06	2.78E-05	3.147E-05	1.034335	1010 1653	0.02908	0.705	0.6257
15	368.5	0.032221	1.31	95	40	310.5	0.857723219	7376	7357 556	2406913	0.072712	0.031104	0.044871	-0.0135E	1.391645	1.9591E-06	2.78E-05	3.147E-05	1.034335	1010 1653	0.02908	0.705	0.6257	
	15	347	0.0320282	1.38	95	40	340.5	0.857723219	7375	7357 556	2406913	0.072712	0.031104	0.044871	-0.0135E	1.391645	1.9591E-06	2.78E-05	3.147E-05	1.034335	1010 1653	0.02908	0.705	0.6257
150_7	7	410.75	0.032001	1.751666667	144	40	309	0.449611509	11152	11150 737	2307735	0.11049	0.031104	0.006707	-0.02501	1.251292	2.254CE-05	3.21E-05	3.622CE-05	0.954473	1010 2.5955	0.03106	0.7047	0.6251
	7	396	0.032376	1.666666667	144	48	359	0.449611509	11152	11150 737	2307735	0.11049	0.031104	0.068707	-0.02501	1.251292	2.254CE-05	3.21E-05	3.622CE-05	0.954473	1010 2.5955	0.03106	0.7047	0.6251
7	374.5	0.032244	1.6428B/143	144	48	359	0.449611509	11152	11150 737	2307735	0.11049	0.031104	0.068707	-0.02501	1.251292	2.254CE-05	3.21E-05	3.622CE-05	0.954473	1010 2.5955	0.03106	0.7047	0.6251	
	7	351.75	0.032111	1.075	144	40	309	0.449611509	11152	11150 737	2307735	0.11049	0.031104	0.068707	-0.02501	1.251292	2.254CE-05	3.21E-05	3.622CE-05	0.954473	1010 2.5955	0.03106	0.7047	0.6251
7	327.5	0.031965	2.035714286	144	48	359	0.449611509	11152	11150 737	2307735	0.11049	0.031104	0.068707	-0.02501	1.251292	2.254CE-05	3.21E-05	3.622CE-05	0.954473	1010 2.5955	0.03106	0.7047	0.6251	
160_10	10	421.25	0.032E28	1.88161538	138	47	355.5	0.651780392	10612	10601 292	2390112	0.101627	0.031104	0.062111	-0.02597	1.277387	2.227EE-05	3.16E-05	3.562E-05	0.963587	1010 2.2674	0.03082	0.705	0.6253
	10	397.5	0.032285	1.916666667	138	47	355.5	0.651780392	10612	10601 292	2390142	0.104627	0.031104	0.062114	-0.02597	1.277387	2.227EE-05	3.16E-05	3.562E-05	0.963587	1010 2.2674	0.03082	0.705	0.6253
10	375.75	0.032252	1.791666667	138	47	355.5	0.651780392	10612	10601 292	2390142	0.104627	0.031104	0.062114	-0.02597	1.277387	2.227EE-05	3.16E-05	3.562E-05	0.963587	1010 2.2674	0.03082	0.		

La	Re	kcl[m/s]	Nao_	Nao	tetaStt	tetaMod	NAcLat	kclLat	kclStt	kcl_Mod	ReSc	SHtH-Dst	ShNorDa	ShU_M	kcl[mcl]	C1	C1'	mo_ar	hl	ti	ii	c2_nimus	totalst	teta_mod	Okond
0.8792	63.73612	0.057724	3.09733E-05	4.54171E-05	0.993	1.45624E-05	4.85333E-05	0.09432	0.091054	0.061385	8.82674-2	9.077536	6.149563	5.7E4708	0.002247	0.00656	0.0279	595.4	62.7941	0.02108	0.02036	1.04472E-08	1.010575	1.549371	151.5561
0.8792	62.24704	0.05857	3.148E-05	4.51517E-05	0.993	1.45624E-05	4.96281E-05	0.0924/2	0.093708	0.0530J5	5.744936	9.061163	6.1334/2	5.7C9/15	0.002284	-0.00555	-0.00304	595.4	63.0138	-0.02108	-0.02036	-1.04472E-08	1.010572	1.549189	170.1542
0.8792	74.00392	0.067601	3.63073E-05	5.23454E-05	0.993	1.45624E-05	5.31550E-05	0.099045	0.097569	0.073753	7.072324	0.306546	6.033727	6.055279	0.00204	-0.00569	-0.00345	595.4	73.51775	-0.02103	-0.02031	-1.04472E-08	1.010552	1.550570	215.2706
0.8792	72.76737	0.06917E	3.71219E-05	6.44263E-05	0.993	1.45624E-05	5.77778E-05	0.107658	0.108398	0.073131	7.262974	9.393651	6.363715	6.954636	0.002393	-0.0142	-0.00775	595.4	75.38119	-0.02104	-0.02032	-1.04472E-08	1.010557	1.550296	199.0757
0.8792	29.162	0.089567	4.77953E-05	7.07071E-05	0.993	1.45624E-05	7.16444E-05	0.133436	0.134414	0.091068	9.715965	11.03391	7.503778	7.343781	0.003467	0.01442	0.00597	595.4	97.80623	0.02068	0.02059	1.04472E-08	1.010475	1.55437	252.594
0.8824	123.1118	0.05153E	4.912E-05	7.07071E-05	0.993	1.45624E-05	7.16444E-05	0.133436	0.134414	0.091068	9.715965	11.03391	7.503778	7.343781	0.003467	-0.01342	-0.00106	595.4	100.4162	-0.02109	-0.02037	-1.04472E-08	1.010481	1.546404	264.0557
0.8824	65.43393	0.069171	7.45619E-05	0.000110165	0.986	1.459511	0.0001144	0.105563	0.107095	0.071331	5.917165	8.365771	6.027533	5.804441	0.00257	-0.01332	-0.01575	595.4	72.10199	-0.04457	-0.04359	-2.1399E-08	1.022443	1.544692	406.2456
0.8824	62.85852	0.071414	7.6987E-05	0.000113141	0.986	1.459511	0.000107457	0.099156	0.106064	0.074747	5.787604	8.114437	5.442614	5.729882	0.002339	0.01332	0.0197	595.4	74.08	0.04459	0.04351	2.1399E-08	1.022461	1.544476	473.3354
0.8824	60.23747	0.073079	7.9155E-05	0.000116388	0.986	1.459511	0.000111887	0.103752	0.11024	0.07407	5.647094	8.534735	5.244153	5.652602	0.002275	-0.01332	-0.01465	595.4	76.0861	-0.04462	-0.04354	-2.1399E-08	1.022475	1.544423	511.6576
0.0023	66.24530	0.072604	7.92055E-05	0.000110427	0.906	1.354105	0.00011592	0.104347	0.101915	0.072355	2.970702	0.153959	5.763122	5.030594	0.002725	-0.02440	-0.01449	595.4	76.1631	-0.02220	0.04139	-2.10724E-08	1.021207	1.545936	393.9728
0.8823	61.60207	0.074212	8.07028E-05	0.00011255	0.986	1.354118	0.00011441	0.105241	0.106769	0.0756185	5.877393	8.313659	5.877732	5.780516	0.002767	-0.02413	-0.01258	595.4	77.69252	-0.02229	-0.01111	-2.10724E-08	1.021295	1.549116	112.3008
0.8823	62.63028	0.075758	8.23615E-05	0.000114913	0.986	1.354118	0.00011195	0.110205	0.11162	0.078917	5.772006	8.434576	5.96327	5.724603	0.002823	0.02443	0.0361	595.4	79.1437	0.0231	0.04143	2.10724E-08	1.021301	1.548937	436.0333
0.8823	60.71747	0.074137	8.41317E-05	0.000112794	0.986	1.354118	0.00011195	0.111025	0.111612	0.078917	5.772006	8.111011	5.777448	5.761644	0.002714	-0.0241	-0.0171	595.4	80.11101	-0.04213	0.04145	-2.10724E-08	1.02114	1.548171	492.9585
0.8823	115.3527	0.051654	9.95336E-05	0.000118904	0.986	1.354118	0.00011405	0.129527	0.131407	0.072905	9.186098	10.11118	7.143637	9.072554	0.003434	-0.02439	-0.0247	595.4	96.54404	-0.04196	0.04139	-2.10724E-08	1.021123	1.553045	475.0773
0.8823	111.2877	0.053792	0.000101955	0.000142144	0.986	1.354118	0.000151718	0.133671	0.141597	0.101013	9.02275	10.51127	7.431436	6.962336	0.003495	0.02433	0.0465	595.4	98.75672	0.04198	0.04111	2.10724E-08	1.021133	1.55287	511.7497
0.8823	116.3032	0.056425	0.000104817	0.000146135	0.986	1.354118	0.00015156	0.143511	0.145594	0.102335	9.387095	10.35359	7.320102	6.857102	0.003504	-0.0465	595.4	101.4673	-0.0201	-0.04114	-2.10724E-08	1.02115	1.552541	607.6516	
0.0023	122.3074	0.059210	0.000107823	0.000150367	0.906	1.354105	0.0001565	0.143511	0.145594	0.102395	9.030393	9.906672	7.304046	6.721110	0.003399	-0.02430	-0.034	595.4	104.3450	-0.0203	0.04116	-2.10724E-08	1.021162	1.552256	659.6003
0.8818	69.8339	0.073697	0.000129074	0.000176622	0.976	1.35955	0.000190171	0.108531	0.11124	0.079813	6.615288	8.51078	6.108937	5.638408	0.002515	-0.0243	-0.02155	595.4	73.19265	-0.06974	-0.06736	-3.46277E-08	1.032675	1.547702	697.3365
0.8848	57.34337	0.075826	0.000123283	0.000180593	0.976	1.35955	0.000180782	0.103916	0.10646	0.074617	5.4777904	7.811235	5.530135	5.628247	0.00269	0.02493	0.03747	595.4	75.576726	0.06978	0.0674	3.46277E-08	1.032695	1.547425	621.9594
0.8848	54.6767	0.0710317	0.000110687	0.000116674	0.976	1.35955	0.000116687	0.111827	0.112871	0.074746	5.174194	8.011691	5.907414	5.474161	0.002779	-0.02291	595.4	76.111679	-0.06903	0.06745	-1.04672E-08	1.02116	1.547100	670.0716	
0.8848	51.87733	0.081193	0.000142223	0.000193376	0.976	1.35955	0.00015975	0.112823	0.11558	0.082367	5.16'404	7.571359	5.505471	5.388772	0.002881	-0.03131	-0.02241	595.4	80.5017	-0.06988	-0.0675	-3.46277E-08	1.032543	1.546758	725.9468
0.8844	85.556362	0.065387	0.000137126	0.00019083	0.976	1.35955	0.0001582	0.11333	0.115854	0.081433	7.958096	8.66305	6.082397	6.377703	0.003056	0.03312	0.01568	595.4	86.29476	0.06466	0.06252	3.21388E-08	1.032527	1.548686	607.6777
0.8844	82.64433	0.088303	0.000141343	0.000196423	0.976	1.35955	0.000151145	0.115598	0.11795	0.083363	7.176504	8.49/112/15	6.84/112/15	6.24/182	0.003151	-0.03132	-0.01552	595.4	88.1512/9	-0.0545	-0.03256	-3.21388E-08	1.02524	1.548304	702.1445
0.0044	73.6660	0.050545	0.000143037	0.000202326	0.976	1.35955	0.000151172	0.115598	0.119165	0.083763	7.507247	8.003056	5.585258	5.725006	0.003255	-0.03092	-0.0362	595.4	81.7592	-0.06464	-0.02626	-3.21388E-08	1.022669	1.540001	700.9651
0.8844	74.13320	0.0504366	0.000161615	0.000210897	0.976	1.35955	0.000180511	0.118038	0.120636	0.081797	7.379261	7.741572	5.411232	6.058896	0.003377	-0.03392	-0.01222	595.4	95.17255	-0.06169	-0.06251	-3.21388E-08	1.022695	1.547726	839.6871
0.8844	158.33333	0.0683286	0.000141754	0.00019734	0.976	1.35955	0.000200252	0.134701	0.137707	0.096793	9.893026	10.75733	5.761535	6.878178	0.003116	0.02457	595.4	89.484569	0.06437	0.06234	3.21388E-08	1.032533	1.560062	608.8374	
0.8844	117.3811	0.0512176	0.000121104	0.000191466	0.976	1.35955	0.000211414	0.110112	0.111902	0.09196	10.11902	11.08112	10.114741	7.251394	0.003121	-0.0197	595.4	97.41016	-0.02121	595.4	-1.04641	-1.04641	1.548166	740.0595	
0.8844	97.3257	0.054547	0.000151872	0.000211352	0.976	1.35955	0.000212184	0.115598	0.119025	0.093724	8.434856	9.767399	6.365635	6.644121	0.003385	-0.04040	-0.02063	595.4	95.72474	-0.06464	-0.02342	-3.21388E-08	1.025275	1.545948	809.7117
0.8844	91.74739	0.0598351	0.000157944	0.000219801	0.976	1.35955	0.00022288	0.142472	0.145646	0.102377	8.193827	9.535601	6.772931	6.506606	0.003562	0.04001	0.02111	595.4	99.47279	0.06451	0.06247	3.21388E-08	1.032201	1.549048	908.8578
0.8844	88.01715	0.052552	0.000205525	0.0002821	0.976	1.35955	0.000205153	0.101755	0.105218	0.081329	6.0257	7.331813	5.511936	5.314135	0.002542	-0.04040	-0.03227	595.4	71.57266	-0.15339	-0.13884	-3.12138E-08	1.032204	1.552547	1084.3113
0.0071	47.1756	0.052517	0.000205327	0.000292327	0.976	1.35955	0.0002027303	0.094693	0.095004	0.075654	6.070775	8.462270	5.230720	5.022033	0.002330	0.05954	-0.02031	595.4	74.04045	-0.11547	0.10905	-1.04291	-1.04291	1.552227	1183.094
0.8871	41.93438	0.066686	0.000253636	0.000317409	0.976	1.35955	0.																		

Qrad/A	Qodat/A	hdat	hLstf	hLmod	RePr	Nustf	Numod	NuR-M
120.2672	-1849.56	102.7531	101.6778	66.31923	7.125704	10.16132	6.62771	5.919137
120.2672	-1878.81	104.3783	103.2856	67.37605	7.040316	10.0761	6.572919	5.872174
120.2672	-1987.88	110.4377	109.2845	71.2263	7.696129	9.783974	6.376719	6.232871
120.2672	-2206.11	122.5616	121.2813	79.05691	7.58104	10.5357	6.867673	6.169572
120.2672	-2778.3	154.3499	152.7499	99.30066	10.14145	12.62663	8.208405	7.5778
120.2672	-2847.62	158.2009	156.56	101.7968	9.925179	12.39549	8.059667	7.458849
292.9158	-4276.78	112.547	110.0759	72.86046	7.211329	9.658928	6.393351	5.966231
292.9158	-3907.92	102.8401	100.5809	66.58831	7.070003	8.483219	5.616209	5.888502
292.9158	-4322.16	113.741	111.2409	73.66061	6.923517	8.997545	5.957922	5.807934
274.8796	-4080.91	113.3587	110.9959	73.16553	7.267774	9.267251	6.108722	5.997276
274.8796	-4288.77	119.1324	116.6483	76.90179	7.167233	9.471581	6.244254	5.941978
274.8796	-4491.21	124.7559	122.1534	80.5429	7.060484	9.62533	6.346543	5.883266
274.8796	-4434.26	123.1739	120.6033	79.53311	6.949668	9.207214	6.071794	5.822317
274.8796	-5374.28	149.2857	146.1968	96.12447	9.577414	11.73046	7.712786	7.267577
274.8796	-5812.49	161.4579	158.1157	103.9775	9.407149	12.23973	8.048892	7.173932
274.8796	-5902.85	163.968	160.572	105.6127	9.207288	11.90732	7.831779	7.064008
274.8796	-5850.84	162.5233	159.1553	104.7015	9.006377	11.29282	7.42906	6.953508
524.4529	-7009.1	118.7983	114.7505	76.75787	6.890476	9.577998	6.406827	5.789762
524.4529	-6730.77	114.0808	110.1915	73.72299	6.747376	8.819406	5.900575	5.711057
524.4529	-7357.89	124.7099	120.4553	80.60844	6.587923	9.190617	6.150342	5.623358
524.4529	-7302.01	123.7629	119.5374	80.01442	6.41771	8.655373	5.793621	5.529741
475.7957	-6801.57	123.665	119.7577	79.85157	8.291408	9.679515	6.454068	6.560274
475.7957	-6932.39	126.0435	122.0587	81.40275	8.101391	9.41849	6.281332	6.455765
475.7957	-6873.55	124.9737	121.0201	80.72814	7.904034	8.888909	5.929472	6.347219
475.7957	-6894.98	125.3633	121.3943	80.99841	7.687367	8.434261	5.627626	6.228052
475.7957	-8287.31	150.6783	145.9313	97.20796	9.275687	12.33697	8.21792	7.101628
475.7957	-8246.17	149.9303	145.2038	96.74446	9.043579	11.66881	7.77454	6.973968
475.7957	-8176.55	148.6645	143.9746	95.9486	8.796408	10.94623	7.294864	6.838024
475.7957	-8527.98	155.0541	150.1588	100.0964	8.53594	10.75032	7.166202	6.694767
1067.875	-10661.4	111.0558	104.8881	71.53009	6.270884	8.44474	5.759022	5.448986
1067.875	-9668.6	100.7146	95.11725	64.88217	6.112777	7.276773	4.963693	5.362027
1067.875	-9376.72	97.67422	92.2415	62.93706	5.944521	6.673637	4.553472	5.269487
1067.875	-10901.7	113.5592	107.2372	73.19048	5.761134	7.287257	4.973626	5.168624
1067.875	-11896	123.9164	117.0108	79.88822	5.558999	7.403234	5.054502	5.05745
982.3473	-11447.2	125.7938	119.2144	80.9813	7.71332	9.77706	6.641471	6.242326
982.3473	-11578.4	127.2355	120.5756	81.92697	7.492728	9.331175	6.34021	6.121
982.3473	-10565.9	116.1089	110.0267	74.77856	7.280006	8.038194	5.463078	6.004003
982.3473	-11924.8	131.0421	124.1719	84.41595	7.055876	8.521616	5.793263	5.880732
982.3473	-12509.5	137.4665	130.2516	88.581	6.782872	8.260518	5.617778	5.730579
997.5176	-13287.7	144.4318	136.8461	92.86371	9.732442	11.33704	7.693315	7.352843
997.5176	-13331.7	144.9095	137.2925	93.19216	9.40716	10.62644	7.213073	7.173938
997.5176	-13193.3	143.4056	135.8613	92.24618	9.094702	9.828715	6.673432	7.002086
997.5176	-13308.5	144.6577	137.0407	93.07515	8.767951	9.214454	6.258263	6.822373
997.5176	-12581.3	136.7529	129.5443	88.01537	8.40212	7.998709	5.434507	6.621166

LAMPIRAN 8

HASIL KALKULASI DATA AQUADES AC

Suhu	Frekuensi (Hz)	Diameter Rata2 (Pixel) (meter)	Peluruhan dd/dt[pix/s]	tu [C]	td [C]	Tf	v [m/s]	po	p0A	hfg	x0	Xinf	Rx	C1	u (nua)	alfa	DAB	p(rhoa)	cp	k	Pr	Sc	Le	Re	
50	7	346.5	0.002079	0.4	49	26	310.5	0.40723474	3359.77	2440154	0.033158	0.016109	0.017634	-0.00811	1.451209	1.6719E-05	2.35E-05	2.678E-05	1.1342707	1008.2024	0.02691	0.7106	0.6243	0.8786	50.64032
50	7	334.25	0.0020055	0.416666667	49	26	310.5	0.40723474	3359.77	2440154	0.033158	0.016109	0.017634	-0.00811	1.451209	1.6719E-05	2.35E-05	2.678E-05	1.1342707	1008.2024	0.02691	0.7106	0.6243	0.8786	48.85
50	10	377.25	0.0022635	0.421875	49	26	310.5	0.46492776	3359.77	2440154	0.033158	0.01673	0.016992	-0.00874	1.505767	1.6719E-05	2.35E-05	2.678E-05	1.1342707	1008.2024	0.02691	0.7106	0.6243	0.8786	62.94527
50	10	363.5	0.002181	0.4375	49	26	310.5	0.46492776	4241.62	2440154	0.041862	0.01673	0.02624	3.78E-05	0.985668	1.6719E-05	2.35E-05	2.678E-05	1.1342707	1008.2024	0.02691	0.7106	0.6243	0.8786	60.65104
50	15	467.5	0.002805	0.40625	49	26	310.5	0.68494865	4241.62	2440154	0.041862	0.018125	0.024774	-0.00137	1.043046	1.6719E-05	2.35E-05	2.678E-05	1.1342707	1008.2024	0.02691	0.7106	0.6243	0.8786	114.918
50	15	453	0.002718	0.4	49	26	310.5	0.68494865	4491.23	2440154	0.044325	0.018125	0.027416	0.001115	0.945855	1.6719E-05	2.35E-05	2.678E-05	1.1342707	1008.2024	0.02691	0.7106	0.6243	0.8786	111.3537
75	7	394.5	0.002367	0.75	74	31	325.5	0.44015115	4491.23	2428319	0.044325	0.014708	0.03099	-0.01744	1.547583	1.8187E-05	2.57E-05	2.908E-05	1.0820002	1009.1075	0.02801	0.708	0.6253	0.882	57.28404
75	7	377.5	0.002265	0.721153846	74	31	325.5	0.44015115	4491.23	2428319	0.044325	0.014708	0.03099	-0.01744	1.547583	1.8187E-05	2.57E-05	2.908E-05	1.0820002	1009.1075	0.02801	0.709	0.6253	0.882	54.81552
75	10	339.25	0.0020355	0.7	72	31	324.5	0.50443084	4491.23	2428319	0.044325	0.015798	0.02985	-0.01634	1.532725	1.8088E-05	2.55E-05	2.893E-05	1.0853345	1009.0425	0.02794	0.7091	0.6253	0.8818	56.76447
75	10	319.25	0.0019155	0.783333333	72	31	324.5	0.50443084	4491.23	2428319	0.044325	0.015798	0.02985	-0.01634	1.532725	1.8088E-05	2.55E-05	2.893E-05	1.0853345	1009.0425	0.02794	0.7091	0.6253	0.8818	53.418
75	15	415.25	0.0024915	0.766666667	72	30	324	0.88859845	4241.62	2430689	0.041862	0.014911	0.028128	-0.01903	1.662674	1.8039E-05	2.54E-05	2.885E-05	1.0870094	1009.0102	0.0279	0.7092	0.6253	0.8817	122.7323
75	15	394.5	0.002367	0.873076923	72	30	324	0.88859845	4241.62	2430689	0.041862	0.014911	0.028128	-0.01903	1.662674	1.8039E-05	2.54E-05	2.885E-05	1.0870094	1009.0102	0.0279	0.7092	0.6253	0.8817	116.5994
100	7	439	0.002634	0.928571429	100	36	341	0.44887257	5940.16	2416445	0.058625	0.015098	0.046238	-0.02652	1.551036	1.9742E-05	2.79E-05	3.156E-05	1.0328183	1010.2032	0.02912	0.7074	0.6257	0.8845	59.89024
100	7	427.5	0.002565	1.03125	100	36	341	0.44887257	5940.16	2416445	0.058625	0.015098	0.046238	-0.02652	1.551036	1.9742E-05	2.79E-05	3.155E-05	1.0328183	1010.2032	0.02912	0.7074	0.6257	0.8845	58.32136
100	7	416.25	0.0024975	0.9375	100	36	341	0.44887257	5940.16	2416445	0.058625	0.015098	0.046238	-0.02652	1.551036	1.9742E-05	2.79E-05	3.155E-05	1.0328183	1010.2032	0.02912	0.7074	0.6257	0.8845	56.78659
100	7	402.75	0.0024165	1.035714286	100	36	341	0.44887257	5940.16	2416445	0.058625	0.015098	0.046238	-0.02652	1.551036	1.9742E-05	2.79E-05	3.155E-05	1.0328183	1010.2032	0.02912	0.7074	0.6257	0.8845	54.94486
100	10	398.75	0.0023925	1.071428571	95	36	338.5	0.53817406	5940.16	2416445	0.058625	0.015953	0.045329	-0.02188	1.460659	1.9488E-05	2.75E-05	3.115E-05	1.0404462	1010.0155	0.02894	0.7077	0.6257	0.8841	66.06922
100	10	385.5	0.002313	1.03125	95	36	338.5	0.53817406	5940.16	2416445	0.058625	0.015953	0.045329	-0.02188	1.460659	1.9488E-05	2.75E-05	3.115E-05	1.0404462	1010.0155	0.02894	0.7077	0.6257	0.8841	63.87381
100	10	370.5	0.0022223	1.09375	95	36	338.5	0.53817406	5940.16	2416445	0.058625	0.015953	0.045329	-0.02188	1.460659	1.9488E-05	2.75E-05	3.115E-05	1.0404462	1010.0155	0.02894	0.7077	0.6257	0.8841	61.38845
100	10	355.5	0.002133	1.21875	95	36	338.5	0.53817406	5940.16	2416445	0.058625	0.015953	0.045329	-0.02188	1.460659	1.9488E-05	2.75E-05	3.115E-05	1.0404462	1010.0155	0.02894	0.7077	0.6257	0.8841	58.90309
100	15	409.75	0.0024585	1.181818182	96	36	339	1.10074496	5940.16	2416445	0.058625	0.01704	0.044174	-0.02407	1.523524	1.9539E-05	2.76E-05	3.123E-05	1.0389117	1010.0527	0.02897	0.7076	0.6257	0.8842	138.5019
100	15	399.25	0.0023955	1.291666667	96	36	339	1.10074496	5940.16	2416445	0.058625	0.01704	0.044174	-0.02407	1.523524	1.9539E-05	2.76E-05	3.123E-05	1.0389117	1010.0527	0.02897	0.7076	0.6257	0.8842	134.9528
100	15	387	0.002322	1.464285714	96	36	339	1.10074496	5940.16	2416445	0.058625	0.01704	0.044174	-0.02407	1.523524	1.9539E-05	2.76E-05	3.123E-05	1.0389117	1010.0527	0.02897	0.7076	0.6257	0.8842	130.8121
100	15	373	0.002238	1.458333333	96	36	339	1.10074496	5940.16	2416445	0.058625	0.01704	0.044174	-0.02407	1.523524	1.9539E-05	2.76E-05	3.123E-05	1.0389117	1010.0527	0.02897	0.7076	0.6257	0.8842	126.0799
100	15	356.5	0.002139	1.5	96	36	339	1.10074496	5940.16	2416445	0.058625	0.01704	0.044174	-0.02407	1.523524	1.9539E-05	2.76E-05	3.123E-05	1.0389117	1010.0527	0.02897	0.7076	0.6257	0.8842	120.5026
150	7	460.75	0.0027645	1.625	144	42	366	0.50713818	8198.72	2402133	0.080915	0.014911	0.071815	-0.04565	1.601444	2.2328E-05	3.17E-05	3.71E-05	0.9622706	1012.3138	0.03085	0.705	0.6253	0.8869	62.79096
150	7	441	0.002646	1.666666667	144	42	366	0.50713818	8198.72	2402133	0.080915	0.014911	0.071815	-0.04565	1.601444	2.2328E-05	3.17E-05	3.71E-05	0.9622706	1012.3138	0.03085	0.705	0.6253	0.8869	60.09944
150	7	420.25	0.0025215	1.791666667	144	42	366	0.50713818	8198.72	2402133	0.080915	0.014911	0.071815	-0.04565	1.601444	2.2328E-05	3.17E-05	3.71E-05	0.9622706	1012.3138	0.03085	0.705	0.6253	0.8869	57.27163
150	7	398.5	0.002391	1.833333333	144	42	366	0.50713818	8198.72	2402133	0.080915	0.014911	0.071815	-0.04565	1.601444	2.2328E-05	3.17E-05	3.71E-05	0.9622706	1012.3138	0.03085	0.705	0.6253	0.8869	54.30754
150	7	376.25	0.0022575	1.875	144	42	366	0.50713818	8198.72	2402133	0.080915	0.014911	0.071815	-0.04565	1.601444	2.2328E-05	3.17E-05	3.71E-05	0.9622706	1012.3138	0.03085	0.705	0.6253	0.8869	51.27531
150	10	464.25	0.0027855	1.772727273	139	42	363.5	0.62134921	8198.72	2402133	0.080915	0.015953	0.070681	-0.04121	1.54922	2.2065E-05	3.13E-05	3.528E-05	0.9688887	1012.0836	0.03068	0.7052	0.6253	0.8868	78.44031
150	10	444	0.002664	1.75	139	42	363.5	0.62134921	8198.72	2402133	0.080915	0.015953	0.070681	-0.04121	1.54922	2.2065E-05	3.13E-05	3.528E-05	0.9688887	1012.0836	0.03068	0.7052	0.6253	0.8868	75.01884
150	10	423	0.002538	1.75	139	42	363.5	0.62134921	8198.72	2402133	0.080915	0.015953	0.070681	-0.04121	1.54922	2.2065E-05	3.13E-05	3.528E-05	0.9688887	1012.0836	0.03068	0.7052	0.6253	0.8868	71.47066
150	10	402	0.002412	1.75	139	42	363.5	0.62134921	8198.72	2402133	0.080915	0.015953	0.070681	-0.04121	1.54922	2.2065E-05	3.13E-05	3.528E-05	0.9688887	1012.0836	0.03068	0.7052	0.6253	0.8868	67.92247</td

C1	ρ_{air}	hL	ϕT	RT	C2	θT_{stf}	θT_{mod}	qkonduksi	qrad/A	qo/A	$\theta_x StF$	$\theta_x Mod$	N	kc	kcl_{StF}	kcl_{Mod}	$Re^{0.5} Sc^{0.333}$	Sh_StF	Sh_Mod	Sh_R_M
-0.00565	998.4	75.19988	-0.02832	-0.02792	-1.33839E-08	1.014228	1.533249	517.6191	150.1035	-2255.78	0.99129	1.451209	0.00006656	0.096169	0.097014	0.06626789	6.082964108	7.531521	5.144596	5.34563
-0.00565	998.4	77.04407	-0.02833	-0.02793	-1.33839E-08	1.01423	1.533161	556.2453	150.1035	-2338.96	0.99129	1.451209	6.93333E-05	0.100176	0.101056	0.06902905	5.974469418	7.567974	5.169496	5.285958
-0.00565	998.4	74.2745	-0.02829	-0.02789	-1.32845E-08	1.01421	1.530014	450.3578	150.1035	-2482.92	0.9916	1.505767	0.0000702	0.105263	0.106154	0.06990633	6.781856428	8.972476	5.908682	5.730021
-0.01442	998.4	76.12006	-0.02859	-0.02818	-1.4677E-08	1.014362	1.578314	485.292	150.1035	-2562.18	0.98711	0.985668	0.0000728	0.070716	0.07164	0.07174432	6.657116771	5.834478	5.843012	5.661414
-0.01442	998.4	74.24691	-0.02849	-0.02809	-1.44538E-08	1.014313	1.571541	321.1118	150.1035	-2497.96	0.98781	1.043046	0.0000676	0.069523	0.070381	0.06665401	9.16349276	7.37193	6.981565	7.039921
-0.01332	998.4	75.73528	-0.0286	-0.02819	-1.4848E-08	1.014366	1.584741	341.986	150.1035	-2431.41	0.98654	0.945855	0.00006656	0.061858	0.062702	0.06539891	9.020265788	6.36392	6.637639	6.961146
-0.01332	998.4	71.5856	-0.05289	-0.05151	-2.46606E-08	1.026677	1.525145	760.5053	324.2612	-4370.21	0.98482	1.547583	0.0001248	0.107562	0.10922	0.06950297	6.47320464	8.888676	5.656383	5.560263
-0.01332	998.4	73.71844	-0.0529	-0.05152	-2.46606E-08	1.026682	1.525051	830.5434	324.2612	-4090.36	0.98482	1.547583	0.00012	0.103425	0.105019	0.06682978	6.332195444	8.1785	5.204457	5.482707
-0.01332	998.4	82.77857	-0.05046	-0.04921	-2.35597E-08	1.025444	1.525196	1012.198	306.225	-3772.89	0.98537	1.532725	0.00011648	0.103905	0.105448	0.06779103	6.443624571	7.419696	4.770008	5.543994
-0.02443	998.4	86.20493	-0.05048	-0.04922	-2.35597E-08	1.025451	1.525064	1143.339	306.225	-4247.86	0.98537	1.532725	0.000130347	0.116275	0.118002	0.07586139	6.250802162	7.813502	5.023179	5.437941
-0.02443	998.4	88.77901	-0.05142	-0.05012	-2.37707E-08	1.025928	1.521682	789.9116	312.3114	-4479.42	0.98619	1.662674	0.000127573	0.120582	0.12227	0.07252273	9.474708265	10.55911	6.263004	7.21109
-0.02443	998.4	91.68042	-0.05143	-0.05013	-2.37707E-08	1.025933	1.521588	875.1928	312.3114	-5168.84	0.98619	1.662674	0.00014528	0.137318	0.13924	0.08258859	9.234949602	11.4238	6.775885	7.079222
-0.02493	998.4	67.84786	-0.07889	-0.07586	-3.66156E-08	1.039966	1.523925	918.5008	557.3574	-5244.9	0.97757	1.551036	0.000154514	0.093507	0.095653	0.06028685	6.620141431	7.985347	5.032916	5.641078
-0.02493	998.4	69.05371	-0.0789	-0.07587	-3.66156E-08	1.039971	1.523873	968.5819	557.3574	-5937.98	0.97757	1.551036	0.0001716	0.103847	0.10623	0.06695318	6.532855725	8.636028	5.44302	5.593071
-0.02493	998.4	70.28949	-0.07891	-0.07588	-3.66156E-08	1.039976	1.523822	1021.645	557.3574	-5206.38	0.97757	1.551036	0.000156	0.094406	0.096572	0.06086653	6.446324014	7.644331	4.817984	5.545478
-0.02493	998.4	71.85182	-0.07893	-0.07589	-3.66156E-08	1.039982	1.523758	1091.283	557.3574	-5847.59	0.97757	1.551036	0.000172343	0.104296	0.106689	0.06724302	6.340927419	8.171268	5.150096	5.48751
-0.02493	998.4	76.76734	-0.07283	-0.07024	-3.41622E-08	1.036855	1.527434	1070.63	501.9921	-6182.09	0.978	1.460659	0.000178286	0.109249	0.111707	0.07479457	6.953186869	8.580381	5.745076	5.824253
-0.02493	998.4	78.49474	-0.07284	-0.07025	-3.41622E-08	1.036861	1.527368	1145.492	501.9921	-5816.43	0.978	1.460659	0.0001716	0.105152	0.107518	0.07198977	6.836687743	7.984193	5.345892	5.760178
-0.02493	998.4	80.5795	-0.07285	-0.07026	-3.41622E-08	1.036868	1.527291	1240.503	501.9921	-6173.78	0.978	1.460659	0.000182	0.111525	0.114034	0.07635279	6.702358585	8.138586	5.449268	5.686297
-0.03312	998.4	82.81689	-0.07286	-0.07027	-3.41622E-08	1.036875	1.527209	1347.395	501.9921	-6971.6	0.978	1.460659	0.0002028	0.124271	0.127067	0.08507882	6.565281557	8.701556	5.82621	5.610905
-0.03312	998.4	97.73891	-0.0738	-0.07114	-3.44516E-08	1.037352	1.525244	1218.551	512.8863	-6822.25	0.97854	1.523524	0.000196655	0.123837	0.126553	0.08128355	10.06731111	9.963099	6.399188	7.537021
-0.03312	998.4	99.32777	-0.0738	-0.07115	-3.44516E-08	1.037355	1.525202	1283.487	512.8863	-7552.37	0.97854	1.523524	0.000214933	0.135348	0.138316	0.08883875	9.937484654	10.61012	6.814761	7.465617
-0.03312	998.4	101.2734	-0.07381	-0.07115	-3.44516E-08	1.03736	1.52515	1365.994	512.8863	-8719.23	0.97854	1.523524	0.000243657	0.153436	0.1568	0.10071122	9.783843363	11.65901	7.488452	7.381114
-0.03392	998.4	103.6292	-0.07382	-0.07116	-3.44516E-08	1.037365	1.525089	1470.46	512.8863	-8571.69	0.97854	1.523524	0.000246677	0.152812	0.156163	0.10030182	9.605244506	11.19156	7.188212	7.282884
0.966078	999.4	106.6062	-0.07384	-0.07118	-3.44516E-08	1.037372	1.525012	1609.725	512.8863	-8733.99	0.97854	1.523524	0.0002496	0.157178	0.160625	0.10316759	9.390393157	11.0021	7.066527	7.164716
1.966078	1000.4	69.55037	-0.12622	-0.11858	-5.78173E-08	1.064438	1.526784	1367.636	1109.885	-9214.14	0.96572	1.601444	0.0002704	0.113081	0.117095	0.07061202	6.776961062	9.064913	5.466443	5.727329
2.966078	1001.4	71.59599	-0.12625	-0.1186	-5.78173E-08	1.064445	1.526713	1492.87	1109.885	-9388.69	0.96572	1.601444	0.000273333	0.115981	0.120097	0.07242259	6.630123424	8.898817	5.366281	5.646568
3.966078	1002.4	73.9249	-0.12627	-0.11862	-5.78173E-08	1.064464	1.526634	1643.932	1109.885	-10137	0.96572	1.601444	0.000298133	0.124679	0.129104	0.07785428	6.472263342	9.116116	5.49732	5.559745
4.966078	1003.4	76.5922	-0.1263	-0.11865	-5.78173E-08	1.06448	1.526547	1828.28	1109.885	-10252.4	0.96572	1.601444	0.000305067	0.127579	0.132107	0.07966485	6.302552634	8.845343	5.334035	5.466404
5.966078	1004.4	79.59839	-0.12633	-0.11868	-5.78173E-08	1.064497	1.526451	2050.908	1109.885	-10329.6	0.96572	1.601444	0.000312	0.130478	0.135109	0.08147541	6.124076015	8.541275	5.150672	5.368242
6.966078	1005.4	74.13484	-0.12008	-0.11315	-5.5334E-08	1.061241	1.527445	1343.135	1032.36	-10379	0.96624	1.54922	0.000294982	0.124485	0.128834	0.08035328	7.574902671	10.17075	6.34345	6.166196
7.966078	1006.4	76.31453	-0.12021	-0.11317	-5.5334E-08	1.061253	1.527374	1468.445	1032.36	-10090.2	0.96624	1.54922	0.0002912	0.122889	0.127182	0.07932311	7.407856926	9.602407	5.988978	6.074321
8.966078	1007.4	78.76461	-0.12013	-0.11319	-5.5334E-08	1.061266	1.527296	1617.867	1032.36	-9940.79	0.96624	1.54922	0.0002912	0.122889	0.127182	0.07932311	7.230549181	9.148239	5.705715	5.976802
9.966078	1008.4	81.43526	-0.12015	-0.11322	-5.5334E-08	1.061279	1.527214	1791.313	1032.36	-9767.35	0.96624	1.54922	0.0002912	0.122889	0.127182	0.07932311	7.048728781	8.694071	5.422453	5.876831
10.96608	1009.4	84.65317	-0.12018	-0.11324	-5.5334E-08	1.061295	1.527117	2015.325	1032.36	-11941.6	0.96624	1.54922	0.000346667	0.146296	0.151408	0.09443228	6.8441687	9.7579195	6.085968	5.764293
11.96608	1010.4	103.297	-0.12083	-0.11382	-5.66335E-08	1.061633	1.533962	2628.824	1049.294	-13946.8	0.96188	1.373079	0.000408436	0.152561	0.158607	0.11110845	8.004472128	9.296099	6.512176	6.40246
12.96608	1011.4	109.0952	-0.12088	-0.11386	-5.66335E-08	1.061655	1.533828	3113.858	1049.294	-13489	0.96188	1.373079	0.000409067	0.152796	0.158852	0.11127992	7.67270236	8.55464	5.992763	6.219986
13.96608	1012.4	116.308	-0.12093	-0.1139	-5.66335E-08	1.061681	1.533669	3792.041	1049.294	-13409.2	0.96188	1.373079	0.000422933	0.157976	0.164236	0.11505212	7.30389639	8.014796	5.614587	6.017145

h	hL_Stf	hL_mod	Re^0,5.Pr^0,333	Nu_Stf	Nu_Mod	Nu_R-M
98.07727	96.70142	63.96696	6.350895898	7.471916	4.942593	5.492993
101.6941	100.2672	66.32967	6.237622424	7.473539	4.943963	5.430692
107.9529	106.4404	70.55683	7.080571808	8.954302	5.935595	5.894314
111.3992	109.822	70.58115	6.950337836	8.902041	5.721225	5.822686
108.6071	107.0745	69.10867	9.567110303	11.16256	7.204603	7.261911
105.7135	104.2163	66.70713	9.417574718	10.52761	6.738548	7.179666
101.6328	98.99199	66.63811	6.749674392	8.365959	5.631685	5.712321
95.12475	92.65257	62.37482	6.602642711	7.492782	5.044231	5.631453
92.02165	89.73836	60.33432	6.719322112	6.538712	4.396211	5.695627
103.6062	101.0348	67.93566	6.518249585	6.927811	4.658252	5.585037
106.6528	103.9574	70.08875	9.880461172	9.283758	6.259171	7.434254
123.0677	119.9568	80.88113	9.630434882	10.17726	6.862038	7.296739
81.95151	78.80212	53.77662	6.896373931	7.128796	4.864876	5.793006
92.78088	89.2149	60.8849	6.805446135	7.859362	5.363638	5.742995
81.34961	78.22262	53.38525	6.715303796	6.709658	4.579196	5.693417
91.36853	87.85591	59.96263	6.605509416	7.291557	4.976569	5.63303
104.7813	101.0568	68.59953	7.244258031	8.354627	5.671301	5.984342
98.58357	95.07888	64.54473	7.122882071	7.599225	5.158768	5.917585
104.6403	100.9197	68.51369	6.982929687	7.752198	5.262916	5.840611
118.1628	113.9605	77.37171	6.840114402	8.399529	5.702728	5.762063
113.7042	109.6101	74.54818	10.4884649	9.300339	6.325361	7.768656
125.8728	121.3401	82.52863	10.35320732	10.0318	6.823056	7.694264
145.3206	140.0869	95.28279	10.19313863	11.22633	7.635804	7.606226
142.8614	137.7157	93.67419	10.0070683	10.63706	7.235326	7.503888
145.5665	140.3224	95.4527	9.783228908	10.35896	7.046559	7.380776
90.33471	84.86614	59.16668	7.053220278	7.604273	5.30152	5.879271
92.046	86.47281	60.29032	6.900396881	7.416108	5.170638	5.795218
99.38225	93.36362	65.09893	6.736101717	7.63033	5.320341	5.704856
100.514	94.42545	65.84404	6.559472842	7.317711	5.102731	5.60771
101.2704	95.13455	66.34371	6.373720718	6.961016	4.854384	5.505546
107.0005	100.8258	70.05192	7.884205862	9.153731	6.359845	6.336313
104.0228	98.01892	68.10568	7.7103392	8.510742	5.913449	6.240687
102.4824	96.56622	67.10054	7.525791514	7.988039	5.550613	6.139185
100.6943	94.88012	65.93334	7.336603114	7.458918	5.183292	6.035132
123.1095	115.9993	80.61564	7.123634102	8.597441	5.974933	5.917999
143.7815	135.4343	93.73212	8.33087583	9.175878	6.350491	6.581982
139.0616	130.9857	90.66307	7.985577264	8.154061	5.643917	6.392067
138.2388	130.2075	90.136	7.601735629	7.345122	5.084653	6.180955
140.4581	132.2939	91.59434	7.176640714	6.651504	4.605201	5.947152
157.5991	148.4329	102.7887	6.668888725	6.444286	4.462621	5.667889

LAMPIRAN 9

HASIL KALKULASI DATA AQUADES NON AC

Suhu	Frekuensi (Hz)	Diameter Rata2 (Pixel)	Peluruan (meter)	tu [C]	td [C]	Tf	v [m/s]	po	hfg	x0	Xinf	Rx	C1	u (nua)	alfa	DAB	p(rhoa)	cp	k	Pr	Sc	Le	Re	
50	7	415.25	0.002492	0.325	50	31	313.5	0.40132	4491	2428319	0.044323	0.031104	0.013832	-0.00757	1.7E-05	2.39E-05	2.72E-05	1.123416	1007.691	0.027111	0.71026	0.624568	0.879352	58.78374
50	10	408	0.002448	0.333333333	50	31	313.5	0.4799	4491	2428319	0.044323	0.031104	0.013832	-0.00757	1.7E-05	2.39E-05	2.72E-05	1.123416	1007.691	0.027111	0.71026	0.624568	0.879352	69.06655
50	15	411	0.002466	0.416666667	50	30	313	0.8454	4241	2430689	0.041855	0.031104	0.011221	-0.01116	1.7E-05	2.39E-05	2.72E-05	1.125211	1007.665	0.027074	0.710313	0.624527	0.879227	122.914
75	7	396.25	0.002378	0.65	74	36	328	0.41344	5940	2416446	0.058623	0.031104	0.029233	-0.01406	1.84E-05	2.6E-05	2.95E-05	1.073753	1008.529	0.028168	0.708746	0.625424	0.882438	53.31887
75	7	376.5	0.002259	0.666666667	74	36	328	0.41344	5940	2416446	0.058623	0.031104	0.029233	-0.01406	1.84E-05	2.6E-05	2.95E-05	1.073753	1008.529	0.028168	0.708746	0.625424	0.882438	50.66134
75	10	396.5	0.002379	0.7	72	35	326.5	0.56544	5621	2418824	0.055475	0.031104	0.025802	-0.01613	1.83E-05	2.58E-05	2.92E-05	1.078686	1008.436	0.02806	0.708901	0.625365	0.882162	73.56157
75	10	375.75	0.002255	0.683333333	72	35	326.5	0.56544	5621	2418824	0.055475	0.031104	0.025802	-0.01613	1.83E-05	2.58E-05	2.92E-05	1.078686	1008.436	0.02806	0.708901	0.625365	0.882162	69.71188
75	15	454.75	0.002729	0.75	72	35	326.5	0.94499	5621	2418824	0.055475	0.031104	0.025802	-0.01613	1.83E-05	2.58E-05	2.92E-05	1.078686	1008.436	0.02806	0.708901	0.625365	0.882162	141.0013
75	15	432.25	0.002594	0.75	72	35	326.5	0.94499	5621	2418824	0.055475	0.031104	0.025802	-0.01613	1.83E-05	2.58E-05	2.92E-05	1.078686	1008.436	0.02806	0.708901	0.625365	0.882162	134.0248
100	7	450.75	0.002705	0.983333333	100	40	343	0.49657	7375	2406913	0.072786	0.031104	0.044953	-0.02398	1.99E-05	2.82E-05	3.19E-05	1.026796	1009.542	0.029234	0.70722	0.625704	0.884738	67.33399
100	7	421	0.002526	1	100	40	343	0.49657	7375	2406913	0.072786	0.031104	0.044953	-0.02398	1.99E-05	2.82E-05	3.19E-05	1.026796	1009.542	0.029234	0.70722	0.625704	0.884738	62.88987
100	10	455	0.00273	1	93	38	338.5	0.65623	6624	2411684	0.065374	0.031104	0.036667	-0.02595	1.95E-05	2.75E-05	3.11E-05	1.040446	1009.223	0.028917	0.707673	0.625676	0.884131	91.9274
100	10	424.5	0.002547	1.033333333	93	38	338.5	0.65623	6624	2411684	0.065374	0.031104	0.036667	-0.02595	1.95E-05	2.75E-05	3.11E-05	1.040446	1009.223	0.028917	0.707673	0.625676	0.884131	85.76524
100	15	481	0.002886	1.15	96	40	341	1.00447	7375	2406913	0.072786	0.031104	0.044953	-0.01958	1.97E-05	2.79E-05	3.16E-05	1.032818	1009.399	0.029093	0.707421	0.625697	0.884476	146.8415
100	15	457.75	0.002747	1.175	96	40	341	1.00447	7375	2406913	0.072786	0.031104	0.044953	-0.01958	1.97E-05	2.79E-05	3.16E-05	1.032818	1009.399	0.029093	0.707421	0.625697	0.884476	139.7436
100	15	433.75	0.002603	1.225	96	40	341	1.00447	7375	2406913	0.072786	0.031104	0.044953	-0.01958	1.97E-05	2.79E-05	3.16E-05	1.032818	1009.399	0.029093	0.707421	0.625697	0.884476	132.4168
150	7	395	0.00237	1.916666667	145	46	368.5	0.54113	10086	2392545	0.099541	0.031104	0.076002	-0.0399	2.26E-05	3.21E-05	3.61E-05	0.955742	1011.608	0.030995	0.704721	0.625153	0.887093	56.76712
150	7	372	0.002232	1.916666667	145	46	368.5	0.54113	10086	2392545	0.099541	0.031104	0.076002	-0.0399	2.26E-05	3.21E-05	3.61E-05	0.955742	1011.608	0.030995	0.704721	0.625153	0.887093	53.46169
150	7	348.75	0.002093	1.958333333	145	46	368.5	0.54113	10086	2392545	0.099541	0.031104	0.076002	-0.0399	2.26E-05	3.21E-05	3.61E-05	0.955742	1011.608	0.030995	0.704721	0.625153	0.887093	50.12034
150	7	325.25	0.001952	1.958333333	145	46	368.5	0.54113	10086	2392545	0.099541	0.031104	0.076002	-0.0399	2.26E-05	3.21E-05	3.61E-05	0.955742	1011.608	0.030995	0.704721	0.625153	0.887093	46.74305
150	7	301	0.001806	2.083333333	145	46	368.5	0.54113	10086	2392545	0.099541	0.031104	0.076002	-0.0399	2.26E-05	3.21E-05	3.61E-05	0.955742	1011.608	0.030995	0.704721	0.625153	0.887093	43.25798
150	10	434.25	0.002606	1.875	140	45	365.5	0.74418	9582	2394946	0.094567	0.031104	0.070091	-0.04052	2.23E-05	3.16E-05	3.56E-05	0.963587	1011.343	0.03079	0.705009	0.625271	0.886899	87.04553
150	10	411.25	0.002468	1.958333333	140	45	365.5	0.74418	9582	2394946	0.094567	0.031104	0.070091	-0.04052	2.23E-05	3.16E-05	3.56E-05	0.963587	1011.343	0.03079	0.705009	0.625271	0.886899	82.43517
150	10	388.5	0.002331	1.833333333	140	45	365.5	0.74418	9582	2394946	0.094567	0.031104	0.070091	-0.04052	2.23E-05	3.16E-05	3.56E-05	0.963587	1011.343	0.03079	0.705009	0.625271	0.886899	77.87493
150	10	365.75	0.002195	1.958333333	140	45	365.5	0.74418	9582	2394946	0.094567	0.031104	0.070091	-0.04052	2.23E-05	3.16E-05	3.56E-05	0.963587	1011.343	0.03079	0.705009	0.625271	0.886899	73.31468
150	10	342.25	0.002054	1.958333333	140	45	365.5	0.74418	9582	2394946	0.094567	0.031104	0.070091	-0.04052	2.23E-05	3.16E-05	3.56E-05	0.963587	1011.343	0.03079	0.705009	0.625271	0.886899	68.6041
150	15	429.75	0.002579	2.208333333	140	45	365.5	1.05753	9582	2394946	0.094567	0.031104	0.070091	-0.04052	2.23E-05	3.16E-05	3.56E-05	0.963587	1011.343	0.03079	0.705009	0.625271	0.886899	122.4165
150	15	403.5	0.002421	2.166666667	140	45	365.5	1.05753	9582	2394946	0.094567	0.031104	0.070091	-0.04052	2.23E-05	3.16E-05	3.56E-05	0.963587	1011.343	0.03079	0.705009	0.625271	0.886899	114.939
150	15	378	0.002268	2.083333333	140	45	365.5	1.05753	9582	2394946	0.094567	0.031104	0.070091	-0.04052	2.23E-05	3.16E-05	3.56E-05	0.963587	1011.343	0.03079	0.705009	0.625271	0.886899	107.6752
150	15	352	0.002112	2.25	140	45	365.5	1.05753	9582	2394946	0.094567	0.031104	0.070091	-0.04052	2.23E-05	3.16E-05	3.56E-05	0.963587	1011.343	0.03079	0.705009	0.625271	0.886899	100.269
150	15	325	0.00195	2.25	140	45	365.5	1.05753	9582	2394946	0.094567	0.031104	0.070091	-0.04052	2.23E-05	3.16E-05	3.56E-05	0.963587	1011.343	0.03079	0.705009	0.625271	0.886899	92.57792

θ_x _StF	θ_x _Mod	N	kc	kcl_StF	kcl_Mod	Re ^{0.5} .Sc ^{0.333}	Sh_StF	Sh_Mod	ShR_M	C1	ρ_{air}	hL	ϕ^T	RT	C2	θT_{stf}	θT_{mod}	qkonduksi	qrad/A	qo/A
0.993147	1.540669	5.41E-05	0.100582	0.101276	0.06528491	6.554759272	9.26520387	5.97254494	5.6051176	-0.00565	998.4	62.70743	-0.02357	-0.02329	-1.09177E-08	1.011832	1.5152742	293.98887	127.56976	-1942.26
0.993147	1.540669	5.55E-05	0.103161	0.103873	0.06695888	7.104966112	9.33686085	6.01873653	5.90773136	-0.00565	998.4	67.31969	-0.02355	-0.02328	-1.09177E-08	1.011822	1.5156519	317.48604	127.56976	-1979.38
0.994431	1.989062	6.93E-05	0.158701	0.15959	0.0797868	9.478051749	14.4909405	7.244743276	7.21292846	-0.00565	998.4	81.69646	-0.02461	-0.02431	-1.09862E-08	1.012353	1.4985364	375.7745	133.65615	-2524.07
0.985662	1.466469	0.000108	0.099584	0.101033	0.06790744	6.245492065	8.14900841	5.477219005	5.43502064	-0.01442	998.4	66.12324	-0.04731	-0.04621	-2.20084E-08	1.023841	1.5166892	651.28951	292.91583	-3760.33
0.985662	1.466469	0.000111	0.102138	0.103623	0.06964866	6.087857995	7.94137776	5.337663558	5.3483219	-0.01442	998.4	68.46481	-0.04732	-0.04622	-2.20084E-08	1.023847	1.5165762	713.84937	292.91583	-3818.39
0.987317	1.612436	0.000116	0.120948	0.122502	0.07500947	7.335639619	9.96649322	6.102621564	6.03460179	-0.01332	998.4	73.20593	-0.04585	-0.04482	-2.10414E-08	1.023103	1.5107111	674.43114	281.27183	-4115.7
0.987317	1.612436	0.000114	0.118068	0.119585	0.07322353	7.141112686	9.22003861	5.645557087	5.92761198	-0.01332	998.4	75.86019	-0.04587	-0.04483	-2.10414E-08	1.023108	1.5105987	733.9916	281.27183	-3935.39
0.987317	1.612436	0.000125	0.129587	0.131252	0.08036729	10.15602971	12.2471522	7.499100585	7.58581634	-0.01332	998.4	80.46163	-0.04573	-0.0447	-2.10414E-08	1.023037	1.5119846	583.64706	281.27183	-4568.73
0.987317	1.612436	0.000125	0.129587	0.131252	0.08036729	9.901593886	11.6411909	7.128062073	7.44587664	-0.01332	998.4	83.07132	-0.04574	-0.04471	-2.10414E-08	1.023042	1.5118914	638.61411	281.27183	-4513.76
0.978175	1.511546	0.000164	0.102449	0.104734	0.0677773	7.019530231	8.88613388	5.75053152	5.86074163	-0.02443	998.4	65.08783	-0.07475	-0.07203	-3.4467E-08	1.037841	1.5154251	833.16021	531.16096	-5724.71
0.978175	1.511546	0.000166	0.104185	0.10651	0.06892607	6.783927984	8.44031104	5.462023791	5.73116039	-0.02443	998.4	68.12518	-0.07478	-0.07205	-3.4467E-08	1.037853	1.5152933	935.28552	531.16096	-5742.74
0.982103	1.689814	0.000166	0.126055	0.128352	0.07459703	8.201755629	11.2496732	6.538196108	6.5109656	-0.02443	998.4	70.96572	-0.0681	-0.06584	-3.09646E-08	1.034439	1.508822	808.62337	467.49669	-5947.36
0.982103	1.689814	0.000172	0.130257	0.132631	0.0770836	7.922093691	10.8454267	6.303252138	6.35715153	-0.02493	998.4	74.24516	-0.06813	-0.06586	-3.09646E-08	1.034449	1.508694	897.81318	467.49669	-6098.95
0.978175	1.413667	0.000191	0.119114	0.121772	0.08425893	10.36605775	11.1384325	7.7071451	7.70133176	-0.02493	998.4	80.03376	-0.0697	-0.06732	-3.26138E-08	1.035253	1.520996	806.91636	486.68992	-6996.96
0.978175	1.413667	0.000196	0.121703	0.124419	0.08609064	10.11242381	10.8304719	7.494054347	7.56183309	-0.02493	998.4	82.55949	-0.06971	-0.06734	-3.26138E-08	1.03526	1.520912	878.76788	486.68992	-7105.34
0.978175	1.413667	0.000204	0.126882	0.129713	0.08975407	9.843755764	10.6993338	7.403314435	7.41406567	-0.02493	998.4	85.40681	-0.06972	-0.06735	-3.26138E-08	1.035268	1.5208195	962.8538	486.68992	-7381.71
0.963821	1.488831	0.000319	0.126891	0.131654	0.08522858	6.443351864	8.63412806	5.589454369	5.54384353	-0.02493	998.4	74.38824	-0.12432	-0.1169	-5.68166E-08	1.063449	1.5218732	1832.9345	1097.9869	-10804.2
0.963821	1.488831	0.000319	0.126891	0.131654	0.08522858	6.252947329	8.13138136	5.263992469	5.43912103	-0.02493	998.4	77.47471	-0.12436	-0.11693	-5.68166E-08	1.063466	1.5217724	2026.4748	1097.9869	-10610.7
0.963821	1.488831	0.000326	0.129649	0.134516	0.08708137	6.054390217	7.78889111	5.042275395	5.32991462	-0.02493	998.4	80.95561	-0.12439	-0.11697	-5.68166E-08	1.063486	1.5216631	2252.3693	1097.9869	-10683.4
0.963821	1.488831	0.000326	0.129649	0.134516	0.08708137	5.846850012	7.26404827	4.702509168	5.21576751	-0.03312	998.4	84.91809	-0.12443	-0.117	-5.68166E-08	1.063507	1.521544	2522.0102	1097.9869	-10413.7
0.963821	1.488831	0.000347	0.137925	0.143102	0.09263976	5.624663536	7.15154801	4.629680146	5.09356494	-0.03312	998.4	89.5769	-0.12448	-0.11704	-5.68166E-08	1.063531	1.5214105	2852.1622	1097.9869	-10979.3
0.966511	1.544457	0.000312	0.133505	0.138131	0.08643529	7.97928557	10.1025661	6.321653741	6.38860706	-0.03312	998.4	77.61186	-0.11874	-0.11196	-5.41675E-08	1.060545	1.5197972	1564.3345	1026.9335	-10858.7
0.966511	1.544457	0.000326	0.139439	0.14427	0.09027686	7.76509995	9.99270645	6.252909345	6.27080497	-0.03312	998.4	80.42254	-0.11877	-0.11199	-5.41675E-08	1.060559	1.5197107	1717.5274	1026.9335	-11303.3
0.966511	1.544457	0.000305	0.130539	0.135062	0.08451451	7.547265123	8.83737045	5.529960931	6.15099582	-0.03392	998.4	83.48486	-0.1188	-0.11201	-5.41675E-08	1.060574	1.5196193	1889.5685	1026.9335	-10234.6
0.966511	1.544457	0.000326	0.139439	0.14427	0.09027686	7.322953259	8.88713042	5.561098098	6.02762429	-0.03392	998.4	86.87613	-0.11883	-0.11204	-5.41675E-08	1.060591	1.5195214	2083.2493	1026.9335	-10937.6
0.966511	1.544457	0.000326	0.139439	0.14427	0.09027686	7.083792368	8.31611862	5.203788993	5.8960858	-0.03392	998.4	90.7886	-0.11886	-0.11207	-5.41675E-08	1.060609	1.5194126	2314.8026	1026.9335	-10706.1
0.966511	1.544457	0.000367	0.15724	0.162688	0.10180156	9.46260581	11.7752766	7.36834782	7.20443322	-0.03392	998.4	88.56374	-0.11857	-0.11181	-5.41675E-08	1.060458	1.5203187	1735.7057	1026.9335	-13078.5
0.966511	1.544457	0.000361	0.154273	0.159618	0.09988078	9.169054994	10.8474147	6.787740743	7.04298025	-0.04001	998.4	92.18822	-0.1186	-0.11184	-5.41675E-08	1.060474	1.5202251	1933.6681	1026.9335	-12581.6
0.966511	1.544457	0.000347	0.148339	0.153479	0.09603921	8.874598375	9.77104841	6.114207418	6.88102911	-0.04001	998.4	96.11896	-0.11863	-0.11187	-5.41675E-08	1.06049	1.5201267	2153.4554	1026.9335	-11764.1
0.966511	1.544457	0.000374	0.160206	0.165758	0.10372235	8.563950329	9.82688297	6.149145746	6.71017268	-0.04001	998.4	100.6262	-0.11867	-0.1119	-5.41675E-08	1.060508	1.5200179	2422.9634	1026.9335	-12690.1
0.966511	1.544457	0.000374	0.160206	0.165758	0.10372235	8.228951231	9.07311638	5.677478316	6.52592318	0.959994	998.4	105.958	-0.11871	-0.11193	-5.41675E-08	1.060529	1.5198941	2766.7138	1026.9335	-12346.4

h	hL_Stf	hL_mod	Re^{0.5}.Pr^{0.333}	Nu_Stf	Nu_Mod	Nu_R-M
102.2244	101.0291	67.462663	6.841488868	9.284583858	6.19982487	5.762819
104.1778	102.96055	68.734638	7.415763806	9.296882275	6.20643366	6.07867
126.2035	124.66344	84.217817	9.893122494	11.35480962	7.67087215	7.441217
98.95592	96.651671	65.244694	6.511091492	8.157838376	5.50694744	5.5811
100.4841	98.143653	66.257175	6.346753784	7.870886583	5.31366723	5.490715
111.2351	108.72335	73.630983	7.648397003	9.21789221	6.24265561	6.206618
106.3619	103.95962	70.41046	7.44557635	8.352745387	5.65720291	6.095067
123.4791	120.69855	81.666916	10.58903534	11.7365468	7.94116928	7.823969
121.9935	119.24585	80.689339	10.32375157	11.02158009	7.4579033	7.678063
95.41186	91.93298	62.960458	7.311707709	8.504951795	5.82463073	6.021439
95.71232	92.221423	63.164221	7.066298871	7.96853895	5.45780513	5.886464
108.1337	104.53372	71.667659	8.545093812	9.868923314	6.76607131	6.699802
110.89	107.1971	73.500641	8.253724792	9.441971757	6.47397146	6.539549
124.9457	120.69095	82.147268	10.79859263	11.97235648	8.14888251	7.939226
126.881	122.55955	83.424282	10.53437553	11.57005373	7.87554628	7.793907
131.8162	127.32577	86.674472	10.25449703	11.389788	7.75337069	7.639973
109.1333	102.62212	71.70988	6.705606823	7.846981659	5.48328309	5.688084
107.1784	100.78211	70.429974	6.507452511	7.257565568	5.07183418	5.579099
107.9127	101.47074	70.917593	6.300813801	6.850457901	4.78776453	5.465448
105.189	98.907716	69.133092	6.08482637	6.227475937	4.35279152	5.346655
110.9023	104.27753	72.894422	5.85359654	6.0760565	4.24742158	5.219478
114.3026	107.77726	75.209127	8.304662223	9.120179962	6.3642438	6.567564
118.9825	112.18842	78.292842	8.081742613	8.990635384	6.27428729	6.444958
107.7329	101.57976	70.894664	7.85502499	7.690147054	5.36711626	6.320264
115.1328	108.55531	75.769094	7.621566211	7.736986765	5.40023753	6.191861
112.6954	106.25534	74.170347	7.372652896	7.086481358	4.94663883	6.054959
137.6683	129.81967	90.552284	9.848468845	10.87158411	7.58318633	7.416658
132.4383	124.886	87.117571	9.542947668	9.819598206	6.84992364	7.248621
123.8324	116.769	81.461865	9.236483795	8.601135488	6.00043288	7.080066
133.5802	125.95872	87.880707	8.913168247	8.639872437	6.02799163	6.902243
129.9618	122.54437	85.507156	8.564508667	7.760918889	5.41529669	6.71048



Laju penguapan..., Tulus Nugroho, FT UI, 2009



Laju penguapan..., Tulus Nugroho, FT UI, 2009